



PROGETTO PER LA REALIZZAZIONE DI UN IMPIANTO PER LA PRODUZIONE DI ENERGIA MEDIANTE LO SFRUTTAMENTO DEL VENTO NEL TERRITORIO COMUNALE DI SAN GIULIANO DI PUGLIA (CB) E SANTA CROCE DI MAGLIANO (CB)

PROGETTO DEFINITIVO

prima emissione: luglio 2021

| REV. | DATA | DESCRIZIONE: |
|------|----------|--------------|
| 1 | mag 2022 | |

PROGETTAZIONE



via Volga c/o Fiera del Levante Pad.129 - BARI (BA)
ing. Sebanino GIOTTA - ing. Fabio PACCAPELO
ing. Francesca SACCAROLA - geom. Raffaella TISTI



ARCHITETTURA E PAESAGGIO

VIRUSDESIGN®
arch. Vincenzo RUSSO
via Puglie n.8 - Cerignola (FG)



IMPIANTI ELETTRICI

ing. Roberto DI MONTE



GEOLOGIA

geol. Pietro PEPE

ACUSTICA

ing. Francesco PAPEO

ARCHEOLOGIA

dr.ssa archeol. Domenica CARRASSO

DOMENICA CARRASSO
Via G. Marconi, 19
70017 PUTIGNANO (BA)
C. F. CRR DNC 89144 A148J
P. IVA 08138180724



STUDIO PEDO-AGRONOMICO

dr.ssa Lucia PESOLA - dr. Rocco LABADESSA



ASPETTI FAUNISTICI

dott. nat. Fabio MASTROPASQUA



SIA.ES. STUDI SPECIALISTICI

ES.2.1 VALUTAZIONE PREVISIONALE DI IMPATTO ACUSTICO



RELAZIONE PREVISIONALE DI IMPATTO ACUSTICO

INDICE

| | | |
|-----------|---|-----------|
| 1 | INTRODUZIONE..... | 3 |
| 2 | NORME E LEGGI DI RIFERIMENTO..... | 5 |
| 3 | INQUADRAMENTO TERRITORIALE | 6 |
| 4 | IL DECRETO LEGISLATIVO 4 SETTEMBRE 2002, N.262..... | 15 |
| 5 | DESCRIZIONE DEL PROGETTO..... | 16 |
| 6 | CARATTERIZZAZIONE DELLE SORGENTI..... | 17 |
| 6.1 | AEROGENERATORI..... | 17 |
| 6.2 | FONDAZIONI | 18 |
| 6.3 | PIAZZOLE DI MONTAGGIO | 20 |
| 6.4 | TRINCEE E CAVIDOTTI..... | 20 |
| 6.5 | SOTTOSTAZIONE ELETTRICA DI ELEVAZIONE MT/AT 30/150 kV E CONSEGNA IN AT | 21 |
| 6.6 | TRASPORTI ECCEZIONALI | 22 |
| 6.7 | STRADE E PISTE DI CANTIERE | 23 |
| 6.8 | REGIMAZIONE IDRAULICA..... | 23 |
| 6.9 | RIPRISTINI..... | 24 |
| 6.10 | SINTESI DEI PRINCIPALI DATI DI PROGETTO | 24 |
| 7 | INDIVIDUAZIONE DEI RICETTORI..... | 26 |
| 8 | MISURA DEL CLIMA ACUSTICO ANTE OPERAM | 28 |
| 9 | DATA, LUOGO, ORA DEL RILEVAMENTO E CONDIZIONI METEO..... | 30 |
| 10 | STRUMENTAZIONE UTILIZZATA PER LA FONOMETRIA | 31 |
| 11 | TABELLE DELLE MISURE EFFETTUATE DEL CLIMA ACUSTICO | 32 |
| 11.1 | MISURE DIURNE | 32 |
| 11.2 | MISURE NOTTURNE | 39 |
| 12 | STIMA DELL'IMPATTO ACUSTICO IN FASE DI ESERCIZIO..... | 46 |
| 12.1 | PROPAGAZIONE IN CAMPO LIBERO | 46 |
| 12.2 | FASE DI ESERCIZIO | 46 |
| 13 | RISPETTO DEI LIMITI ASSOLUTI DI IMMISSIONE E DEL CRITERIO DIFFERENZIALE..... | 67 |
| 14 | STIMA DELL'IMPATTO ACUSTICO IN FASE DI CANTIERE..... | 77 |
| 15 | IMPATTO ACUSTICO TRAFFICO INDOTTO..... | 81 |
| 16 | IMPATTI CUMULATIVI CON ALTRI IMPIANTI EOLICI..... | 82 |

RELAZIONE PREVISIONALE DI IMPATTO ACUSTICO

| | | |
|-----------|--|-----------|
| 17 | CONCLUSIONI..... | 87 |
| 18 | ALLEGATI | 88 |
| 18.1 | ALLEGATO I: CERTIFICATO TECNICO COMPETENTE IN ACUSTICA | 89 |
| 18.2 | ALLEGATO II: CERTIFICATI DI TARATURA CALIBRATORE | 90 |
| 18.3 | ALLEGATO II: CERTIFICATI DI TARATURA ANALIZZATORE E FILTRI 1/3 DI OTTAVA..... | 94 |

RELAZIONE PREVISIONALE DI IMPATTO ACUSTICO

1 INTRODUZIONE

La presente relazione tecnica si riferisce ad una relazione previsionale di impatto della rumorosità in ambiente esterno associata alla realizzazione di parco eolico di 11 aerogeneratori situati nei comuni di San Giuliano di Puglia (CB).

Lo studio ha lo scopo di valutare, con opportune stime di calcolo, l'impatto acustico che si prevede a seguito dell'entrata in funzione del parco eolico, con particolare riferimento agli eventuali ricettori sensibili presenti in prossimità dello stesso.

Dati relativi alle fonti acustiche di "disturbo" sono riportati alla voce "Caratterizzazione delle sorgenti". Per il raggiungimento dell'obiettivo prefissato, lo studio è stato svolto come di seguito riportato:

- Sopralluogo nelle zone limitrofe al parco eolico;
- Analisi delle zone limitrofe e prospicienti il parco eolico, con particolare riguardo agli immobili individuati come i ricettori più prossimi all'impianto;
- Rilievo fonometrico del clima acustico all'esterno;
- Stima delle emissioni e conseguente confronto con i limiti normativi.

Nelle analisi di tipo previsionale i parametri che vengono stimati sono riferibili al Livello di Pressione sonora L_P e conseguentemente al Livello di pressione sonora mediato sul periodo di riferimento L_A . Le stime vengono effettuate sulla base di algoritmi normalizzati:

- Le leggi dell'acustica di base di propagazione e diffusione sonora in campo libero, ed in campo riverberante;
- L'algoritmo di assorbimento previsto dalla norma ISO 9613-2;
- UNI/TS 11143-7 "Metodo per la stima dell'impatto e del clima acustico per tipologia di sorgenti - Parte 7: Rumore degli aerogeneratori";
- Trasmissione del suono per via aerea attraverso divisori - fonoisolamento.

Pertanto, trattandosi di calcoli previsionali, i valori possono essere soggetti ad errori dovuti all'incertezza del modello. Dunque, i livelli di rumore ambientale L_A calcolati, rappresentano delle stime di massima che, pur avendo valenza scientifica, devono essere utilizzati con la dovuta cautela.

La valutazione previsionale di impatto, come tutti gli adempimenti riguardanti l'inquinamento acustico, deve essere elaborata da un Tecnico competente in acustica ambientale iscritto nei previsti

RELAZIONE PREVISIONALE DI IMPATTO ACUSTICO

elenchi provinciali. Il relatore del presente documento, Ing. Francesco Pellegrino Papeo, è in possesso dei requisiti di cui all'art. 2 commi 6 e 7 della legge 447/95 e dall'art. 20 all'art.25 del D.lgs. 42/2017, per lo svolgimento dell'attività di "Tecnico Competente in acustica ambientale" ed iscritto al n. 105 dell'elenco della Provincia di Barletta-Andria-Trani, si avvale del riconoscimento di cui alla Determinazione Dirigenziale n. 3611 del 29.10.2012 della Provincia di Barletta-Andria-Trani e successivamente iscritto all'Elenco Nazionale dei Tecnici Competenti in Acustica al n° 6680 del 10/12/2018.

2 NORME E LEGGI DI RIFERIMENTO

L'espresso riferimento alla documentazione di impatto acustico è oggetto della Legge quadro n. 447/95 all'art. 8 (modificato dall'art. 12 del d.lgs. n. 42 del 2017 – Disposizioni in materia d'impatto acustico):

c. 4 – Le domande per il rilascio di concessioni edilizie relative a nuovi impianti ed infrastrutture adibiti ad attività produttive, sportive e ricreative e a postazioni di servizi commerciali polifunzionali, dei provvedimenti comunali che abilitano all'utilizzazione dei medesimi immobili ed infrastrutture, nonché le domande di licenza o di autorizzazione all'esercizio di attività produttive devono contenere una documentazione di previsione di impatto acustico.

c. 6 – La domanda di licenza o di autorizzazione all'esercizio delle attività di cui al comma 4 del presente articolo, che si prevede possano produrre valori di emissione superiori a quelli determinati ai sensi dell'articolo 3, comma 1, lettera a), deve contenere l'indicazione delle misure previste per ridurre o eliminare le emissioni sonore causate dall'attività o dagli impianti. La relativa documentazione deve essere inviata all'ufficio competente per l'ambiente del comune ai fini del rilascio del relativo nulla-osta.

3 INQUADRAMENTO TERRITORIALE

Il progetto per la realizzazione del Parco Eolico prevede la realizzazione di 11 aerogeneratori posizionati in un'area agricola nei territori comunali di San Giuliano di Puglia (CB). Rispetto all'area di impianto gli abitati più vicini sono:

- Comune di San Giuliano di Puglia (CB) 2,3 km a ovest;
- Comune di Colletorto (CB) 4 km a sud-ovest;
- Comune di Santa Croce di Magliano (CB) 2 km a nord ovest;
- Comune di Rotello (CB) 5,5 km a nord;
- Comune di Torremaggiore (FG) 19 km a est.
- Comune di Casalnuovo Monterotaro (FG) 9 km a sud est

Come da STMG e da progetto di connessione validato da TERNA S.p.a., è previsto che la connessione alla Rete di Trasmissione Nazionale avvenga in corrispondenza del nodo rappresentato dalla SE TERNA di Rotello (CB).



Figura 1 – Stazione Terna - Rotello

Una Sottostazione Elettrica Utente (SSE) di trasformazione e consegna sarà realizzata nel comune di Santa Croce di Magliano (CB). I cavidotti in media tensione dei sotto-campi confluiranno in una cabina di elevazione 30/150 kV. I cavidotti di connessione tra i singoli sotto-campi del parco eolico e la SSE Utente saranno interrati, si è scelto la stessa soluzione per quanto concerne la connessione in AT tra la SSE 30/150 e la Stazione Terna.

RELAZIONE PREVISIONALE DI IMPATTO ACUSTICO

L'area di intervento propriamente detta si colloca all'interno del confine comunale di San Giuliano di Puglia. L'area è caratterizzata dalla presenza di viabilità di livello comunale. In un intorno leggermente più ampio si rilevano le seguenti viabilità: S.P. n. 166 a nord, S.P. n. 5 e S.P. n. 11 a sud, S.P. 73bis a sud ovest.

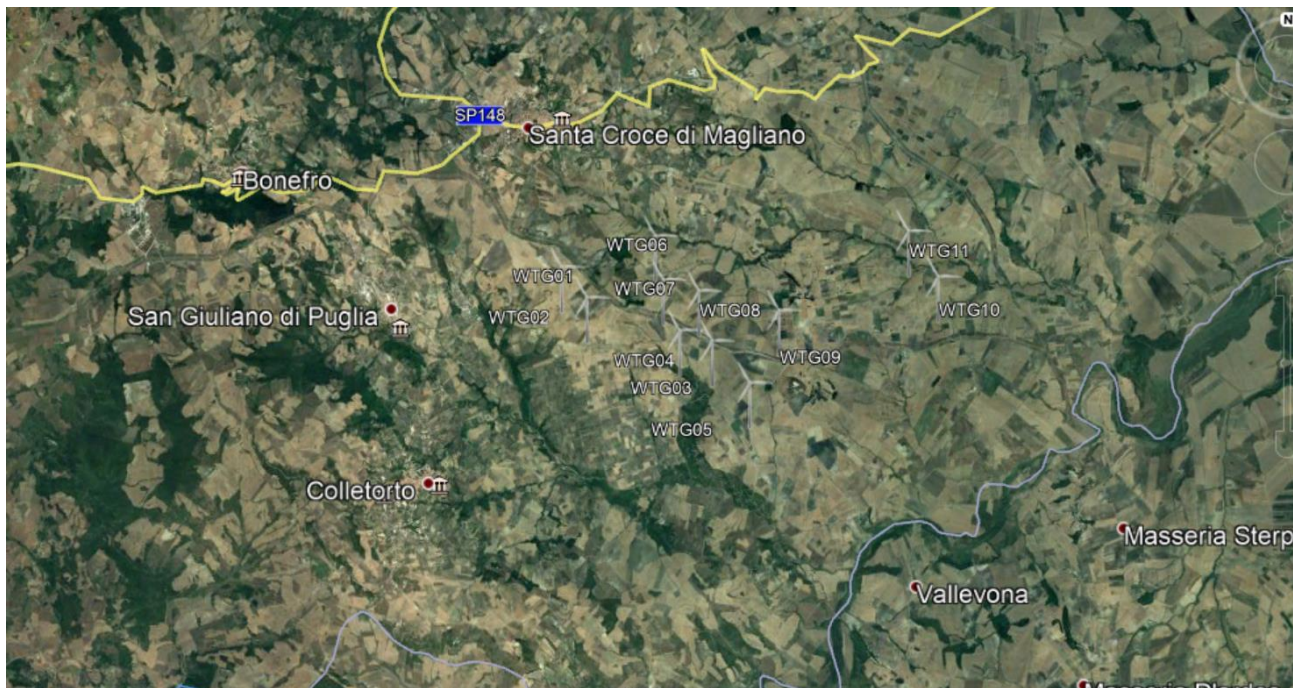


Figura 2 - Ortofoto con indicazione delle aree di intervento (fonte Google Earth)

Tutti gli aerogeneratori e le opere elettriche ricadono in aree agricole.

In presenza di zonizzazione acustica, i limiti massimi assoluti di immissione, cui fare riferimento nella valutazione d'impatto, sono contenuti nel D.P.C.M. del 14/11/1997 - Determinazione dei valori limite delle sorgenti sonore.

Nei Comuni di San Giuliano di Puglia e Santa Croce di Magliano che non hanno eseguito la classificazione acustica del territorio nelle 6 Classi previste, valgono le indicazioni dell'art. 6 del D.P.C.M. del 1° marzo 1991, pertanto non vengono considerati i limiti massimi assoluti di immissione contenuti nel D.P.C.M. del 14/11/1997, così come previsto dalla legge quadro di inquinamento acustico L. 447/95.

Per completezza di trattazione si riporta l'art. 1 del D.P.C.M. del 14/11/97 che definisce le classi di destinazione d'uso del territorio riportate nella tabella A allegata allo stesso decreto come segue:

RELAZIONE PREVISIONALE DI IMPATTO ACUSTICO

Tabella 1 - Classi di zonizzazione Acustica art. 1 D.P.C.M. 14/11/1997

| CLASSI | DESCRIZIONE |
|---------------|---|
| CLASSE I | aree particolarmente protette: rientrano in questa classe le aree nelle quali la quiete rappresenta un elemento di base per la loro utilizzazione: aree ospedaliere, scolastiche, aree destinate al riposo ed allo svago, aree residenziali rurali, aree di particolare interesse urbanistico, parchi pubblici, ecc. |
| CLASSE II | aree destinate ad uso prevalentemente residenziale: rientrano in questa classe le aree urbane interessate prevalentemente da traffico veicolare locale, con bassa densità di popolazione, con limitata presenza di attività commerciali ed assenza di attività industriali e artigianali |
| CLASSE III | aree di tipo misto: rientrano in questa classe le aree urbane interessate da traffico veicolare locale o di attraversamento, con media densità di popolazione, con presenza di attività commerciali, uffici con limitata presenza di attività artigianali e con assenza di attività industriali; aree rurali interessate da attività che impiegano macchine operatrici |
| CLASSE IV | aree di intensa attività umana: rientrano in questa classe le aree urbane interessate da intenso traffico veicolare, con alta densità di popolazione, con elevata presenza di attività commerciali e uffici, con presenza di attività artigianali; le aree in prossimità di strade di grande comunicazione e di linee ferroviarie; le aree portuali, le aree con limitata presenza di piccole industrie |
| CLASSE V | aree prevalentemente industriali: rientrano in questa classe le aree interessate da insediamenti industriali e con scarsità di abitazioni |
| CLASSE VI | aree esclusivamente industriali: rientrano in questa classe le aree esclusivamente interessate da attività industriali e prive di insediamenti abitativi |

RELAZIONE PREVISIONALE DI IMPATTO ACUSTICO

Analogamente se ne riportano i valori limite di emissione (Cfr. art. 2 del D.P.C.M. del 14/11/97 – Tabella 2) e di immissione (Cfr. art. 3 del D.P.C.M. del 14/11/97 – Tabella 3):

Tabella 2 - Valori limiti di emissione Leq in dB(A) - (art. 2 d.p.c.m. del 14/11/1997).

| ZONIZZAZIONE | Limite Diurno (06,00-22,00) $Leq(A)$ | Limite Notturno (22,00-06,00) $Leq(A)$ |
|--------------------------------------|--|--|
| I aree particolarmente protette | 45 | 35 |
| II aree prevalentemente residenziali | 50 | 40 |
| III aree di tipo misto | 55 | 45 |
| IV aree di intensa attività umana | 60 | 50 |
| V aree prevalentemente industriali | 65 | 55 |
| VI aree esclusivamente industriali | 65 | 65 |

Tabella 3 - Valori limiti assoluti di immissione Leq in dB(A) - (art. 3 d.p.c.m. del 14/11/1997).

| ZONIZZAZIONE | Limite Diurno (06,00-22,00) $Leq(A)$ | Limite Notturno (22,00-06,00) $Leq(A)$ |
|--------------------------------------|--|--|
| I aree particolarmente protette | 50 | 40 |
| II aree prevalentemente residenziali | 55 | 45 |
| III aree di tipo misto | 60 | 50 |
| IV aree di intensa attività umana | 65 | 55 |
| V aree prevalentemente industriali | 70 | 60 |
| VI aree esclusivamente industriali | 70 | 70 |

Pertanto, per i ricettori individuati (Cfr. par. 7– Individuazione dei ricettori), ricadenti nei territori non zonizzati, valgono i limiti seguenti:

Tabella 4– Valori limiti di accettabilità di immissione Leq in dB(A) - (art. 6 D.P.C.M. del 01/03/1991)

| ZONIZZAZIONE | Limite Diurno (06,00-22,00) $Leq(A)$ | Limite Notturno (22,00-06,00) |
|--------------------------------------|--|----------------------------------|
| Tutto il territorio nazionale | 70 | 60 |
| Zona A (*) | 65 | 55 |
| Zona B (*) | 60 | 50 |
| Zona esclusivamente industriale | 70 | 70 |

RELAZIONE PREVISIONALE DI IMPATTO ACUSTICO

(*) Zone di cui all'art. 2 del decreto ministeriale 2 aprile 1968, n. 1444

Il decreto ministeriale del 2 aprile 1968, n. 1444 dall'art. 2 "Zone territoriali omogenee", definisce tra le altre, le zone "A" e "B" come segue:

- A) Le parti del territorio interessate da agglomerati urbani che rivestono carattere storico, artistico o di particolare pregio ambientale o da porzioni di essi, comprese le aree circostanti, che possono considerarsi parte integrante, per tali caratteristiche, degli agglomerati stessi;
- B) Le parti del territorio totalmente o parzialmente edificate, diverse dalle zone A): si considerano parzialmente edificate le zone in cui la superficie coperta degli edifici esistenti non sia inferiore al 12,5% (un ottavo) della superficie fondiaria della zona e nelle quali la densità territoriale sia superiore a 1,5 mc/mq.

Si evince che le zone di appartenenza dell'attività in esame, è riferibile a "Tutto il territorio nazionale", ai sensi dell'art. 6 D.P.C.M. del 1° marzo 1991, poiché i ricettori ricadono tutti al di fuori della zonizzazione vigente.

Tabella 5– Limiti assoluti di immissione zona interessata – art. 6 D.P.C.M. del 1° marzo 1991.

| ZONIZZAZIONE | Limite Diurno (06,00-22,00) Leq(A) | Limite (22,00-06,00) Leq(A) |
|-------------------------------|--|-----------------------------------|
| Tutto il territorio nazionale | 70 | 60 |

Per quanto concerne i valori limite differenziali di immissione, come definiti dalla più volte citata L. n. 447/1995, sono di 5 dB per il periodo diurno e di 3 dB per quello notturno. Il *rumore ambientale*, pertanto, non deve superare di oltre 5 dB il livello sonoro del *rumore residuo* in periodo diurno e di 3 dB in periodo notturno, **all'interno degli ambienti abitativi**. Tali limiti non si applicano nelle aree esclusivamente industriali e nei seguenti casi:

- se il rumore misurato a finestre aperte risulta inferiore a 50 dB(A) durante il periodo diurno e 40 dB(A) durante il periodo notturno;
- se il rumore misurato a finestre chiuse risulta inferiore a 35 dB(A) durante il periodo diurno e 25 dB(A) durante il periodo notturno.

I limiti differenziali si applicano sia in caso di zonizzazione acustica comunale che in sua assenza (Circolare del Ministero dell'Ambiente del 6 settembre 2004).

Le metodologie di misura sono sempre quelle descritte dal D.M. 16 marzo 1998.

RELAZIONE PREVISIONALE DI IMPATTO ACUSTICO

Il livello di rumore ambientale misurato può subire correzioni in alcuni casi definiti dal D.M. del 16 marzo 1998 e di seguito riportati.

Presenza di rumore impulsivo

Il rumore è considerato avere componenti impulsive quando sono verificate le seguenti condizioni:

- l'evento risulta ripetitivo;
- la differenza tra LAImax ed LASmax è superiore a 6 dB;
- la durata dell'evento a -10 dB dal valore LAFmax è inferiore ad 1 s.
- l'evento sonoro impulsivo si considera ripetitivo quando si verifica almeno 10 volte nell'arco di un'ora nel periodo diurno ed almeno 2 volte nell'arco di un'ora nel periodo notturno.

In queste condizioni si ha una penalizzazione di 3 dB su ogni lettura registrata ($KI = 3$ dB).

Presenza di componenti tonali

Al fine di individuare la presenza di componenti tonali nel rumore è necessario effettuare un'analisi spettrale in bande di 1/3 di ottava. L'analisi deve essere condotta nell'intervallo di frequenza compreso tra 20 Hz e 20 kHz (con pesatura lineare).

Si è in presenza di una componente tonale se il livello minimo di una banda supera i livelli minimi delle bande adiacenti di almeno 5 dB. Si applica il fattore correttivo KT come definito al punto 15 dell'allegato A solo se la componente tonale individuata tocca un'isofonica uguale o superiore a quella più elevata raggiunta dalle altre componenti dello spettro.

Presenza di componenti spettrali in bassa frequenza

Se l'analisi in frequenza svolta con le modalità indicate al punto precedente rivela la presenza di componenti tonali tali da consentire l'applicazione del fattore correttivo KT nell'intervallo di frequenza compreso tra 20 Hz e 200 Hz, si applica anche la correzione KB così come definita al punto 15 dell'allegato A, esclusivamente nel tempo di riferimento notturno.

Eventuali attività di misura del rumore, eseguite nelle valutazioni previsionali d'impatto acustico, devono rispettare quanto previsto dal D.M. del 16/03/1998 Tecniche di rilevamento e di misurazione dell'inquinamento acustico, in particolare per quelle misure effettuate presso i ricettori.

Secondo quanto indicato dalla Legge Quadro in materia di inquinamento acustico n. 447/95 (e s.m.i.), ai fini della presente relazione si riportano alcune importanti definizioni:

rumore: qualunque emissione sonora che provochi sull'uomo effetti indesiderati, disturbanti o dannosi o che determini un qualsiasi deterioramento qualitativo dell'ambiente;

RELAZIONE PREVISIONALE DI IMPATTO ACUSTICO

inquinamento acustico: l'introduzione di rumore nell'ambiente abitativo o nell'ambiente esterno tale da provocare fastidio o disturbo al riposo e alle attività umane, pericolo per la salute umana, deterioramento degli ecosistemi, dei beni materiali, dei monumenti, dell'ambiente abitativo o dell'ambiente esterno o tale da interferire con le legittime fruizioni degli ambienti stessi;

ambiente abitativo: ogni ambiente interno a un edificio destinato alla permanenza di persone o di comunità ed utilizzato per le diverse attività umane, fatta eccezione per gli ambienti destinati ad attività produttive per i quali resta ferma la disciplina di cui al Decreto Legislativo 15 agosto 1991, n. 277, salvo per quanto concerne l'immissione di rumore da sorgenti sonore esterne ai locali in cui si svolgono le attività produttive;

sorgenti sonore fisse: gli impianti tecnici degli edifici e le altre installazioni unite agli immobili anche in via transitoria il cui uso produca emissioni sonore; le infrastrutture stradali, ferroviarie, aeroportuali, marittime, industriali, artigianali, commerciali e agricole; i parcheggi; le aree adibite a stabilimenti di movimentazione merci; i depositi dei mezzi di trasporto di persone e merci; le aree adibite a attività sportive e ricreative;

sorgenti sonore mobili: tutte le sorgenti sonore non comprese nel punto precedente; valore di emissione: il valore di rumore emesso da una sorgente sonora;

valore di immissione: il valore di rumore immesso da una o più sorgenti sonore nell'ambiente abitativo o nell'ambiente esterno;

valore limite di emissione: il valore massimo di rumore che può essere emesso da una sorgente sonora. Il livello di emissione deve essere confrontato con i valori limite di emissione riferiti tuttavia all'intero periodo di riferimento. Secondo quanto indicato dal D.P.C.M. 01 marzo 1991 i valori limite devono essere rispettati in corrispondenza dei luoghi o spazi utilizzati da persone o comunità;

valore limite di immissione: il valore massimo di rumore che può essere immesso da una o più sorgenti sonore nell'ambiente abitativo nell'ambiente esterno, misurato in prossimità dei ricettori. Questi sono suddivisi in valori limite assoluti (quando determinati con riferimento al livello equivalente di rumore ambientale) ed in valori limite differenziali (quando determinati con riferimento alla differenza tra il livello equivalente di rumore ambientale e il rumore residuo). Il livello di immissione assoluto deve essere confrontato con i valori limite di immissione riferiti tuttavia all'intero periodo di riferimento. Il livello di immissione differenziale deve essere confrontato con i valori limite di immissione differenziale riferiti tuttavia periodo di misura in cui si verifica il fenomeno da rispettare;

RELAZIONE PREVISIONALE DI IMPATTO ACUSTICO

tempo di riferimento (TR): rappresenta il periodo della giornata all'interno del quale si eseguono le misure. La durata della giornata è articolata in due tempi di riferimento: quello diurno compreso tra le h 06:00 e le h 22:00 e quello notturno compreso tra le h 22:00 e le h 06:00;

tempo di osservazione (TO): è un periodo di tempo compreso in TR nel quale si verificano le condizioni di rumorosità che si intendono valutare;

tempo di misura (TM): all'interno di ciascun tempo di osservazione, si individuano uno o più tempi di misura (TM) di durata pari o minore del tempo di osservazione, in funzione delle caratteristiche di variabilità del rumore ed in modo tale che la misura sia rappresentativa del fenomeno;

Livello continuo equivalente di pressione sonora ponderato "A": è il valore del livello di pressione sonora ponderato "A" di un suono costante che, nel corso di un tempo specificato T, ha la medesima pressione quadratica media del suono considerato, il cui livello varia in funzione del tempo

$$L_{Aeq,T} = 10 \log_{10} \left[\frac{1}{T} \int_0^T \frac{p_A^2(t)}{p_0^2} \right] dB(A)$$

Dove:

- L_{Aeq} è il livello continuo equivalente di pressione sonora ponderato "A" considerato in un intervallo che inizia all'istante t_1 e termina all'istante t_2 ;
- $p_A(t)$ è il valore istantaneo della pressione sonora ponderata "A" del segnale acustico in Pascal;
- p_0 è il valore della pressione sonora di riferimento.

Livello di rumore ambientale (LA): è il livello continuo equivalente di pressione sonora ponderato "A" prodotto da tutte le sorgenti di rumore esistenti in un dato luogo e durante un determinato tempo. Il rumore ambientale è costituito dall'insieme del rumore residuo e da quello prodotto dalle specifiche sorgenti disturbanti, con l'esclusione degli eventi sonori singolarmente identificabili di natura eccezionale rispetto al valore ambientale della zona. È il livello che si confronta con i limiti massimi d'esposizione:

- 1) nel caso dei limiti differenziali è riferito al Tempo di misura TM;
- 2) nel caso dei limiti assoluti è riferito a Tempo di riferimento TR.

Livello di rumore residuo (LR): è il livello continuo equivalente di pressione sonora ponderato "A" che si rileva quando si esclude la specifica sorgente disturbante. Deve essere misurato con le identiche regole impiegate per la misura del rumore ambientale e non deve contenere eventi sonori atipici.

RELAZIONE PREVISIONALE DI IMPATTO ACUSTICO

Livello di rumore residuo (LR): è il livello continuo equivalente di pressione sonora ponderato “A” che si rileva quando si esclude la specifica sorgente disturbante. Deve essere misurato con le identiche regole impiegate per la misura del rumore ambientale e non deve contenere eventi sonori atipici.

livello differenziale di rumore (LD): differenza tra livello di rumore ambientale (LA) e quello di rumore residuo (LR);

fattore correttivo (KI): (non si applicano alle infrastrutture dei trasporti) è la correzione in dB(A) introdotta per tener conto della presenza di rumori con componenti impulsive, tonali o di bassa frequenza il cui valore è di seguito indicato:

- per la presenza di componenti impulsive $KI = 3 \text{ dB}$
- per la presenza di componenti tonali $KT = 3 \text{ dB}$
- per la presenza di componenti in bassa frequenza $KB = 3 \text{ dB}$

livello di rumore corretto (Lc): è definito dalla relazione:

$$L_c = L_A + KI + KT + KB$$

La citata Legge Quadro definisce il periodo di riferimento diurno dalle ore 6.00 alle ore 22.00 ed il periodo di riferimento notturno dalle ore 22.00 alle ore 6.00.

Nelle analisi di tipo previsionale i parametri che vengono stimati sono riferibili al L_p di pressione sonora e conseguentemente al L_A mediato sul periodo di riferimento. Le stime vengono effettuate sulla base di algoritmi normalizzati:

- Le leggi dell’acustica di base di propagazione e diffusione sonora in campo libero, ed in campo riverberante;
- L’algoritmo di assorbimento previsto dalla norma ISO 9613-2;
- Trasmissione del suono per via aerea attraverso divisori – fonoisolamento.

4 IL DECRETO LEGISLATIVO 4 SETTEMBRE 2002, N.262

Il decreto legislativo n. 262 del 4 settembre 2002 “Attuazione della direttiva 2000/14/CE concernente l’emissione acustica ambientale delle macchine ed attrezzature destinate a funzionare all’aperto” recepisce una direttiva tecnica comunitaria per la certificazione di conformità agli standard qualitativi europei. In particolare, il decreto “...disciplina i valori di emissione acustica, le procedure di valutazione della conformità, la marcatura, la documentazione tecnica e le rilevazioni sui dati dell’emissione sonora relativi alle macchine ed alle attrezzature destinate a funzionare all’aperto...”.

Sono escluse le macchine destinate al trasporto merci o passeggeri su strada, su rotaia per via aerea o navigabile. In sostanza esso non si applica ai mezzi di trasporto in generale.

Gli allegati tecnici al decreto specificano – a seconda delle categorie di macchine e delle differenti funzioni operative – le norme tecniche ISO-UNI di riferimento per le misurazioni ed i limiti di emissione sonora, in particolare le UNI/TS 11143-7 “Metodo per la stima dell’impatto e del clima acustico per tipologia di sorgenti - Parte 7: Rumore degli aerogeneratori”.

5 DESCRIZIONE DEL PROGETTO

Come detto precedentemente, la presente relazione vuole stimare, alla luce dei dati di progetto, l'impatto acustico che si prevede a seguito dell'entrata in funzione del parco eolico, rilevato ai ricettori prossimi e potenzialmente più esposti.

Il parco eolico sorgerà in agro di San Giuliano di Puglia ed è costituito da 11 aerogeneratori della potenza di 6,0 MW ciascuno, per una potenza massima installata pari a 66,00 MW, da immettere sulla Rete di Trasmissione Nazionale.

Le coordinate geografiche nel sistema UTM (WGS84; Fuso 33) ove sono posizionati gli aerogeneratori sono le seguenti:

Tabella 6 - Posizionamento aerogeneratori di progetto

| WTG | WGS84 (fuso 33) | |
|-----|-----------------|------------|
| | EST | NORD |
| 1 | 502617,65 | 4615430,05 |
| 2 | 503323,32 | 4615646,61 |
| 3 | 501268,92 | 4614551,64 |
| 4 | 501758,82 | 4614408,49 |
| 5 | 502333,04 | 4613798,50 |
| 6 | 500869,36 | 4615950,18 |
| 7 | 501005,29 | 4615300,23 |
| 8 | 501540,87 | 4615148,59 |
| 9 | 502786,80 | 4614619,89 |
| 10 | 504777,72 | 4614985,14 |
| 11 | 505256,12 | 4615607,99 |

Lo studio intende valutare lo stato attuale della componente e, sulla base di informazioni tecniche relative alle future sorgenti sonore, effettuare una previsione quantitativa dei livelli sonori per la definitiva fase di esercizio.

Lo studio fornisce un confronto dei livelli previsionali con i limiti indicati dalla normativa vigente in termini di rispetto dei limiti di immissione ai ricettori.

6 CARATTERIZZAZIONE DELLE SORGENTI

La variazione del clima acustico dell'area interessata rispetto alle condizioni attuali sarà potenzialmente imputabile all'aerogeneratore di cui si compone l'impianto. L'aerogeneratore, con un funzionamento continuo nell'arco delle 24 h, sarà caratterizzato da una rumorosità dovuto all'azione aerodinamica dell'aria sulle pale, e altresì all'azione meccanica legata al funzionamento del generatore.

Viste le caratteristiche costruttive degli apparecchi e le condizioni di funzionamento degli stessi è evidente che l'effetto preponderante sul clima acustico, sarà quello aerodinamico.

L'energia prodotta da ciascun aerogeneratore fluisce attraverso un sistema collettore composto da cavi conduttori interrati. Il controllo del parco viene attuato tramite l'ausilio di automatismi programmabili. Il parco eolico verrà controllato e monitorato da remoto attraverso un sistema Scada GSM che consentirà la comunicazione tra la sala di controllo e il parco. Le turbine saranno collegate tra loro per la trasmissione dei dati attraverso un cavo di fibra ottica disposta lungo la linea di evacuazione dell'energia.

6.1 Aerogeneratori

Le turbine in progetto saranno montate su torri tubolari di altezza (base-mozzo) pari a 125 m, con rotori a 3 pale ed aventi diametro massimo di 162 m. La colorazione della torre tubolare e delle pale del rotore sarà bianca e non riflettente. Le pale degli aerogeneratori, inoltre, saranno colorate a bande orizzontali bianche e rosse, allo scopo di facilitarne la visione diurna e tutti gli aerogeneratori saranno dotati di luce rossa fissa di media intensità per la segnalazione notturna, omologate ICAO, e comunque con le caratteristiche che saranno indicate dall'Ente Nazionale per l'Aviazione Civile (ENAC).

Tabella 7 - Caratteristiche aerogeneratori

| DATI OPERATIVI | |
|---|------------|
| Potenza nominale | 6.000 kW |
| Velocità del vento al cut-in: | 3 m/s |
| Velocità del vento al cut-out: | 25 m/s |
| Classe del vento | IEC61400-1 |
| Minima temperatura ambiente durante il funzionamento | -20°C |
| Massima temperatura ambiente durante il funzionamento | +45°C |
| SUONO | |
| Velocità di 7 m/s | 98 dB(A) |

RELAZIONE PREVISIONALE DI IMPATTO ACUSTICO

| | |
|-------------------------------|---|
| Velocità di 8 m/s | 98 dB(A) |
| Velocità di 10 m/s | 98 dB(A) |
| Al 95% della potenza nominale | 98 dB(A) |
| ROTORE | |
| Diametro | 162 m |
| N° pale | 3 |
| Area spazzata | 20.612 m ² |
| Frequenza | 50 Hz/60 Hz |
| Tipo convertitore | full scale converter |
| Tipo generatore | Permanent Magnet Synchronous generator |
| Regolazione di velocità | Hydraulic pitch system (1 cylinder per blade) |
| TORRE | |
| Tipo | Torre tubolare design ibrido (acciaio – calcestruzzo) |
| Altezza mozzo | 125 m |
| PALA | |
| Lunghezza | 79,35 |
| Profilo alare massimo | 4,3 m |

Il posizionamento degli aerogeneratori nell'area di progetto è tale da evitare il cosiddetto effetto selva. La distanza minima tra aerogeneratori su una stessa fila è superiore a 3d (486 m).

6.2 Fondazioni

La realizzazione delle fondazioni degli aerogeneratori deve essere preceduta da uno scavo di sbancamento per raggiungere le quote delle fondazioni definite in progetto, dal successivo compattamento del fondo dello scavo e dall'esecuzione degli eventuali rilevati da eseguire con materiale proveniente dagli scavi opportunamente vagliato ed esente da argilla.

I plinti di fondazione saranno circolari con diametro di 29 m e profondità di 3,00 m circa dal piano campagna, con 12 pali di fondazione del diametro di 1,2 m e lunghezza pari a 25,00 m.

Fondazioni dirette:

- Ingombro in pianta: circolare

RELAZIONE PREVISIONALE DI IMPATTO ACUSTICO

- Forma: tronco conica
- diametro massimo 29 m
- altezza massima 2,8 m circa
- interrate, ad una profondità misurata in corrispondenza della parte più alta del plinto di circa 0,5 m (solo la parte centrale della fondazione, in corrispondenza del concio di ancoraggio in acciaio, spogerà dal terreno per circa 5/10 cm)
- volume complessivo 1110,00 mc circa

Pali di fondazione (n. 16 per plinto):

- Ingombro in pianta: circolare a corona
- Forma: cilindrica
- diametro pali 1200 mm
- lunghezza pali 25,00 m

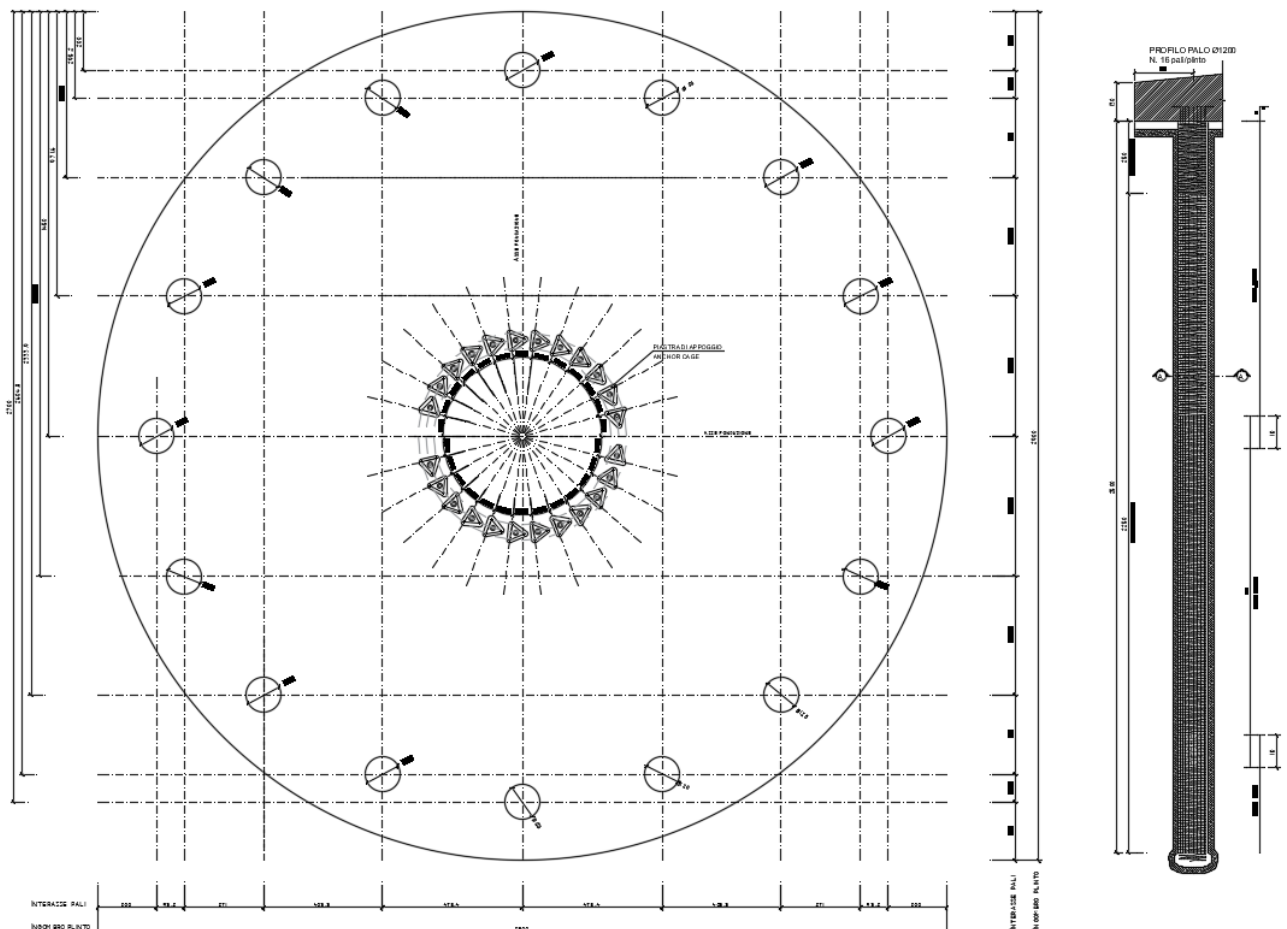


Figura 3 - Tipologico plinto di fondazione

6.3 Piazzole di montaggio

In corrispondenza di ciascun aerogeneratore sarà realizzata una piazzola di montaggio.

Data la specifica morfologia dei luoghi, si è scelto di ridurre al minimo le aree di occupazione temporanea, preferendo una configurazione di tipo “just in time”. Rispetto alla configurazione standard, ciascuna piazzola di montaggio comprenderà un’area di stoccaggio della navicella, ma non l’area di stoccaggio delle sezioni di torre né quella delle pale, predisponendo l’eventuale stoccaggio di queste in una sola area dedicata comunque prossima agli aerogeneratori, ovvero all’area di cantiere base, e prevedendone il montaggio dei componenti in tempo reale.

Attorno alla piazzola saranno, invece, allestite le aree per il montaggio e sollevamento della gru tralicciata. Tale opera avrà la funzione di garantire l’appoggio alle macchine di sollevamento necessarie per il montaggio della macchina.

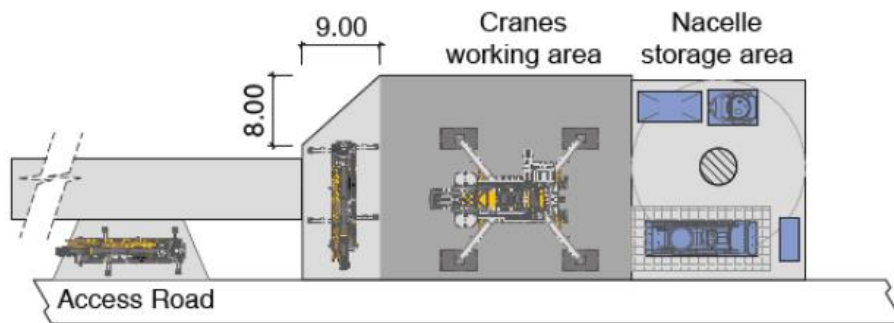


Figura 4 - Schema piazzola di montaggio – Configurazione Just in Time

Le caratteristiche realizzative della piazzola dovranno essere tali da consentire la planarità della superficie di appoggio ed il defluire delle acque meteoriche.

Al termine dei lavori di realizzazione del parco eolico si procederà alla rimozione delle piazzole, a meno della superficie in prossimità della torre, che sarà utilizzata per tutto il periodo di esercizio dell’impianto; le aree saranno oggetto di ripristino mediante rimozione del materiale utilizzato e la ricostituzione dello strato di terreno vegetale rimosso.

6.4 Trincee e cavidotti

Gli scavi a sezione ristretta necessari per la posa dei cavi (trincee) avranno ampiezza variabile in relazione al numero di terne di cavi che dovranno essere posate (fino ad un massimo di 80 cm e profondità di 1,2 m).

I cavidotti saranno segnalati in superficie da appositi cartelli, da cui si potrà evincere il loro percorso. Il percorso sarà ottimizzato in termini di impatto ambientale, intendendo con questo che i

RELAZIONE PREVISIONALE DI IMPATTO ACUSTICO

cavidotti saranno realizzati per quanto più possibile al lato di strade esistenti ovvero delle piste di nuova realizzazione.

Dette linee in cavo a 30 kV permetteranno di convogliare tutta l'energia prodotta dagli aerogeneratori alla sottostazione di connessione e consegna da realizzarsi unitamente al Parco Eolico.

6.5 Sottostazione elettrica di elevazione MT/AT 30/150 kV e consegna in AT

La sottostazione di elevazione MT/AT e consegna (SSE) sarà realizzata in agro di Santa Croce di Magliano (CB), distante circa 5 km in direzione sud ovest dalla stazione elettrica Terna di Rotello, alla quale sarà connessa.

In estrema sintesi, nella SSE si avrà:

- Arrivo delle linee MT a 30 KV interrate, provenienti dall'impianto eolico;
- Trasformazione 30/150 kV, tramite opportuno trasformatore di potenza;
- Partenza di una linea interrata AT, di lunghezza pari a 9 km circa, che permetterà la connessione allo stallo a 150 kV della SE TERNA, dedicato all'impianto in oggetto.

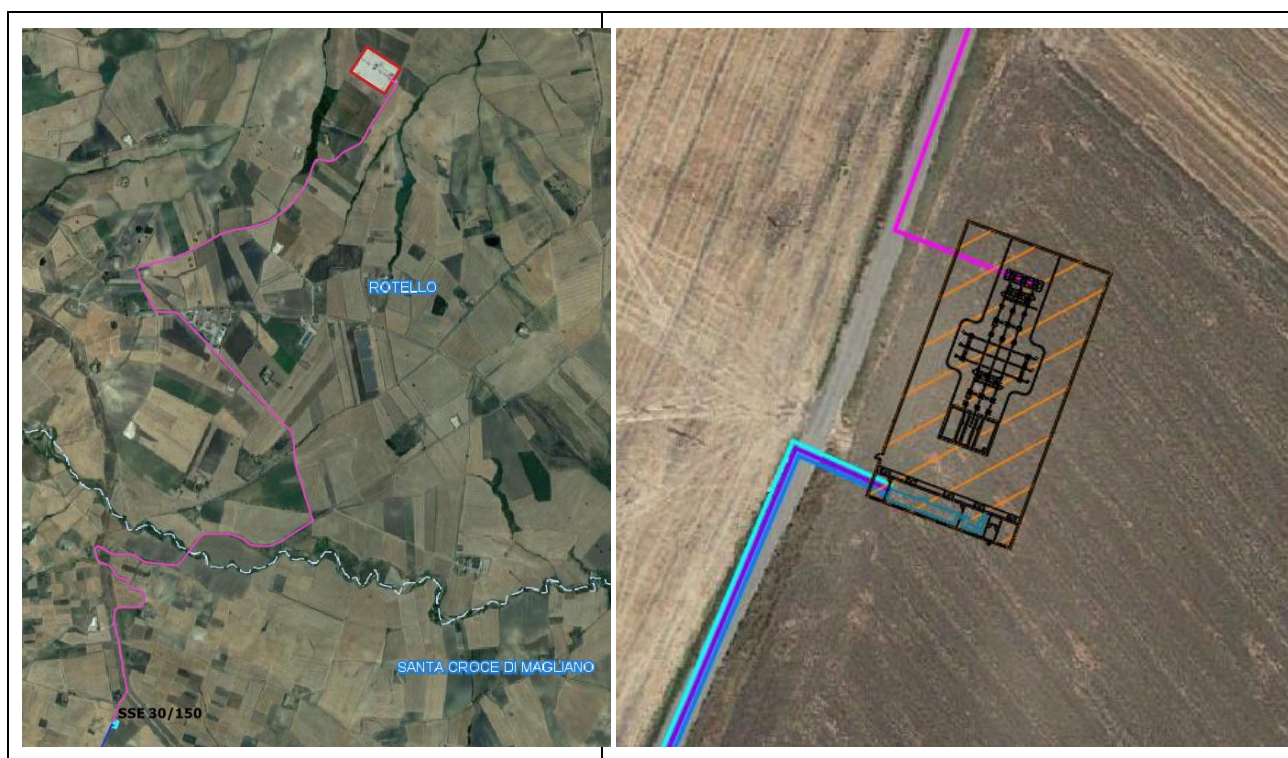


Figura 5 - Inquadramento SS MT/AT

La superficie totale occupata dalla SSE 30/150 sarà pari a circa 1.500,00 mq.

Tutti gli impianti in bassa, media ed alta tensione saranno realizzati secondo le prescrizioni delle norme CEI applicabili, con particolare riferimento alla scelta dei componenti della disposizione circuitale, degli schemi elettrici, della sicurezza di esercizio.

RELAZIONE PREVISIONALE DI IMPATTO ACUSTICO

Le modalità di connessione saranno conformi alle disposizioni tecniche emanate dall'autorità per l'energia elettrica e il gas (delibera ARG/elt 99/08 del 23 luglio 2008 – Testo integrato delle condizioni tecniche ed economiche per la connessione alle reti elettriche con obbligo di connessione di terzi degli impianti di produzione di energia elettrica - TICA), e in completo accordo con le disposizioni tecniche definite nell'Allegato A (CEI 0-16) della delibera ARG/elt 33/08).

6.6 Trasporti eccezionali

Il trasporto degli aerogeneratori nell'area di installazione avverrà con l'ausilio di mezzi eccezionali provenienti, molto probabilmente, dal porto di Manfredonia, secondo il seguente percorso: uscita dal Porto di Manfredonia, direttamente su SS89 "Garganica", direzione Foggia; da lì si prenderà la Autostrada A14 in direzione Ancona fino a Termoli per poi procedere lungo la SS87 Sannitica in direzione Campobasso/Larino fino all'intersezione con la SP 167. Da qui si procederà lungo la viabilità provinciale in direzione sud, verso Rotello/Santa Croce di Magliano/San Giuliano di Puglia, fino all'area del parco eolico.

L'accesso alle aree del sito sarà oggetto di studio dettagliato in fase di redazione del progetto esecutivo.

I componenti di impianto da trasportare saranno:

1. Pale del rotore dell'aerogeneratore (n. 3 trasporti per WTG);
2. Navicella (n. 1 trasporto per WTG);
3. Sezioni tronco coniche della torre tubolare di sostegno (n. 5 trasporti per WTG);
4. Hub (n.2 hub con un trasporto).

Le dimensioni dei componenti sono notevoli, in particolare le pale avranno lunghezza di circa 80 m ed il mezzo eccezionale che le trasporta ha lunghezza di circa 70 m. La lavorazione consisterà essenzialmente nelle seguenti fasi:

1. sopralluogo di dettaglio (road survey) con individuazione degli adeguamenti da realizzare per permettere il passaggio dei trasporti eccezionali;
2. predisposizione di tutte le modificazioni previste; gli interventi dovranno essere realizzati in maniera tale da garantire la sicurezza stradale per tutto il periodo interessato dai trasporti (circa 7 settimane), ad esempio con utilizzo di segnaletica con innesto a baionetta, new jersey in plastica ed altri apprestamenti facilmente rimuovibili;
3. trasporti eccezionali, che avverranno per quanto possibile nelle ore di minor traffico (solitamente nelle ore notturne dalle 22.00 alle 6.00); nel corso delle operazioni si procederà alla rimozione temporanea ed all'immediato ripristino degli apprestamenti di

RELAZIONE PREVISIONALE DI IMPATTO ACUSTICO

sicurezza stradale;

4. ripristino di tutti gli adeguamenti alle condizioni ex ante.

Gli adeguamenti saranno limitati nel tempo al periodo strettamente necessario al trasporto dei componenti di tutti gli aerogeneratori, circa un mese, e saranno effettuati garantendo il mantenimento in qualsiasi momento di tutte le prescrizioni di carattere di sicurezza stradale. Ad esempio si utilizzeranno segnali stradali con innesto a baionetta o moduli spartitraffico tipo “New Jersey” di colore rosso e bianco, in polietilene ad alta densità (plastica), da rimuovere manualmente al passaggio dei mezzi eccezionali.

6.7 Strade e piste di cantiere

La viabilità esistente, nell’area di intervento, sarà integrata con la realizzazione di piste necessarie al raggiungimento dei singoli aerogeneratori, sia nella fase di cantiere che in quella di esercizio dell’impianto.

Le strade di servizio (piste) di nuova realizzazione, necessarie per raggiungere le torri con i mezzi di cantiere, avranno ampiezza di 5 m circa e raggio interno di curvatura variabile e di almeno 45 m. Lo sviluppo lineare delle strade di nuova realizzazione, all’interno dell’area di intervento, determinerà un’occupazione territoriale di 35.000 mq circa. Per quanto l’uso di suolo agricolo è comunque limitato, allo scopo di minimizzarlo ulteriormente per raggiungere le torri saranno utilizzate, per quanto possibile, le strade già esistenti, come peraltro si evince dagli elaborati grafici di progetto. Nei tratti in cui sarà necessario, tali strade esistenti saranno oggetto di interventi di adeguamento del fondo stradale e di pulizia da pietrame ed arbusti eventualmente presenti, allo scopo di renderle completamente utilizzabili.

Le piste non saranno asfaltate e saranno realizzate con inerti compattati, parzialmente permeabili di diversa granulometria. Una parte del materiale rinveniente dagli scavi delle fondazioni verrà riutilizzato per realizzare o adeguare tale viabilità.

6.8 Regimazione idraulica

Negli interventi di realizzazione delle piste di cantiere e delle piazzole verrà garantita la regimazione delle acque meteoriche mediante la verifica della funzionalità idraulica della rete naturale esistente.

Ove necessario, si procederà alla realizzazione di fosso di guardia lungo le strade e le piazzole, o di altre opere quali canalizzazioni passanti o altre opere di drenaggio e captazione, nel caso di interferenze con esistenti canali o scoline.

RELAZIONE PREVISIONALE DI IMPATTO ACUSTICO

6.9 Ripristini

Alla chiusura del cantiere, prima dell'inizio della fase di esercizio del parco, i terreni interessati dall'occupazione temporanea dei mezzi d'opera o dal deposito provvisorio dei materiali di risulta o di quelli necessari alle varie lavorazioni, saranno ripristinati.

Le operazioni di ripristino consisteranno in:

- Rimozione del terreno di riporto o eventuale rinterro, fino al ripristino della geomorfologia pre-esistente;
- Finitura con uno strato superficiale di terreno vegetale;
- Preparazione del terreno per l'attecchimento.

In fase di esercizio la dimensione delle piazzole antistanti le torri sarà ridotta esclusivamente a circa 500 mq, per complessivi 5750 mq, eliminando le superfici utilizzate per stoccaggio materiali ed elemento delle torri, e montaggio/sollevamento gru tralicciata. Gli allargamenti stradali realizzati per il passaggio dei mezzi pesanti verranno eliminati e sarà ripristinato lo stato dei luoghi ante operam.

6.10 Sintesi dei principali dati di progetto

PRINCIPALI CARATTERISTICHE TORRI EOLICHE

- | | |
|-------------------|---|
| - Aerogeneratore: | P _{nom} 6.000 kW diametro rotore 162 m |
| - Torre: | Tubolare – con 4 tronchi – altezza 125 m |
| - Fondazioni: | in c.a. parte superficiale diametro 29 m – altezza 2,8 m |

PRINCIPALI CARATTERISTICHE AREA DI INTERVENTO

- | | |
|-----------------------|-----------|
| - Morfologia: | Collinare |
| - Utilizzo del suolo: | Agricolo |

PRINCIPALI CARATTERISTICHE IMPIANTO EOLICO

- | | |
|---------------------------------------|------------|
| - N° torri eoliche: | 13 |
| - Potenza nominale complessiva: | 60,0 MW |
| - Area plinti di fondazione: | 7.260,0 mq |
| - Area piazzole fase di cantiere: | 4.150,0 mq |
| - Area piazzole in fase di esercizio: | 5.750,0 mq |

RELAZIONE PREVISIONALE DI IMPATTO ACUSTICO

- Area nuova viabilità di cantiere: 15.340,0 mq
- Area nuova viabilità di esercizio: 55.200,0 mq
- Vita utile impianto: 20 anni (durata Autorizzazione)

RELAZIONE PREVISIONALE DI IMPATTO ACUSTICO

7 INDIVIDUAZIONE DEI RICETTORI

Come anticipato in premessa lo scopo del presente studio è valutare il potenziale impatto acustico relativo all'entrata in funzione degli aerogeneratori, nei confronti dei ricettori più prossimi (Cfr. Fig. 6).

Rispetto a tali ricettori è stata condotta la stima puntuale della rumorosità proveniente dagli aerogeneratori, oltre a quella spaziale che interesserà tutta l'area di influenza dello stesso nella fase di esercizio.

Tabella 8 - Caratteristiche ricettori

| Ricettore | Comune | Coordinata x [m] | Coordinata Y [m] |
|-----------|-------------------------|------------------|------------------|
| R01 | San Giuliano di Puglia | 498843,947 | 4616208,6 |
| R02 | San Giuliano di Puglia | 498890,523 | 4616174,449 |
| R03 | San Giuliano di Puglia | 499146,43 | 4616172,794 |
| R04 | San Giuliano di Puglia | 499864,183 | 4615707,43 |
| R05 | San Giuliano di Puglia | 500380,411 | 4615641,47 |
| R06 | San Giuliano di Puglia | 500492,896 | 4615693,163 |
| R07 | San Giuliano di Puglia | 500521,847 | 4615141,045 |
| R08 | San Giuliano di Puglia | 499279,416 | 4614463,908 |
| R09 | San Giuliano di Puglia | 499119,839 | 4614704,449 |
| R10 | San Giuliano di Puglia | 498931,043 | 4614687,784 |
| R11 | San Giuliano di Puglia | 502361,142 | 4614369,209 |
| R12 | Santa Croce di Magliano | 501198,582 | 4616681,241 |
| R13 | San Giuliano di Puglia | 501485,747 | 4615810,678 |
| R14 | San Giuliano di Puglia | 503643,762 | 4615020,193 |
| R15 | San Giuliano di Puglia | 504428,856 | 4614747,485 |
| R16 | Santa Croce di Magliano | 505229,362 | 4616917,611 |
| R17 | San Giuliano di Puglia | 503271,230 | 4613929,037 |

Di seguito si riporta la vista aerea con la localizzazione dei ricettori:

RELAZIONE PREVISIONALE DI IMPATTO ACUSTICO

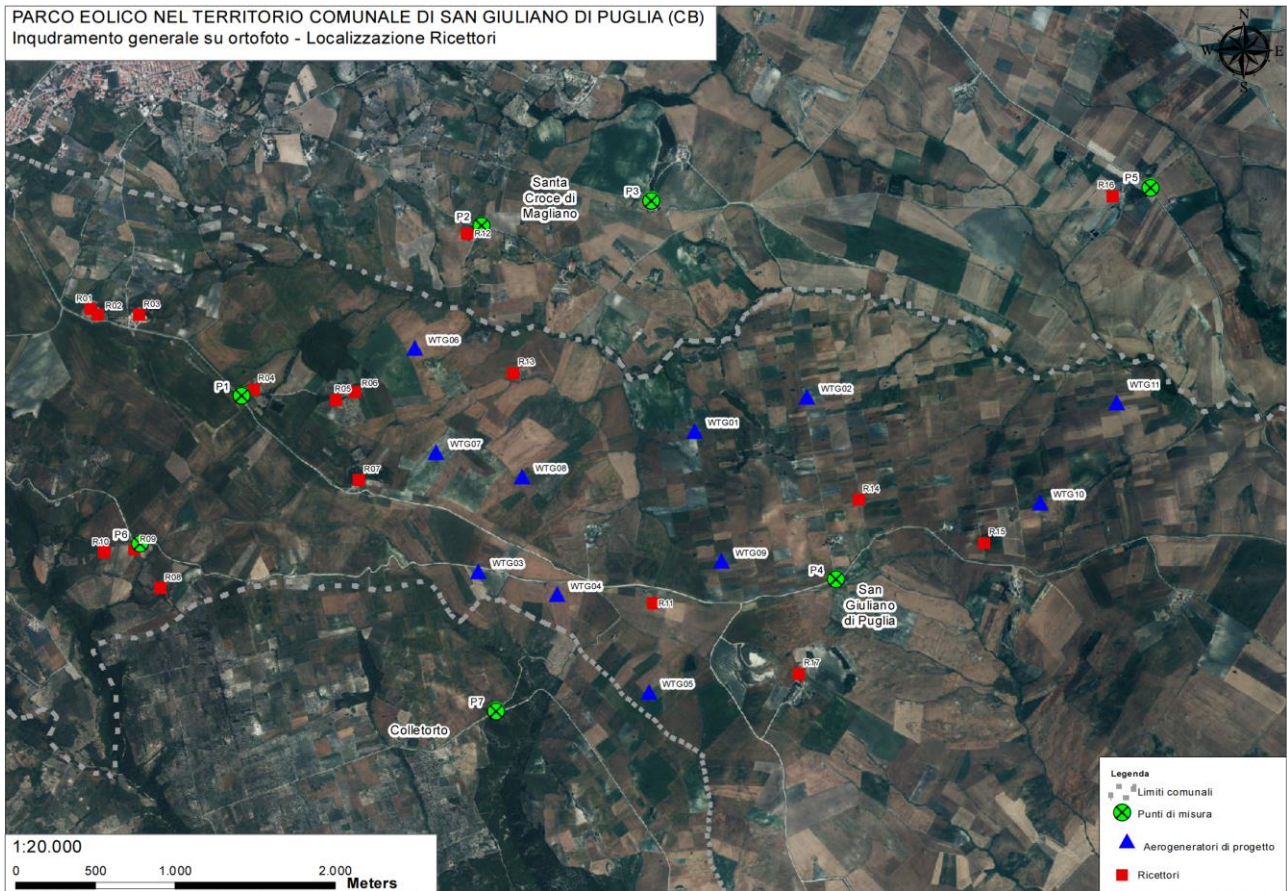


Figura 6 - Ricettori da R01 a R17

8 MISURA DEL CLIMA ACUSTICO ANTE OPERAM

La valutazione di clima acustico ante operam ha lo scopo di quantificare il livello dei rumori presenti nell'area oggetto di trasformazione e verificarne la conformità con le prescrizioni dettate dal DPCM 01/03/1991 intitolato "Limiti massimi di esposizione al rumore negli ambienti abitativi e nell'ambiente esterno", relativamente alla classe d'uso del territorio.

La valutazione di clima acustico è imposta dalla legge quadro sull'inquinamento acustico n. 447 del 26 Ottobre 1995 ed è necessaria per il rilascio delle concessioni relative ad aree destinate ad ospitare tipologie di insediamenti particolarmente sensibili al rumore.

In questo caso la valutazione di clima acustico ante operam è servita ad individuare la rumorosità presente nella zona di intervento prima che venga avviata l'attività in oggetto di studio. Inoltre, tali dati servono a tarare il modello di propagazione in campo libero, impiegato in seguito per la stima della rumorosità dell'attività post operam. Per valutare l'impatto acustico del parco eolico si è proceduto con una campagna di misure in 7 differenti punti dell'area in esame con misure sia nel periodo diurno (6-22) e in quello notturno (22-6). La scelta dei punti è stata fatta in modo da valutare nella maniera più rappresentativa possibile il rumore persistente nell'area dovuto alle sorgenti significativamente presenti, in realtà ascrivibili essenzialmente alle strade, per poter caratterizzare altresì il rumore residuo dovuto agli effetti del vento. Nelle immagini seguenti sono rappresentati i punti di misura del clima acustico:

RELAZIONE PREVISIONALE DI IMPATTO ACUSTICO

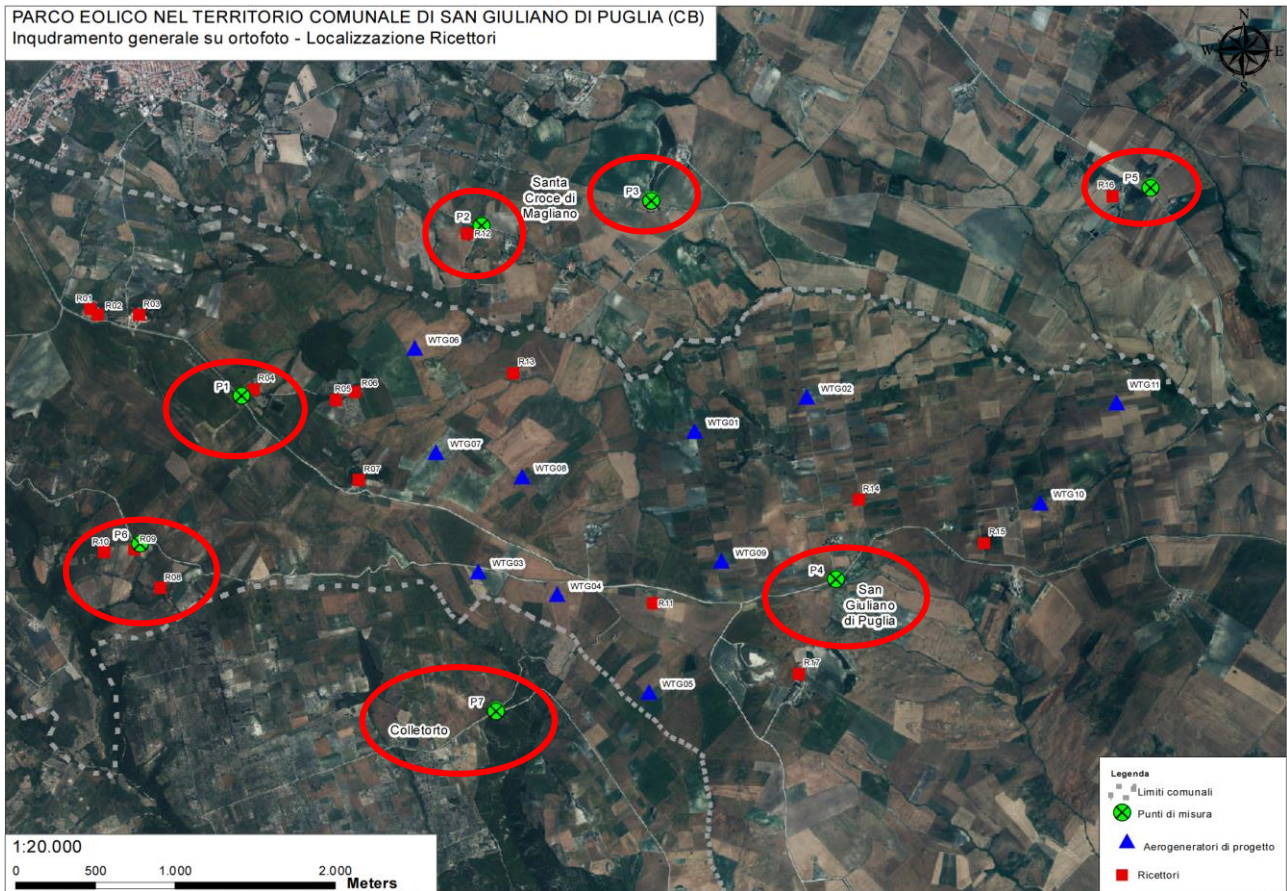


Figura 7 – Punti di misura

9 DATA, LUOGO, ORA DEL RILEVAMENTO E CONDIZIONI METEO

Le misure di clima acustico sono state condotte dalle ore 17:09 alle ore 20:57 di lunedì del 12 luglio 2021 per la fascia diurna cioè quella che va dalle 6.00 alle 22.00 e dalle ore 22:05 alle ore 03:03 di lunedì/martedì 12/13 luglio 2021, per la fascia notturna cioè quella che va dalle 22:00 alle 06:00. Le misure hanno avuto una durata minima di circa 20'.

Le condizioni metereologiche sono state di tempo buono, di vento inferiore a 5 m/s, e di umidità relativa 60%, ogni postazione di misura fonometrica scelta è stata verificata con l'anemometro in modo da soddisfare la condizione di vento < 5 m/s, condizione richiesta dal DM 16/03/98 per la corretta esecuzione delle misure in modo per evitare che il fonometro non risenta degli effetti di trascinamento dell'aria. Per prevenire questo artefatto in alcuni casi si è abbassata l'altezza del fonometro dal suolo come indicato dalle normative ISO. Le misure sono state fatte ad altezze tra 0,5 e 1,5 metri di quota.

10 STRUMENTAZIONE UTILIZZATA PER LA FONOMETRIA

La strumentazione utilizzata consiste in:

- Fonometro integratore analizzatore di frequenze, con preamplificatore integrato, di marca 01dB mod. Fusion matr. N. 12829 certif. di taratura ACOEM CV/CE/CC-MET-20-80978 del 04/12/2020;
- Microfono G.R.A.S. mod. 40CE matr. n.331508 certif. di taratura ACOEM CV/CE/CC-MET-20-80978 del 04/12/2020;
- Calibratore di marca 01dB mod. Cal21 matr. N. 34924048 certif. di taratura ACCREDIA LAT 068 46079-A del 13/11/2020;
- Filtri in 1/3 di ottava certif. di taratura ACOEM CV/CE/CC-MET-20-80978 del 04/12/2020.

La cui catena è in classe 1 secondo le norme I.E.C. 651 “Fonometri di precisione”, I.E.C. 804 “fonometri integratori”, I.E.C. 1260 “Analisi in frequenza per bande di ottava e un terzo di ottava” in conformità al D.M. 16/03/98.

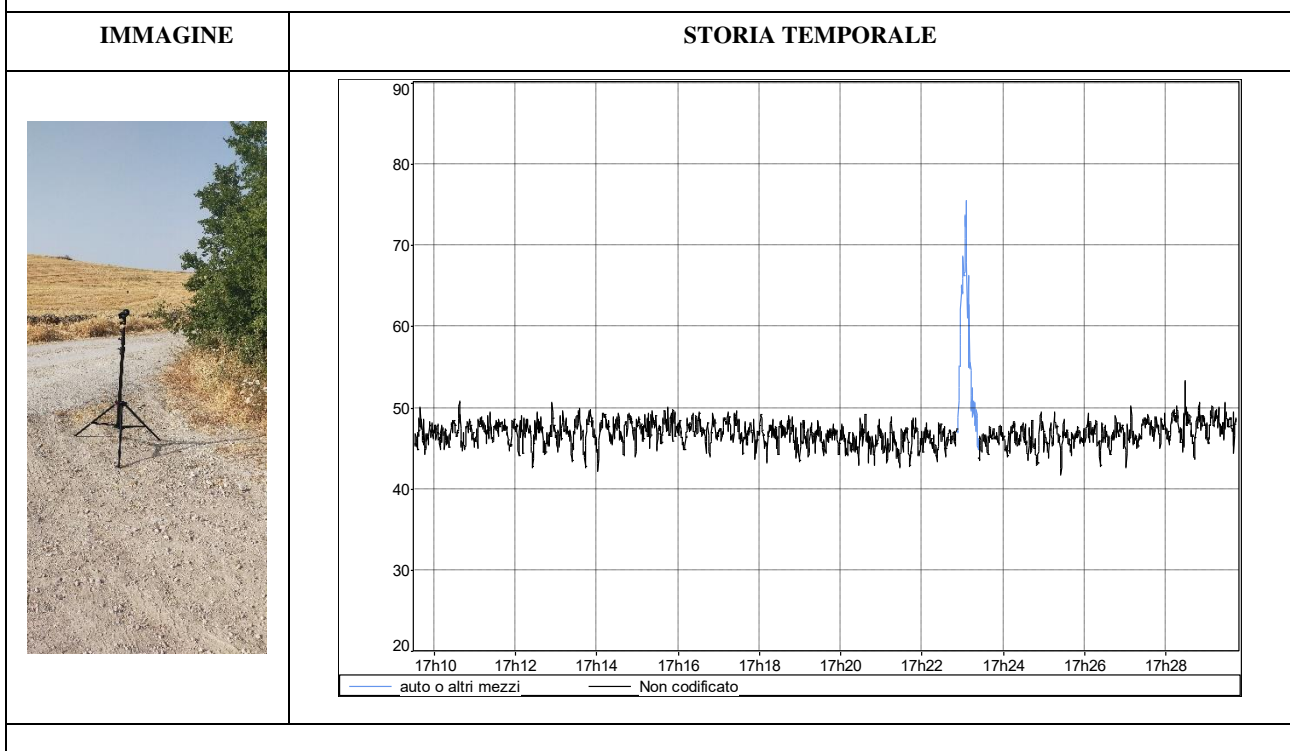
Il microfono è stato protetto dall'apposita cuffia. Prima e dopo le misurazioni l'intera catena di misura è stata sottoposta alla calibrazione e lo scarto rilevato tra le due verifiche è stato inferiore a 0,5 dB, come da normativa.

RELAZIONE PREVISIONALE DI IMPATTO ACUSTICO

11 TABELLE DELLE MISURE EFFETTUATE DEL CLIMA ACUSTICO

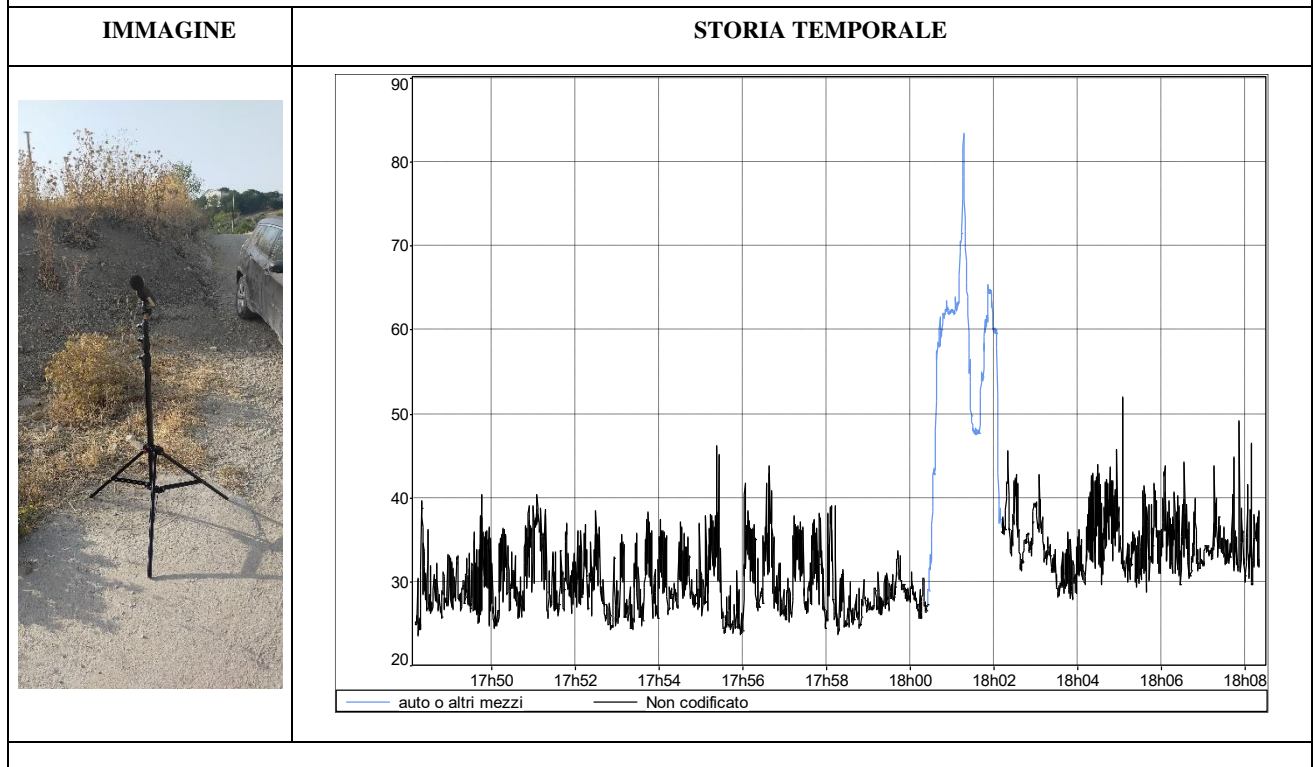
11.1 Misure Diurne

| ID Misura | P7_D | descrizione | Livello di clima acustico L_R | |
|-------------------|---|------------------|---------------------------------|--|
| Ubicazione | Lat: 41.674982° Long: 15.016543° - Livello misurato all'esterno nei pressi della viabilità delle WTG03,04 e 05 (Diurno) | | | |
| Data | 12/07/2021 | Pesatura | A | |
| Ora inizio misura | 17:09:32 | L_{eq} (dB) | 51,2 (51,0) | |
| Ora fine misura | 17:29:46 | $L_{p,min}$ (dB) | 40,9 (41,0) | |
| Durata (min) | 20:14 | $L_{p,max}$ (dB) | 79,5 (79,5) | |
| Cost. Integr. | Fast | L_{95} (dB) | 44,1 (44,0) | |



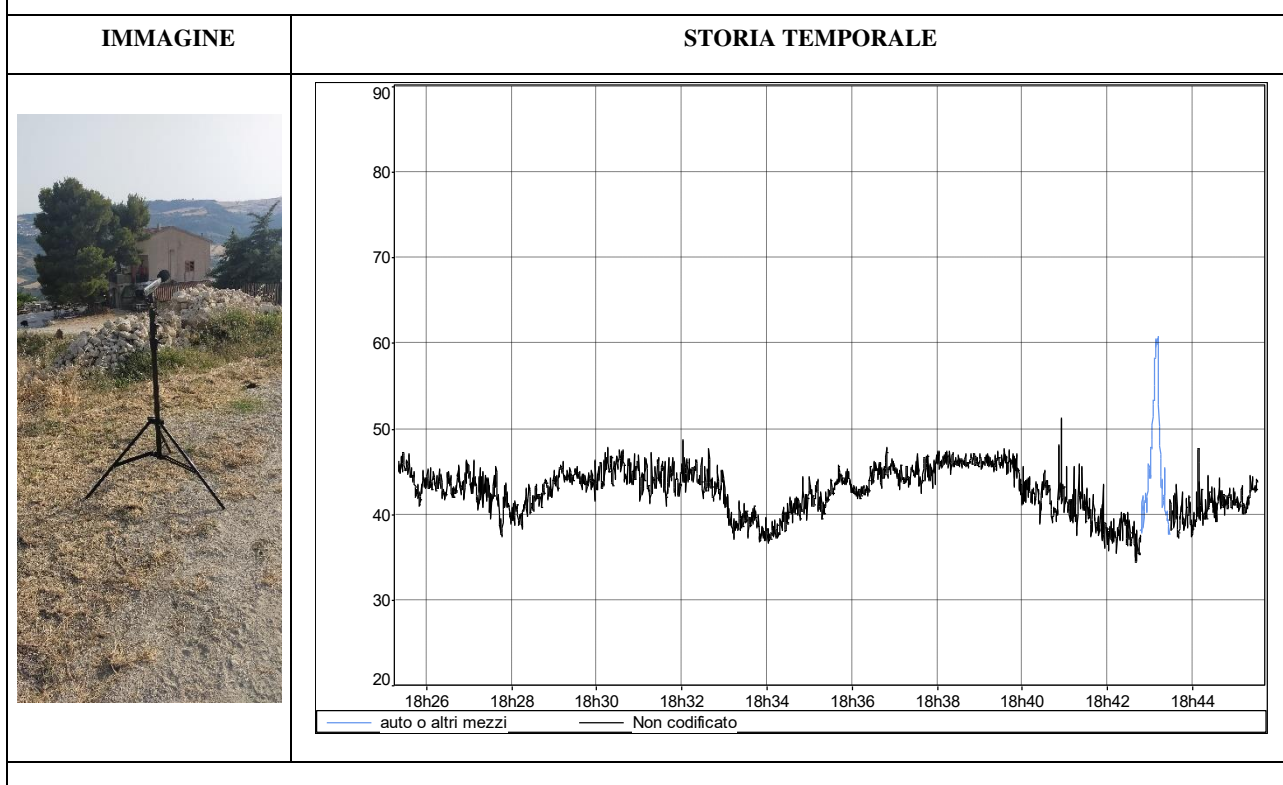
RELAZIONE PREVISIONALE DI IMPATTO ACUSTICO

| ID Misura | P4_D | descrizione | Livello di clima acustico L _R | |
|--------------------------|---|-------------------------------|--|--|
| Ubicazione | Lat: 41.682406° Long: 15.042089° - Livello misurato all'esterno nei pressi della viabilità della WTG09 e dei ricettori R14, R15 e R17 (Diurno). | | | |
| Data | 12/07/2021 | Pesatura | A | |
| Ora inizio misura | 17:48:09 | L_{eq} (dB) | 57,1 (57,0) | |
| Ora fine misura | 18:08:28 | L_{p,min} (dB) | 23,0 (23,0) | |
| Durata (min) | 20:19 | L_{p,max} (dB) | 84,5 (84,5) | |
| Cost. Integr. | Fast | L95 (dB) | 25,0 (25,0) | |



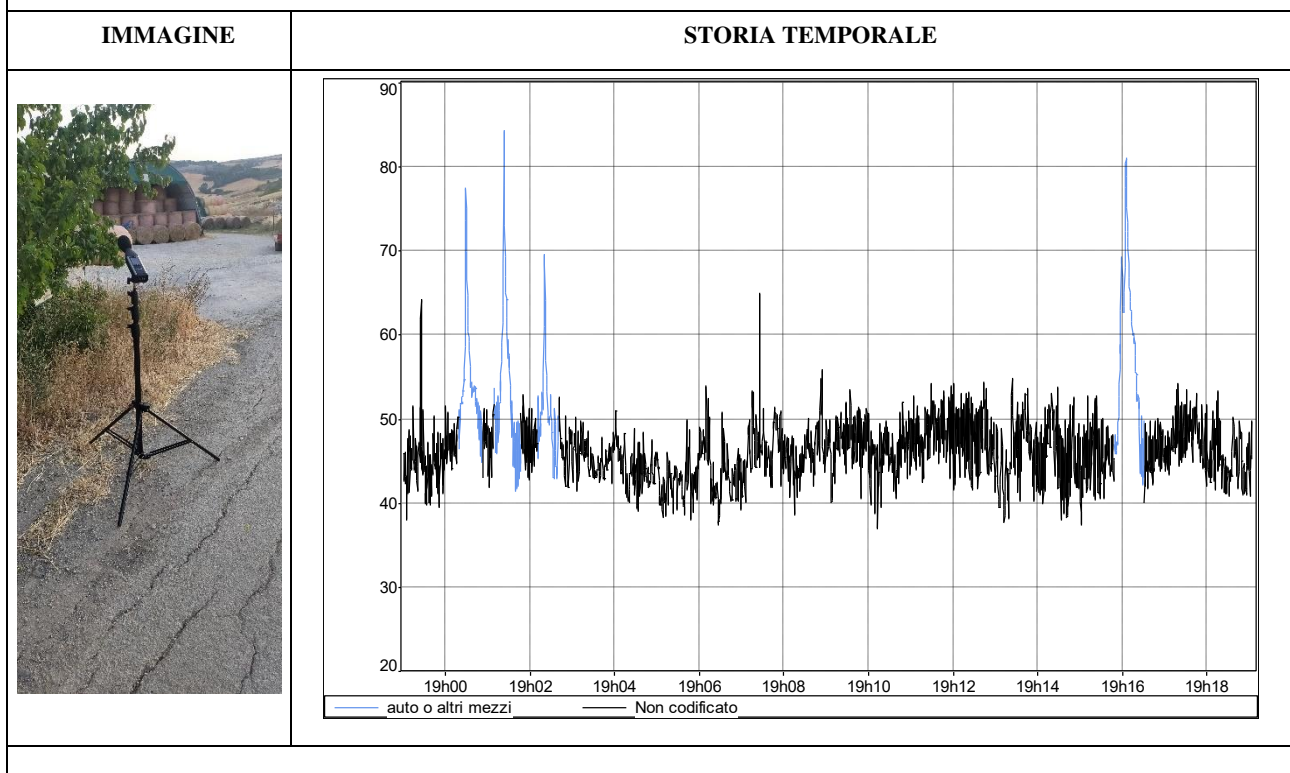
RELAZIONE PREVISIONALE DI IMPATTO ACUSTICO

| | | | | |
|--------------------------|---|-------------------------------|--|--|
| ID Misura | P6_D | descrizione | Livello di clima acustico L _R | |
| Ubicazione | Lat: 41.684440° Long: 14.989823° Livello misurato all'esterno nei pressi del Ricettore R09 (Diurno) | | | |
| Data | 12/07/2021 | Pesatura | A | |
| Ora inizio misura | 18:25:17 | L_{eq} (dB) | 44,2 (44,0) | |
| Ora fine misura | 18:45:40 | L_{p,min} (dB) | 33,4 (33,5) | |
| Durata (min) | 20:23 | L_{p,max} (dB) | 65,0 (65,0) | |
| Cost. Integr. | Fast | L95 (dB) | 37,4 (37,5) | |



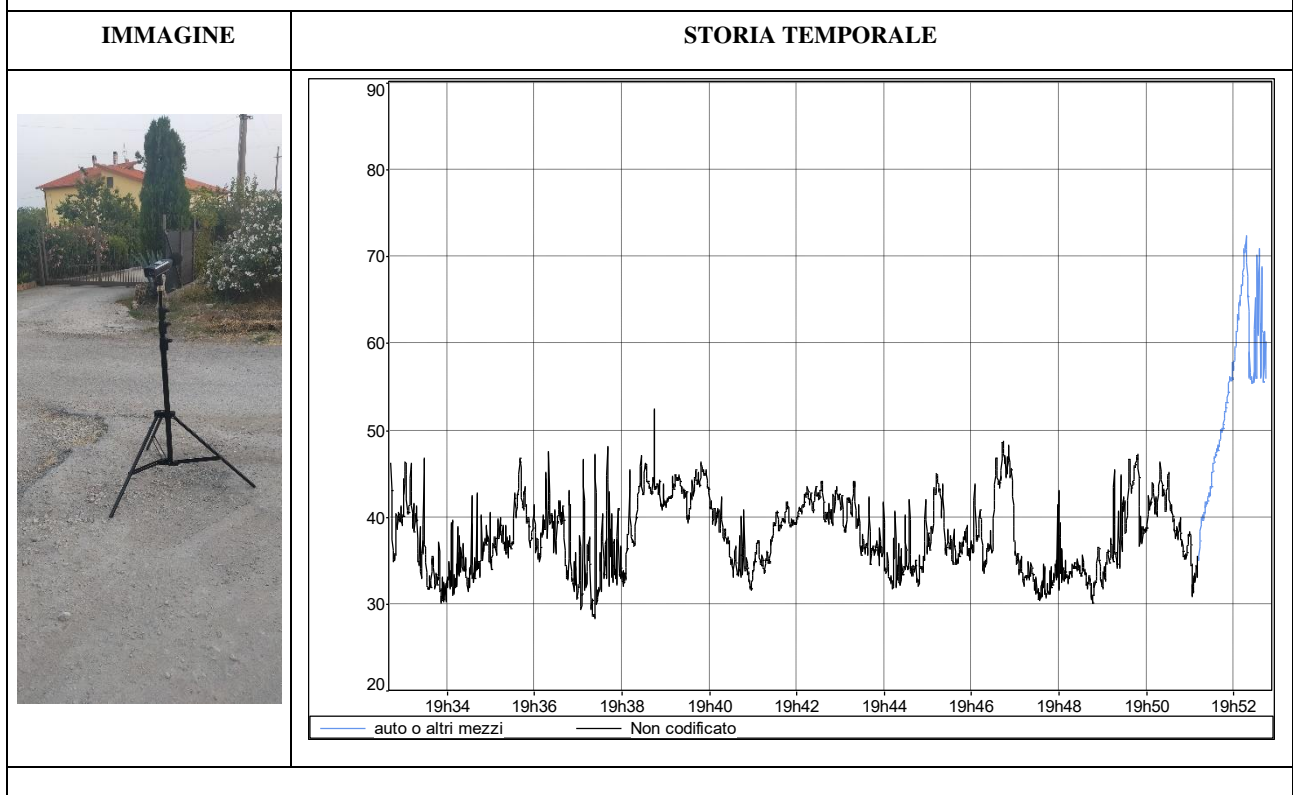
RELAZIONE PREVISIONALE DI IMPATTO ACUSTICO

| | | | | |
|--------------------------|---|--------------------|------------------------------------|-------------|
| ID Misura | P1_D | descrizione | Livello di clima acustico L_R | |
| Ubicazione | Lat: 41.692754° Long: 14.997452° Livello misurato all'esterno nei pressi del Ricettore R04 (Diurno) | | | |
| Data | 12/07/2021 | | Pesatura | A |
| Ora inizio misura | 18:58:59 | | L_{eq} (dB) | 57,6 (57,5) |
| Ora fine misura | 19:19:08 | | $L_{p,min}$ (dB) | 34,7 (34,5) |
| Durata (min) | 20:09 | | $L_{p,max}$ (dB) | 85,3 (85,5) |
| Cost. Integr. | Fast | | L_{95} (dB) | 39,5 (39,5) |



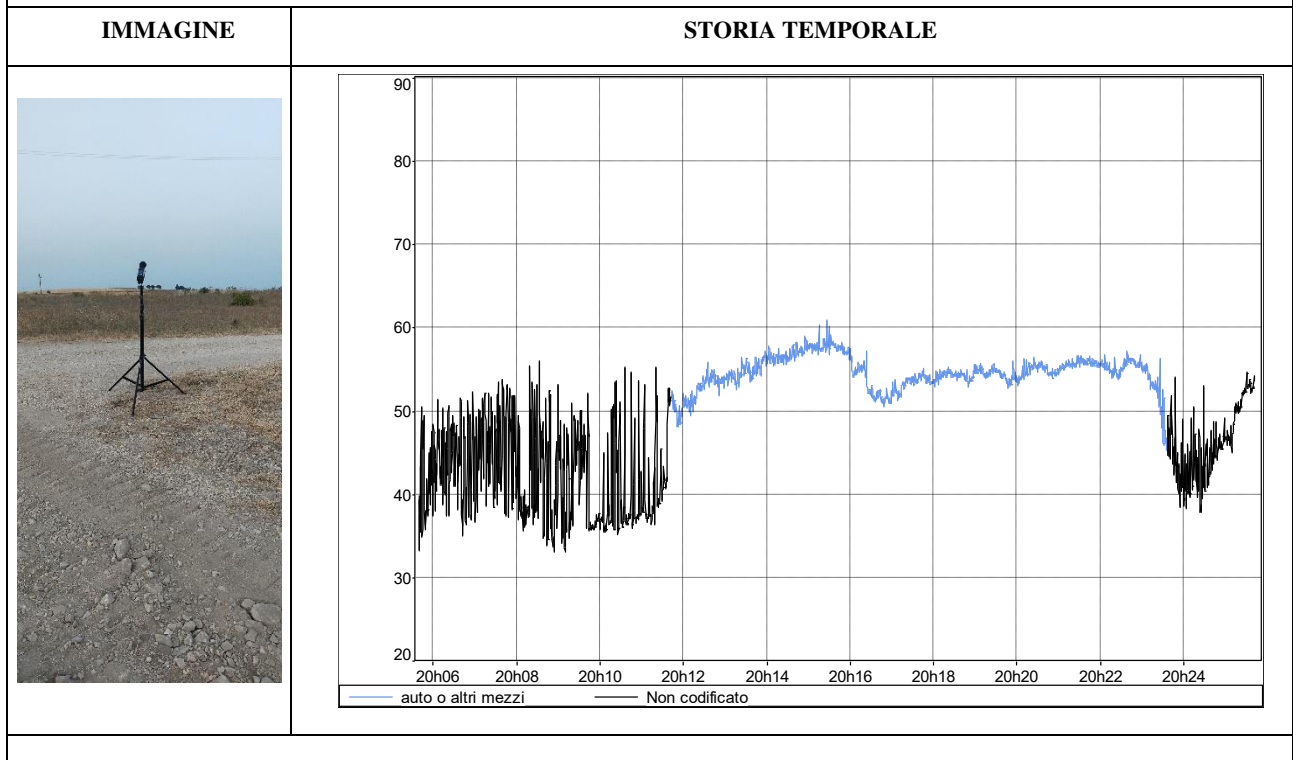
RELAZIONE PREVISIONALE DI IMPATTO ACUSTICO

| | | | | |
|--------------------------|---|------------------------------------|---------------------------------|--|
| ID Misura | P2_D | descrizione | Livello di clima acustico L_R | |
| Ubicazione | Lat: 41.702328° Long: 15.015492° Livello misurato all'esterno nei pressi del Ricettore R12 (Diurno) | | | |
| Data | 12/07/2021 | Pesatura | A | |
| Ora inizio misura | 19:32:42 | L_{eq} (dB) | 51,5 (51,5) | |
| Ora fine misura | 19:52:50 | $L_{p,min}$ (dB) | 27,5 (27,5) | |
| Durata (min) | 20:08 | $L_{p,max}$ (dB) | 74,9 (75,0) | |
| Cost. Integr. | Fast | L_{95} (dB) | 31,4 (31,5) | |



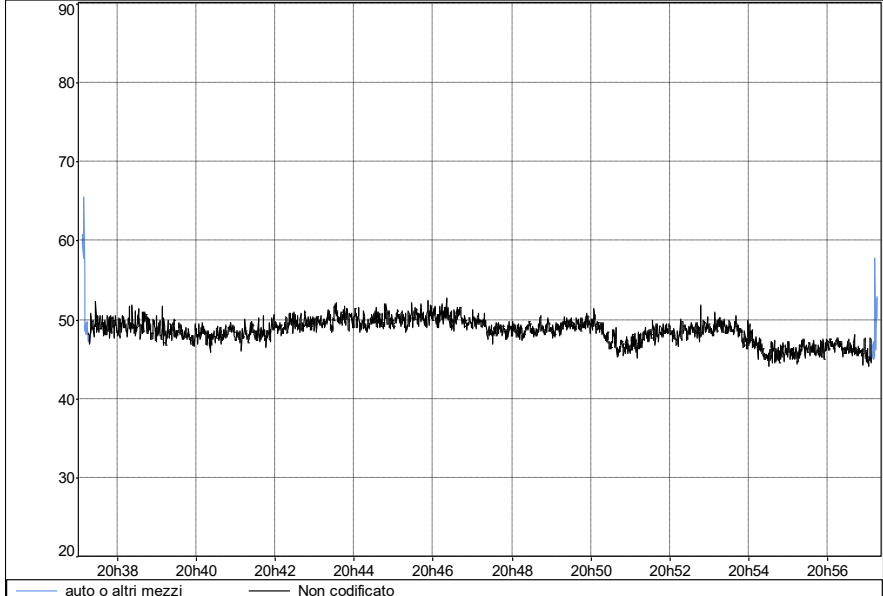
RELAZIONE PREVISIONALE DI IMPATTO ACUSTICO

| | | | | |
|--------------------------|--|-------------------------------|--|--|
| ID Misura | P3_D | descrizione | Livello di clima acustico L _R | |
| Ubicazione | Lat: 41.703758° Long: 15.028245° Livello misurato all'esterno nei pressi della viabilità del ricettore R12 (Diurno). | | | |
| Data | 12/07/2021 | Pesatura | A | |
| Ora inizio misura | 20:05:36 | L_{eq} (dB) | 53,1 (53,0) | |
| Ora fine misura | 20:25:50 | L_{p,min} (dB) | 32,0 (32,0) | |
| Durata (min) | 20:24 | L_{p,max} (dB) | 65,0 (65,0) | |
| Cost. Integr. | Fast | L95 (dB) | 35,8 (36,0) | |



RELAZIONE PREVISIONALE DI IMPATTO ACUSTICO

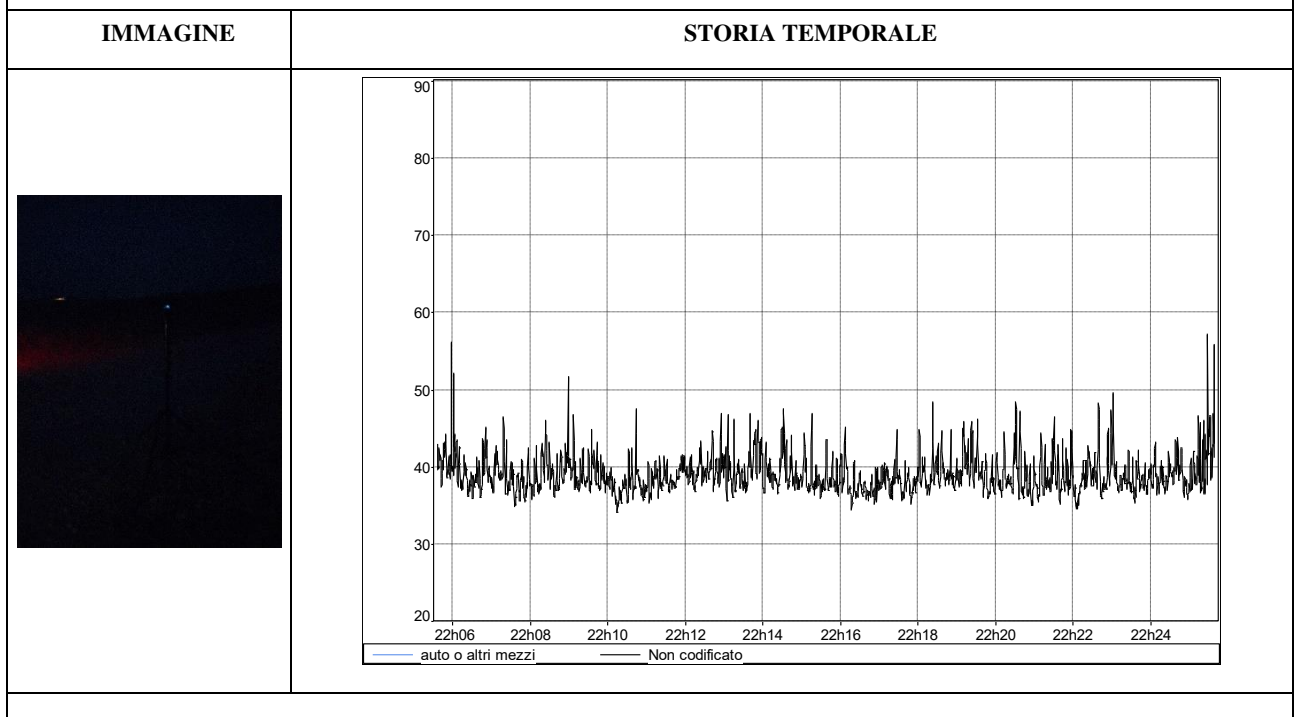
| | | | |
|--------------------------|---|-------------------------------|--|
| ID Misura | P5_D | descrizione | Livello di clima acustico L _R |
| Ubicazione | Lat: 41.704490° Long: 15.065769° Livello misurato all'esterno nei pressi della viabilità delle WTG10 e 11 (Diurno). | | |
| Data | 12/07/2021 | Pesatura | A |
| Ora inizio misura | 20:37:03 | L_{eq} (dB) | 49,0 (49,0) |
| Ora fine misura | 20:57:19 | L_{p,min} (dB) | 42,5 (42,5) |
| Durata (min) | 20:16 | L_{p,max} (dB) | 71,4 (71,5) |
| Cost. Integr. | Fast | L95 (dB) | 45,3 (45,5) |

| IMMAGINE | STORIA TEMPORALE |
|--|---|
|  |  |

RELAZIONE PREVISIONALE DI IMPATTO ACUSTICO

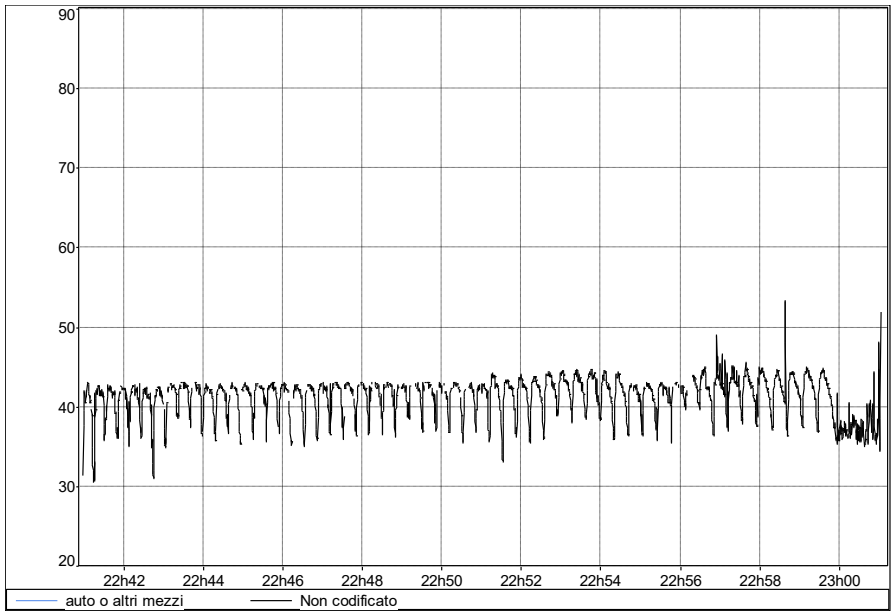
11.2 Misure Notturne

| ID Misura | P5_N | descrizione | Livello di clima acustico L _R | |
|-------------------|---|-------------------------|--|--|
| Ubicazione | Lat: 41.704490° Long: 15.065769° Livello misurato all'esterno nei pressi della viabilità delle WTG10 e 11 (Notturmo). | | | |
| Data | 02/07/2021 | Pesatura | A | |
| Ora inizio misura | 22:05:32 | L _{eq} (dB) | 40,0 (40,0) | |
| Ora fine misura | 22:25:43 | L _{p,min} (dB) | 33,1 (33,0) | |
| Durata (min) | 20:11 | L _{p,max} (dB) | 63,1 (63,0) | |
| Cost. Integr. | Fast | L ₉₅ (dB) | 35,8 (36,0) | |



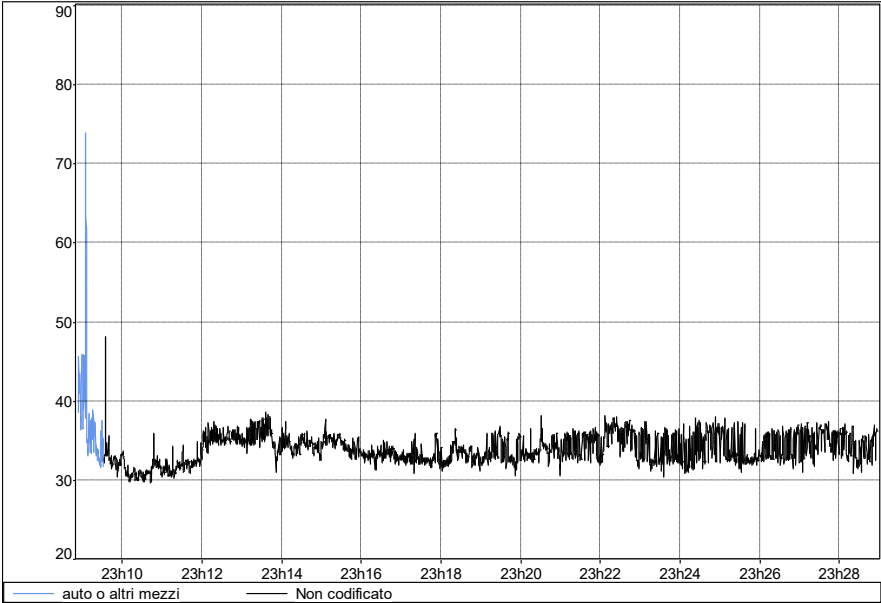
RELAZIONE PREVISIONALE DI IMPATTO ACUSTICO

| | | | | |
|--------------------------|---|-------------------------------|--|--|
| ID Misura | P3_N | descrizione | Livello di clima acustico L _R | |
| Ubicazione | Lat: 41.703758° Long: 15.028245° Livello misurato all'esterno nei pressi della viabilità della WTG11 e del ricettore R12 (Notturmo) | | | |
| Data | 02/07/2021 | Pesatura | A | |
| Ora inizio misura | 22:40:54 | L_{eq} (dB) | 41,7 (41,5) | |
| Ora fine misura | 23:01:11 | L_{p,min} (dB) | 29,3 (29,5) | |
| Durata (min) | 20:17 | L_{p,max} (dB) | 59,5 (59,5) | |
| Cost. Integr. | Fast | L95 (dB) | 35,9 (36,0) | |

| | |
|--|---|
| IMMAGINE | STORIA TEMPORALE |
|  |  |

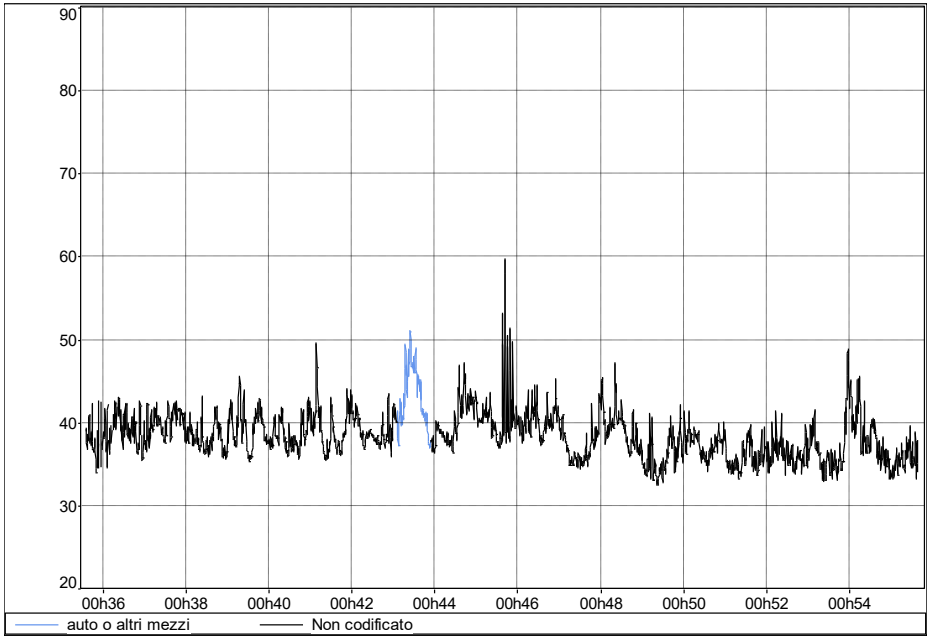
RELAZIONE PREVISIONALE DI IMPATTO ACUSTICO

| | | | | |
|--------------------------|---|--------------------|--|-------------|
| ID Misura | P2_N | descrizione | Livello di clima acustico L _R | |
| Ubicazione | Lat: 41.702328° Long: 15.015492° Livello misurato all'esterno nei pressi del Ricettore R12 (Notturmo) | | | |
| Data | 02/07/2021 | | Pesatura | A |
| Ora inizio misura | 23:08:52 | | L_{eq} (dB) | 41,7 (41,5) |
| Ora fine misura | 23:28:59 | | L_{p,min} (dB) | 26,5 (26,5) |
| Durata (min) | 20:07 | | L_{p,max} (dB) | 80,9 (81,0) |
| Cost. Integr. | Fast | | L95 (dB) | 29,7 (29,5) |

| IMMAGINE | STORIA TEMPORALE |
|--|---|
|  |  |

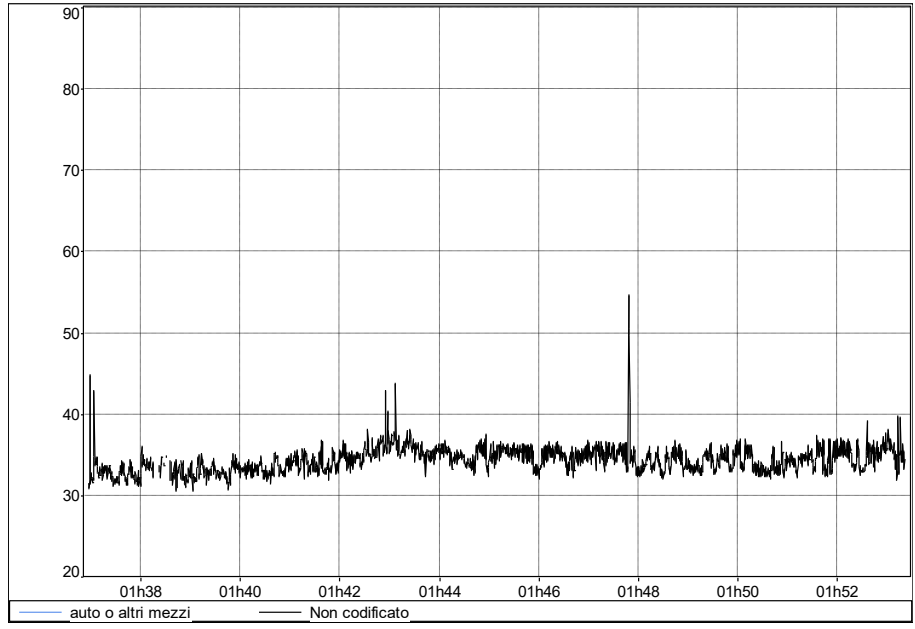
RELAZIONE PREVISIONALE DI IMPATTO ACUSTICO

| | | | | |
|--------------------------|---|-------------------------------|--|--|
| ID Misura | P1_N | descrizione | Livello di clima acustico L _R | |
| Ubicazione | Lat: 41.692754° Long: 14.997452° Livello misurato all'esterno nei pressi del Ricettore R04 (Notturmo) | | | |
| Data | 13/07/2021 | Pesatura | A | |
| Ora inizio misura | 00:35:30 | L_{eq} (dB) | 39,9 (40,0) | |
| Ora fine misura | 00:55:47 | L_{p,min} (dB) | 32,0 (32,0) | |
| Durata (min) | 22:17 | L_{p,max} (dB) | 66,6 (66,4) | |
| Cost. Integr. | Fast | L95 (dB) | 34,0 (34,0) | |

| IMMAGINE | STORIA TEMPORALE |
|--|---|
|  |  |

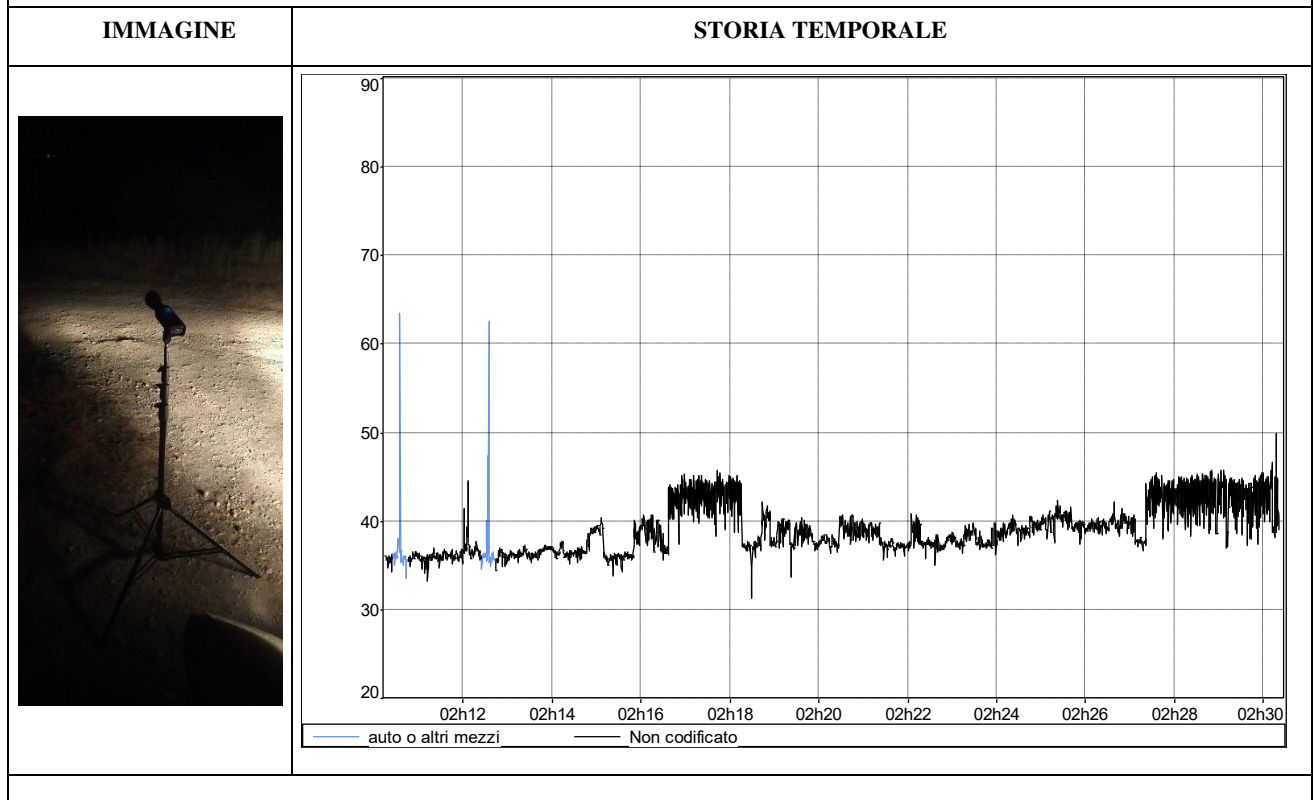
RELAZIONE PREVISIONALE DI IMPATTO ACUSTICO

| | | | | |
|--------------------------|---|-------------------------------|--|--|
| ID Misura | P6_N | descrizione | Livello di clima acustico L _R | |
| Ubicazione | Lat: 41.684440° Long: 14.989823° Livello misurato all'esterno nei pressi del Ricettore R09 (Notturmo) | | | |
| Data | 13/07/2021 | Pesatura | A | |
| Ora inizio misura | 01:36:53 | L_{eq} (dB) | 35,0 (35,0) | |
| Ora fine misura | 01:53:26 | L_{p,min} (dB) | 28,2 (28,0) | |
| Durata (min) | 16:33 | L_{p,max} (dB) | 58,6 (58,5) | |
| Cost. Integr. | Fast | L95 (dB) | 30,2 (30,0) | |

| | |
|--|---|
| IMMAGINE | STORIA TEMPORALE |
|  |  |

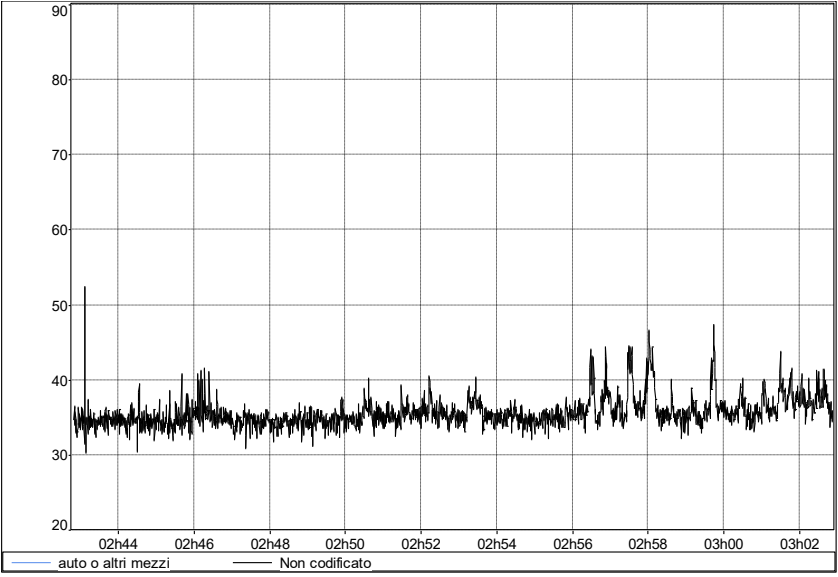
RELAZIONE PREVISIONALE DI IMPATTO ACUSTICO

| ID Misura | P7_N | descrizione | Livello di clima acustico L _R | |
|--------------------------|---|-------------------------------|--|--|
| Ubicazione | Lat: 41.674982° Long: 15.016543° - Livello misurato all'esterno nei pressi della viabilità delle WTG03,04 e 05 (Notturmo) | | | |
| Data | 13/07/2021 | Pesatura | A | |
| Ora inizio misura | 02:10:14 | L_{eq} (dB) | 40,5 (40,5) | |
| Ora fine misura | 02:30:25 | L_{p,min} (dB) | 24,0 (24,0) | |
| Durata (min) | 20:11 | L_{p,max} (dB) | 70,3 (70,5) | |
| Cost. Integr. | Fast | L95 (dB) | 35,3 (35,5) | |



RELAZIONE PREVISIONALE DI IMPATTO ACUSTICO

| | | | | |
|--------------------------|--|-------------------------------|--|--|
| ID Misura | P4_N | descrizione | Livello di clima acustico L _R | |
| Ubicazione | Lat: 41.682406° Long: 15.042089°- Livello misurato all'esterno nei pressi della viabilità della WTG09 e dei ricettori R14 e R15 (Notturmo) | | | |
| Data | 13/07/2021 | Pesatura | A | |
| Ora inizio misura | 02:42:46 | L_{eq} (dB) | 36,2 (36,0) | |
| Ora fine misura | 03:02:53 | L_{p,min} (dB) | 26,7 (26,5) | |
| Durata (min) | 20:07 | L_{p,max} (dB) | 58,3 (58,5) | |
| Cost. Integr. | Fast | L95 (dB) | 31,5 (31,5) | |

| IMMAGINE | STORIA TEMPORALE |
|--|---|
|  |  |

12 STIMA DELL'IMPATTO ACUSTICO IN FASE DI ESERCIZIO

Nel presente capitolo si procederà alla stima della rumorosità del parco eolico di nuova realizzazione, sulla base delle indicazioni tecniche fornite dal progetto. Si considererà infatti la previsione del rumore prodotto durante la fase di esercizio.

La valutazione previsionale verrà condotta facendo riferimento ai ricettori precedentemente caratterizzati. Di seguito si provvede a determinare le possibili sorgenti di rumore durante la fase di esercizio del parco eolico.

12.1 Propagazione in campo libero

I valori di potenza sonora L_w determinati per la fase di esercizio verranno fatti propagare in campo libero per la distanza dai vari ricettori posizionati nei punti, come descritto in precedenza.

Per quanto riguarda la previsione della rumorosità emessa, e stimata al ricettore potenzialmente più esposto, la direttiva 2002/49/CE relativa alla determinazione ed alla gestione del rumore ambientale, recepita in Italia dal Decreto-legge 19 Agosto 2005 n. 194, riporta come riferimento per la valutazione della rumorosità prodotta dalle attività industriali la ISO 9613-2 del 1996.

La relazione di propagazione del suono in campo libero impiegata è la seguente:

$$L_p = L_w - 20 \log_{10} r + 10 \log_{10} Q - 11$$

In cui L_p è il livello di pressione sonora stimata in corrispondenza del ricettore, L_w è il livello di potenza sonora caratteristica della sorgente di rumore, r è la distanza di propagazione tra la sorgente e il ricettore mentre Q è la direttività della sorgente.

La stima è stata effettuata impiegando il software previsionale CadnaA della Datakustik di tipo ray-tracing che modella la propagazione in campo libero delle onde sonore, al fine di giungere ad una previsione dell'impatto acustico in un'area.

Mediante lo stesso software è stato stimato il livello residuo L_R atteso al ricettore più esposto partendo dai dati di misura del clima acustico, poi il livello di pressione sonora L'_p al ricettore più esposto derivante dalla propagazione esclusivamente delle sorgenti oggetto di studio e infine il livello ambientale L_A che tiene conto della rumorosità del parco eolico, con le varie condizioni di vento, e del livello residuo sempre in prossimità dei ricettori più esposti. Queste condizioni sono state simulate considerando quanto detto al paragrafo 6- "Caratterizzazione delle sorgenti".

12.2 Fase di esercizio

Per lo studio previsionale della fase di esercizio del sito oggetto di valutazione, fondamentale per definire lo scenario futuro del rumore presso i ricettori, la metodologia operativa consiste

RELAZIONE PREVISIONALE DI IMPATTO ACUSTICO

nell'inserire, all'interno del contesto territoriale delle aree di studio, nuove sorgenti sonore dalle caratteristiche di emissione ricavate dalle schede tecniche del produttore.

Si fa presente che nella modellazione è stato considerato l'effetto cumulativo dei parchi eolici in fase di autorizzazione ed in fase di istruttoria in un buffer di circa 10 km dal presente parco (Cfr. 16 – Impatti Cumulativi con altri impianti eolici). Gli effetti cumulativi dei parchi eolici valutati, sono stati considerati come sorgenti esistenti, anche se nel buffer sopra considerato non sono presenti parchi eolici in esercizio che hanno contribuito alla determinazione del rumore residuo e del conseguenziale rumore ambientale.

La scelta dei punti è stata fatta in modo da valutare nella maniera più rappresentativa possibile il rumore persistente nell'area dovuto alle sorgenti significativamente presenti, che nella sostanza sono ascrivibili alle strade, per poter caratterizzare il rumore residuo dovuto agli effetti del vento.

Per ciascuna misura effettuata è stata infatti scorporata la componente dovuta al traffico veicolare da quella residua. Tutto il campione di dati residui è stato messo in correlazione con la velocità del vento rilevata con un anemometro all'altezza di 2 metri per identificare la relazione tra livello residuo e velocità del vento.

La tabella seguente riassume la relazione tra dati misurati e velocità del vento a 2 m. Il campione statistico comprende valori di $Leq(A)$ acquisiti con tempo di integrazione di 0,1 secondi e valori di velocità acquisiti ogni secondo. Data la sostanziale omogeneità di tipo di terreno e vegetazione del sito si è ritenuto che la direzione del vento non incida sul dato di rumore residuo raccolto.

Tabella 9 - Relazione tra dati di vento e dati misurati

| Velocità del vento [m/s] | Leq Residuo [dBA] |
|---------------------------------|--------------------------|
| 0 | 34,4 |
| 0,5 | 35,2 |
| 1 | 35,8 |
| 1,5 | 36,5 |
| 2 | 37,2 |
| 2,5 | 37,9 |
| 3 | 38,7 |
| 3,5 | 39,6 |
| 4 | 40,6 |
| 4,5 | 41,8 |
| 5 | 42,9 |
| 5,5 | 44,1 |
| 6 | 45,3 |
| 6,5 | 46,5 |
| 7 | 47,6 |
| 7,5 | 49,0 |

RELAZIONE PREVISIONALE DI IMPATTO ACUSTICO

Attraverso il campione di dati così costituito si è proceduto a graficizzare la relazione tra il livello residuo e velocità del vento sull'insieme dei campioni raccolto.

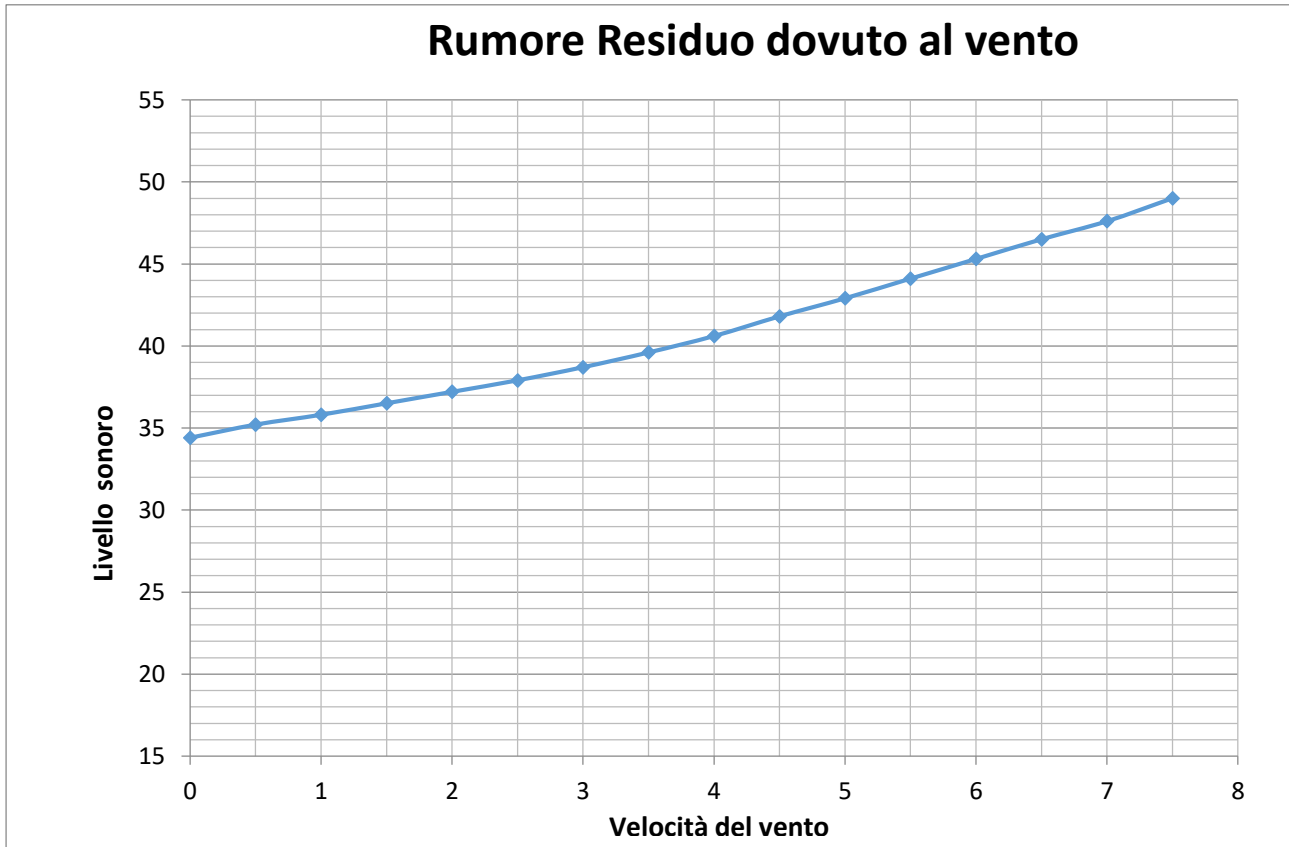


Figura 8 - Relazione tra rumore residuo e velocità del vento

Dai dati forniti dal costruttore il livello di potenza sonora L_{wA} è di 98 dBA per velocità del vento maggiori di 8 m/s (h al mozzo è 125,0 metri). La relazione che consente di convertire la velocità del vento alle varie altezze si esprime come segue:

$$V_{h1} = V_{h2} \times \left(\frac{\lg\left(\frac{h_1}{Z_0}\right)}{\lg\left(\frac{h_2}{Z_0}\right)} \right)$$

Dove h_1 e h_2 sono le altezze da confrontare, e Z_0 è il coefficiente di rugosità. Per il sito in esame si è assunto un valore di Z_0 pari a 0,05 corrispondente a “Terreni coltivati con vegetazione”.

Dai dati anemometrici disponibili sull'area in esame (Studio del potenziale eolico) si evince che le condizioni di funzionamento dell'impianto avvengono per oltre il 70% del tempo nelle condizioni di vento da NNW e vento da SSW e che la velocità media del vento all'altezza di 125 m è di 6,5 m/s.

RELAZIONE PREVISIONALE DI IMPATTO ACUSTICO

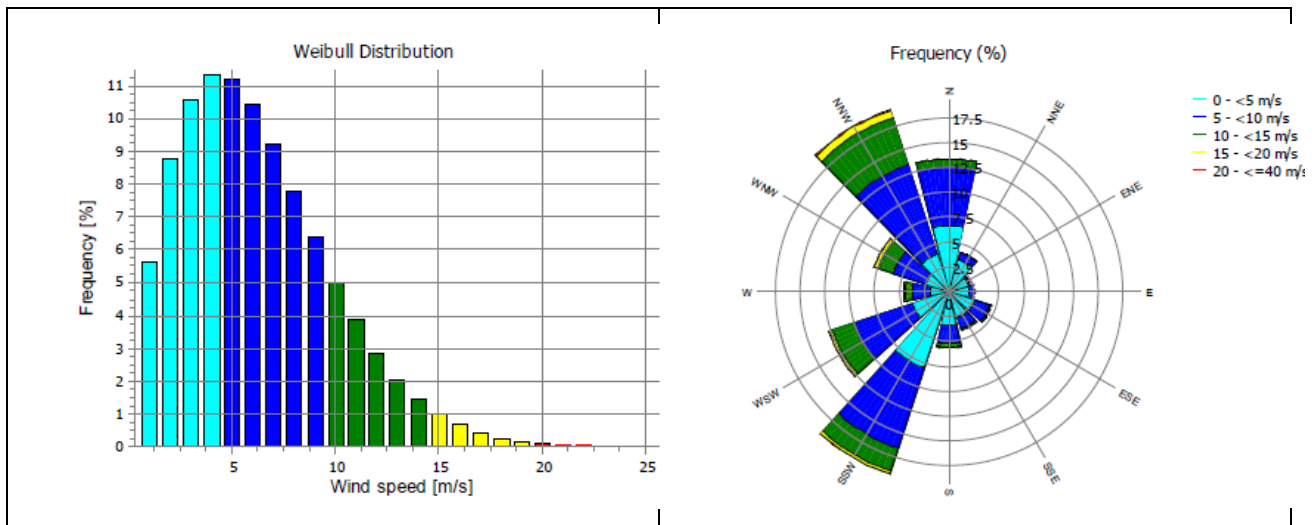


Figura 9 – Direzione prevalente del vento e dati energetici

A valle delle considerazioni sopra fatte per la verifica dei limiti si considerano le due condizioni seguenti (si considereranno le condizioni per le quali la potenza sonora raggiunge il suo valore più alto pari a 98 dBA e quindi di 8m/s a 125 metri che corrisponde a quelle più probabili):

1. Vento da NNW (330°) con velocità di 8 m/s all’hub (4 m/s a 2 m). Potenza della singola turbina eolica $L_{WA} = 98$ dBA, Rumore Residuo dovuto al vento = 40,6 dBA;
2. Vento da SSW (210°) con velocità di 8 m/s all’hub (4 m/s a 2 m). Potenza della singola turbina eolica $L_{WA} = 98$ dBA, Rumore Residuo dovuto al vento = 40,6 dBA.

Da queste considerazioni è stato possibile simulare l’impatto atteso esclusivamente dagli aerogeneratori e stimato in prossimità dei ricettori più esposti, per poi procedere alla stima del livello ambientale L_A .

Di seguito si riportano i dati emissivi dalle sorgenti, considerando il vento proveniente da NNW (330°).

Tabella 10 - Risultati simulazione rumorosità delle sorgenti ai ricettori vento da NNW

| ID Ricettore | Livello L'_A | Zonizzazione | Limite Diurno dB (A) | Limite Notturno dB (A) | Conformità |
|--------------|----------------|---------------------------------|-------------------------|---------------------------|------------|
| | dB (A) | Zona | | | |
| R01 | 10.3 | “Tutto il territorio Nazionale” | 70 | 60 | ok |
| R02 | 11.6 | “Tutto il territorio Nazionale” | 70 | 60 | ok |
| R03 | 13.7 | “Tutto il territorio Nazionale” | 70 | 60 | ok |

RELAZIONE PREVISIONALE DI IMPATTO ACUSTICO

| ID Ricettore | Livello L'A | Zonizzazione | Limite Diurno | Limite Notturno | Conformità |
|--------------|-------------|---------------------------------|---------------|-----------------|------------|
| | dB (A) | Zona | dB (A) | dB (A) | |
| R04 | 24.8 | “Tutto il territorio Nazionale” | 70 | 60 | ok |
| R05 | 32.5 | “Tutto il territorio Nazionale” | 70 | 60 | ok |
| R06 | 35.5 | “Tutto il territorio Nazionale” | 70 | 60 | ok |
| R07 | 34.6 | “Tutto il territorio Nazionale” | 70 | 60 | ok |
| R08 | 15.5 | “Tutto il territorio Nazionale” | 70 | 60 | ok |
| R09 | 14.2 | “Tutto il territorio Nazionale” | 70 | 60 | ok |
| R10 | 13.4 | “Tutto il territorio Nazionale” | 70 | 60 | ok |
| R11 | 38.6 | “Tutto il territorio Nazionale” | 70 | 60 | ok |
| R12 | 24.6 | “Tutto il territorio Nazionale” | 70 | 60 | ok |
| R13 | 35.8 | “Tutto il territorio Nazionale” | 70 | 60 | ok |
| R14 | 35.8 | “Tutto il territorio Nazionale” | 70 | 60 | ok |
| R15 | 36.4 | “Tutto il territorio Nazionale” | 70 | 60 | ok |
| R16 | 19.7 | “Tutto il territorio Nazionale” | 70 | 60 | ok |
| R17 | 35.3 | “Tutto il territorio Nazionale” | 70 | 60 | ok |

RELAZIONE PREVISIONALE DI IMPATTO ACUSTICO

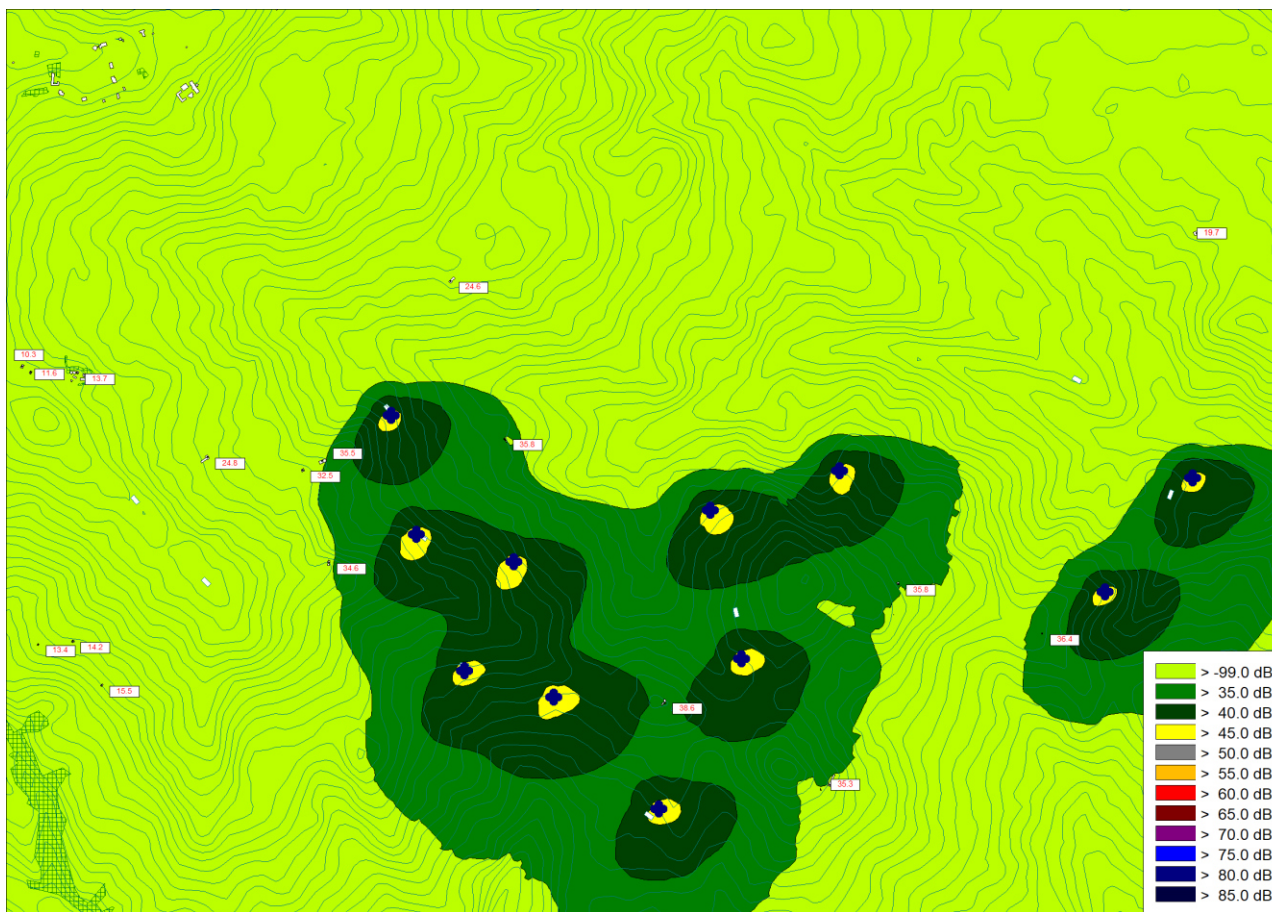


Figura 10 - Rumore emissivo vento proveniente da NNW (330°)

RELAZIONE PREVISIONALE DI IMPATTO ACUSTICO

Di seguito si riportano i dati emissivi dalle sorgenti, considerando il vento proveniente da SSW (210°).

Tabella 11 - Risultati simulazione rumorosità delle sorgenti ai ricettori vento da SSW (210°)

| ID Ricettore | Livello L'A | Zonizzazione | Limite Diurno | Limite Notturno | Conformità |
|--------------|-------------|---------------------------------|---------------|-----------------|------------|
| | dB (A) | Zona | dB (A) | dB (A) | |
| R01 | 13.7 | “Tutto il territorio Nazionale” | 70 | 60 | ok |
| R02 | 14.9 | “Tutto il territorio Nazionale” | 70 | 60 | ok |
| R03 | 16.1 | “Tutto il territorio Nazionale” | 70 | 60 | ok |
| R04 | 27.2 | “Tutto il territorio Nazionale” | 70 | 60 | ok |
| R05 | 32.6 | “Tutto il territorio Nazionale” | 70 | 60 | ok |
| R06 | 35.3 | “Tutto il territorio Nazionale” | 70 | 60 | ok |
| R07 | 30.2 | “Tutto il territorio Nazionale” | 70 | 60 | ok |
| R08 | 12.3 | “Tutto il territorio Nazionale” | 70 | 60 | ok |
| R09 | 11.4 | “Tutto il territorio Nazionale” | 70 | 60 | ok |
| R10 | 10.2 | “Tutto il territorio Nazionale” | 70 | 60 | ok |
| R11 | 38.8 | “Tutto il territorio Nazionale” | 70 | 60 | ok |
| R12 | 36.0 | “Tutto il territorio Nazionale” | 70 | 60 | ok |
| R13 | 39.6 | “Tutto il territorio Nazionale” | 70 | 60 | ok |

RELAZIONE PREVISIONALE DI IMPATTO ACUSTICO

| ID Ricettore | Livello L'A | Zonizzazione | Limite Diurno dB (A) | Limite Notturno dB (A) | Conformità |
|--------------|-------------|---------------------------------|-------------------------|---------------------------|------------|
| | dB (A) | Zona | | | |
| R14 | 30.6 | “Tutto il territorio Nazionale” | 70 | 60 | ok |
| R15 | 29.6 | “Tutto il territorio Nazionale” | 70 | 60 | ok |
| R16 | 30.4 | “Tutto il territorio Nazionale” | 70 | 60 | ok |
| R17 | 28.9 | “Tutto il territorio Nazionale” | 70 | 60 | ok |

RELAZIONE PREVISIONALE DI IMPATTO ACUSTICO

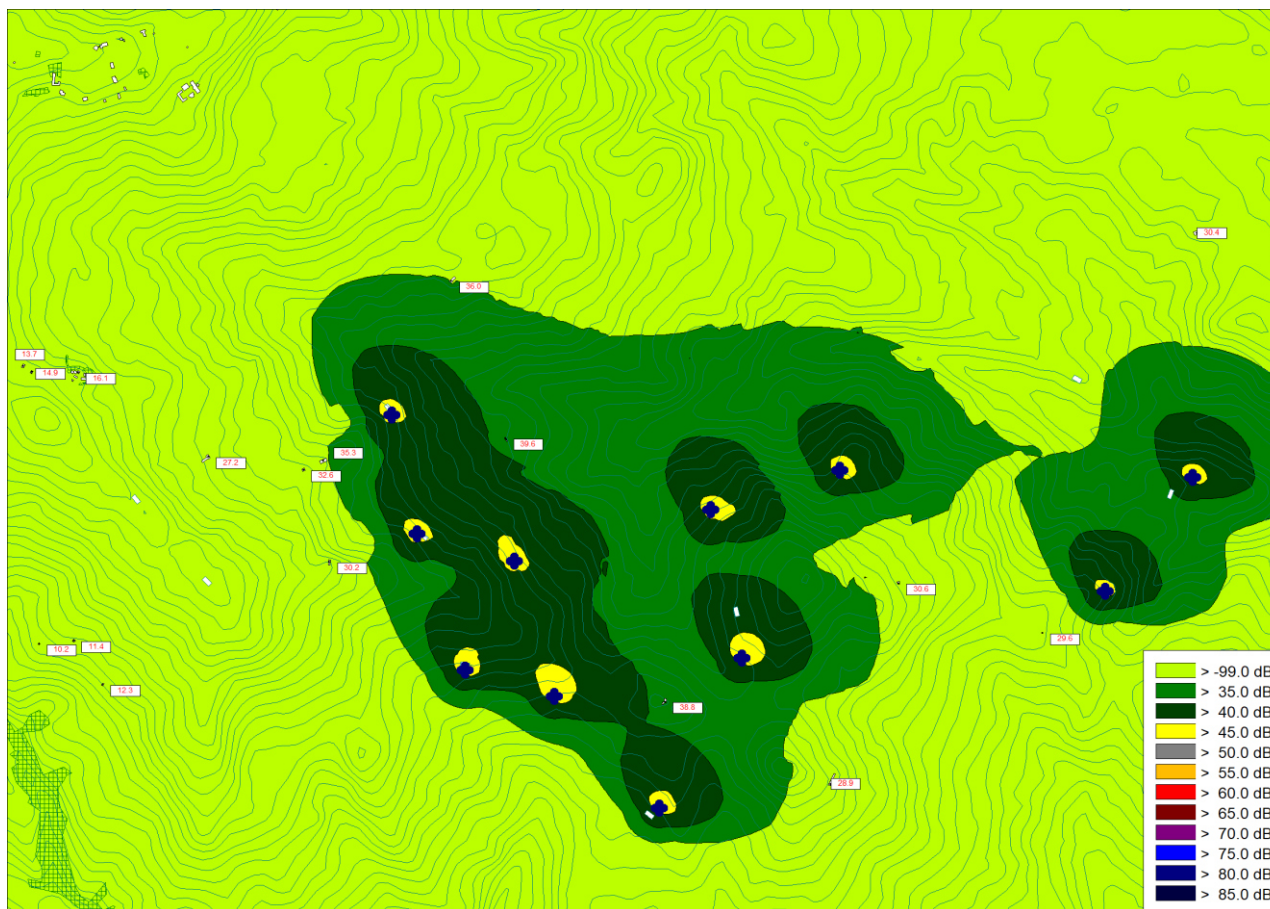


Figura 11 - Rumore emissivo vento proveniente da SSW (210°)

RELAZIONE PREVISIONALE DI IMPATTO ACUSTICO

Tali valori sono derivanti dalla simulazione acustica della rumorosità attesa esclusivamente dagli aerogeneratori e stimata in prossimità dei ricettori più esposti, quindi è necessario sommarli energeticamente con i valori stimati di livello residuo L_R ottenuto mediante il software di simulazione acustica e dai dati di clima acustico misurati in campo.

Pertanto, si riportano di seguito dapprima i valori così stimati presso i ricettori più esposti nel periodo diurno e notturno con vento proveniente da NNW (330°):

Tabella 12 - Risultati Simulazione e calibrazione livello residuo nel periodo diurno (06–22) e notturno (22-06) Vento NNW (330°)

| ID Ricettore | Livello L' _r Diurno | Livello L' _r Notturno | Zonizzazione | Limite Diurno | Limite Notturno | Conformità |
|--------------|-----------------------------------|-------------------------------------|---------------------------------|------------------|--------------------|------------|
| | dB (A) | dB (A) | Zona | dB (A) | dB (A) | |
| R01 | 44,0 | 41,3 | “Tutto il territorio Nazionale” | 70 | 60 | ok |
| R02 | 45,9 | 42,0 | “Tutto il territorio Nazionale” | 70 | 60 | ok |
| R03 | 41,5 | 40,8 | “Tutto il territorio Nazionale” | 70 | 60 | ok |
| R04 | 45,1 | 41,7 | “Tutto il territorio Nazionale” | 70 | 60 | ok |
| R05 | 41,0 | 40,7 | “Tutto il territorio Nazionale” | 70 | 60 | ok |
| R06 | 40,9 | 40,7 | “Tutto il territorio Nazionale” | 70 | 60 | ok |
| R07 | 41,5 | 40,8 | “Tutto il territorio Nazionale” | 70 | 60 | ok |
| R08 | 41,3 | 40,8 | “Tutto il territorio Nazionale” | 70 | 60 | ok |
| R09 | 44,5 | 41,5 | “Tutto il territorio Nazionale” | 70 | 60 | ok |

RELAZIONE PREVISIONALE DI IMPATTO ACUSTICO

| ID Ricettore | Livello L' _r Diurno | Livello L' _r Notturmo | Zonizzazione | Limite Diurno | Limite Notturmo | Conformità |
|--------------|-----------------------------------|-------------------------------------|---------------------------------|------------------|--------------------|------------|
| | dB (A) | dB (A) | Zona | dB (A) | dB (A) | |
| R10 | 41,1 | 40,7 | “Tutto il territorio Nazionale” | 70 | 60 | ok |
| R11 | 43,5 | 41,3 | “Tutto il territorio Nazionale” | 70 | 60 | ok |
| R12 | 42,9 | 41,1 | “Tutto il territorio Nazionale” | 70 | 60 | ok |
| R13 | 40,7 | 40,6 | “Tutto il territorio Nazionale” | 70 | 60 | ok |
| R14 | 40,8 | 40,6 | “Tutto il territorio Nazionale” | 70 | 60 | ok |
| R15 | 41,8 | 40,9 | “Tutto il territorio Nazionale” | 70 | 60 | ok |
| R16 | 40,9 | 40,7 | “Tutto il territorio Nazionale” | 70 | 60 | ok |
| R17 | 40,9 | 40,7 | “Tutto il territorio Nazionale” | 70 | 60 | ok |

RELAZIONE PREVISIONALE DI IMPATTO ACUSTICO

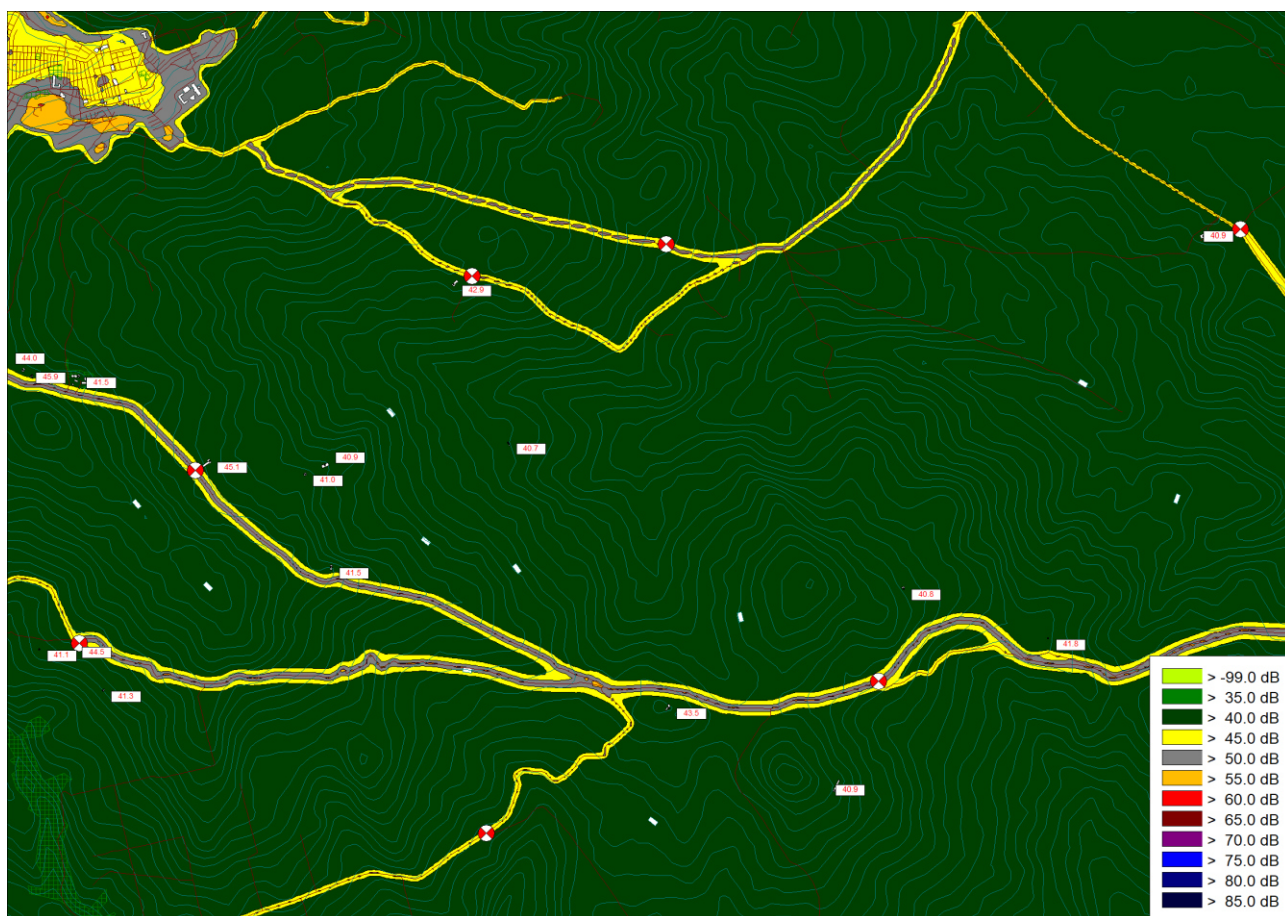


Figura 12 - Stima del livello residuo diurno (06:00 – 22:00) e vento proveniente da NNW (330°)

RELAZIONE PREVISIONALE DI IMPATTO ACUSTICO

NNW (330°)



Figura 13 - Stima del livello residuo notturno (22:00 – 06:00) e vento proveniente da NNW (330°)

Si riportano i valori così stimati presso i ricettori più esposti nel periodo diurno e notturno con vento proveniente da Sud:

Tabella 13 - Risultati Simulazione e calibrazione livello residuo nel periodo diurno (06– 22) e notturno (22-06) Vento SSW (210°)

| ID Ricettore | Livello L'r Diurno | Livello L'r Notturno | Zonizzazione | Limite Diurno | Limite Notturno | Conformità |
|--------------|-----------------------|-------------------------|---------------------------------|------------------|--------------------|------------|
| | dB (A) | dB (A) | Zona | dB (A) | dB (A) | |
| R01 | 44,0 | 41,3 | “Tutto il territorio Nazionale” | 70 | 60 | ok |
| R02 | 45,9 | 42,0 | “Tutto il territorio Nazionale” | 70 | 60 | ok |
| R03 | 41,5 | 40,8 | “Tutto il territorio Nazionale” | 70 | 60 | ok |

RELAZIONE PREVISIONALE DI IMPATTO ACUSTICO

| ID Ricettore | Livello L' _r Diurno | Livello L' _r Notturmo | Zonizzazione | Limite Diurno | Limite Notturmo | Conformità |
|--------------|-----------------------------------|-------------------------------------|---------------------------------|------------------|--------------------|------------|
| | dB (A) | dB (A) | Zona | dB (A) | dB (A) | |
| R04 | 45,1 | 41,7 | “Tutto il territorio Nazionale” | 70 | 60 | ok |
| R05 | 41,0 | 40,7 | “Tutto il territorio Nazionale” | 70 | 60 | ok |
| R06 | 40,9 | 40,7 | “Tutto il territorio Nazionale” | 70 | 60 | ok |
| R07 | 41,5 | 40,8 | “Tutto il territorio Nazionale” | 70 | 60 | ok |
| R08 | 41,3 | 40,8 | “Tutto il territorio Nazionale” | 70 | 60 | ok |
| R09 | 44,5 | 41,5 | “Tutto il territorio Nazionale” | 70 | 60 | ok |
| R10 | 41,1 | 40,7 | “Tutto il territorio Nazionale” | 70 | 60 | ok |
| R11 | 43,5 | 41,3 | “Tutto il territorio Nazionale” | 70 | 60 | ok |
| R12 | 42,9 | 41,1 | “Tutto il territorio Nazionale” | 70 | 60 | ok |
| R13 | 40,7 | 40,6 | “Tutto il territorio Nazionale” | 70 | 60 | ok |
| R14 | 40,8 | 40,6 | “Tutto il territorio Nazionale” | 70 | 60 | ok |
| R15 | 41,8 | 40,9 | “Tutto il territorio Nazionale” | 70 | 60 | ok |

RELAZIONE PREVISIONALE DI IMPATTO ACUSTICO

| ID Ricettore | Livello L' _r Diurno | Livello L' _r Notturmo | Zonizzazione | Limite Diurno | Limite Notturmo | Conformità |
|--------------|-----------------------------------|-------------------------------------|---------------------------------|------------------|--------------------|------------|
| | dB (A) | dB (A) | Zona | dB (A) | dB (A) | |
| R16 | 40,9 | 40,7 | “Tutto il territorio Nazionale” | 70 | 60 | ok |
| R17 | 40,9 | 40,7 | “Tutto il territorio Nazionale” | 70 | 60 | ok |

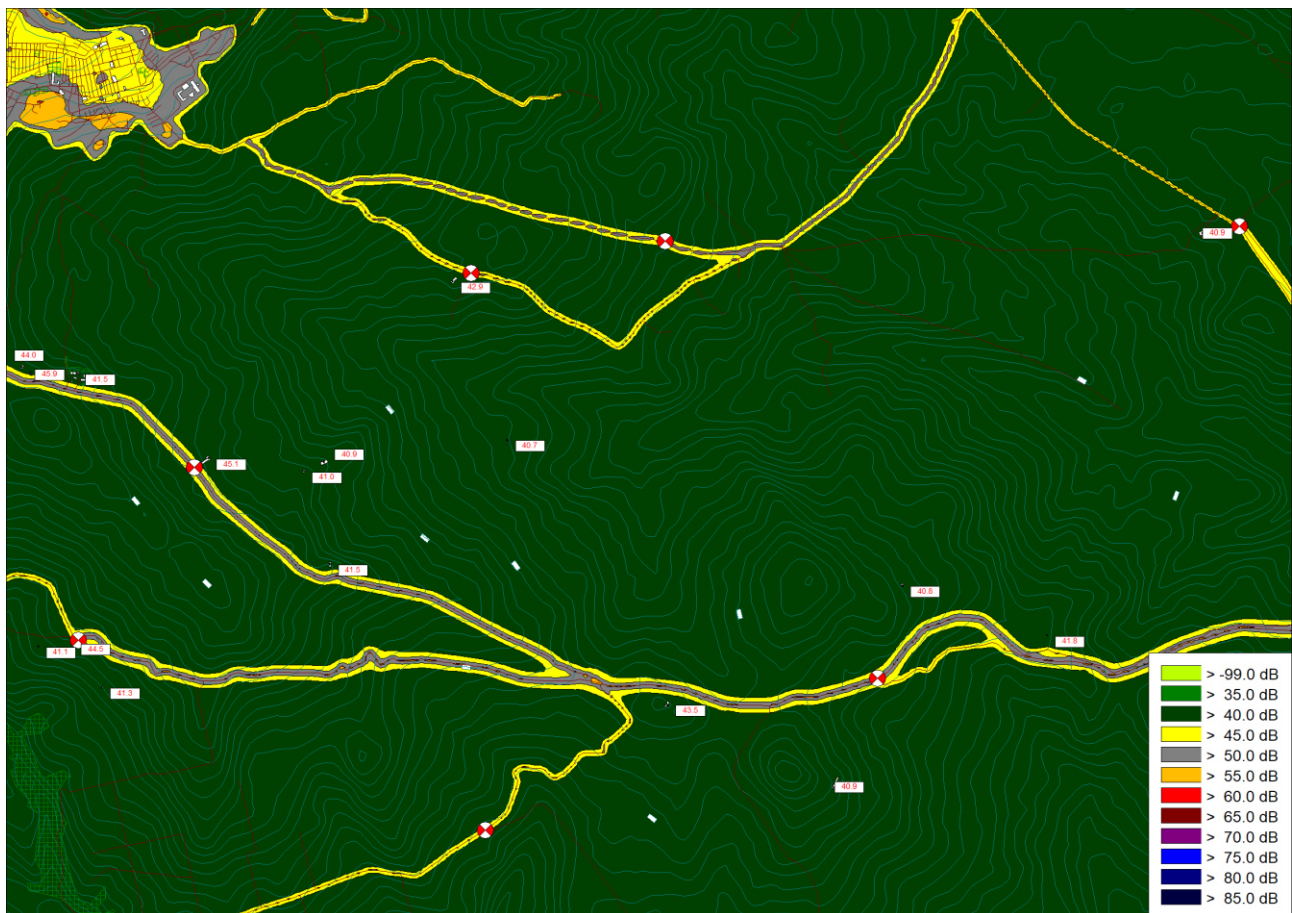


Figura 14 - Stima del livello residuo diurno (06:00 – 22:00) e vento proveniente da SSW (210°)

RELAZIONE PREVISIONALE DI IMPATTO ACUSTICO



Figura 15 - Stima del livello residuo notturno (22:00 – 06:00) e vento proveniente da SSW (210°)

Quindi, al fine di rendere confrontabili ed omogeneizzare i valori del livello residuo L_R stimati con quelli derivanti dal modello di propagazione in campo libero chiamati L'_P , si è svolta una somma energetica tra i due livelli sopra indicati.

Tale somma dei livelli derivanti dal modello costituirà il valore del livello ambientale L_A e sarà svolta secondo la seguente relazione:

$$L_A = 10 * \log_{10} \left[10^{\frac{L_R}{10}} + 10^{\frac{L'_P}{10}} \right]$$

Di seguito si riporta il livello di rumorosità ambientale L_A , relativo all'esercizio degli aerogeneratori, stimato ai ricettori, derivante dalla calibrazione del modello matematico ISO 9613-2 1996 secondo la relazione sopra indicata e nelle due configurazioni di vento:

RELAZIONE PREVISIONALE DI IMPATTO ACUSTICO

Tabella 14 - Simulazione rumorosità parco eolico sommata con livello residuo con vento da NNW (330°)

| Vento NNW (330°) | | |
|-------------------------|--------------------|--------------------|
| ID Ricettore | Livello Ambientale | Livello Ambientale |
| | dB (A) | dB (A) |
| | DIURNO | NOTTURNO |
| R01 | 44,1 | 41,4 |
| R02 | 45,9 | 42,0 |
| R03 | 41,8 | 40,9 |
| R04 | 45,2 | 41,8 |
| R05 | 41,5 | 41,3 |
| R06 | 41,9 | 41,8 |
| R07 | 42,0 | 41,7 |
| R08 | 41,3 | 40,8 |
| R09 | 44,5 | 41,5 |
| R10 | 41,1 | 40,7 |
| R11 | 44,7 | 43,2 |
| R12 | 43,0 | 41,1 |
| R13 | 41,9 | 41,8 |
| R14 | 41,9 | 41,8 |
| R15 | 42,4 | 42,0 |
| R16 | 40,9 | 40,7 |
| R17 | 41,9 | 41,8 |

RELAZIONE PREVISIONALE DI IMPATTO ACUSTICO

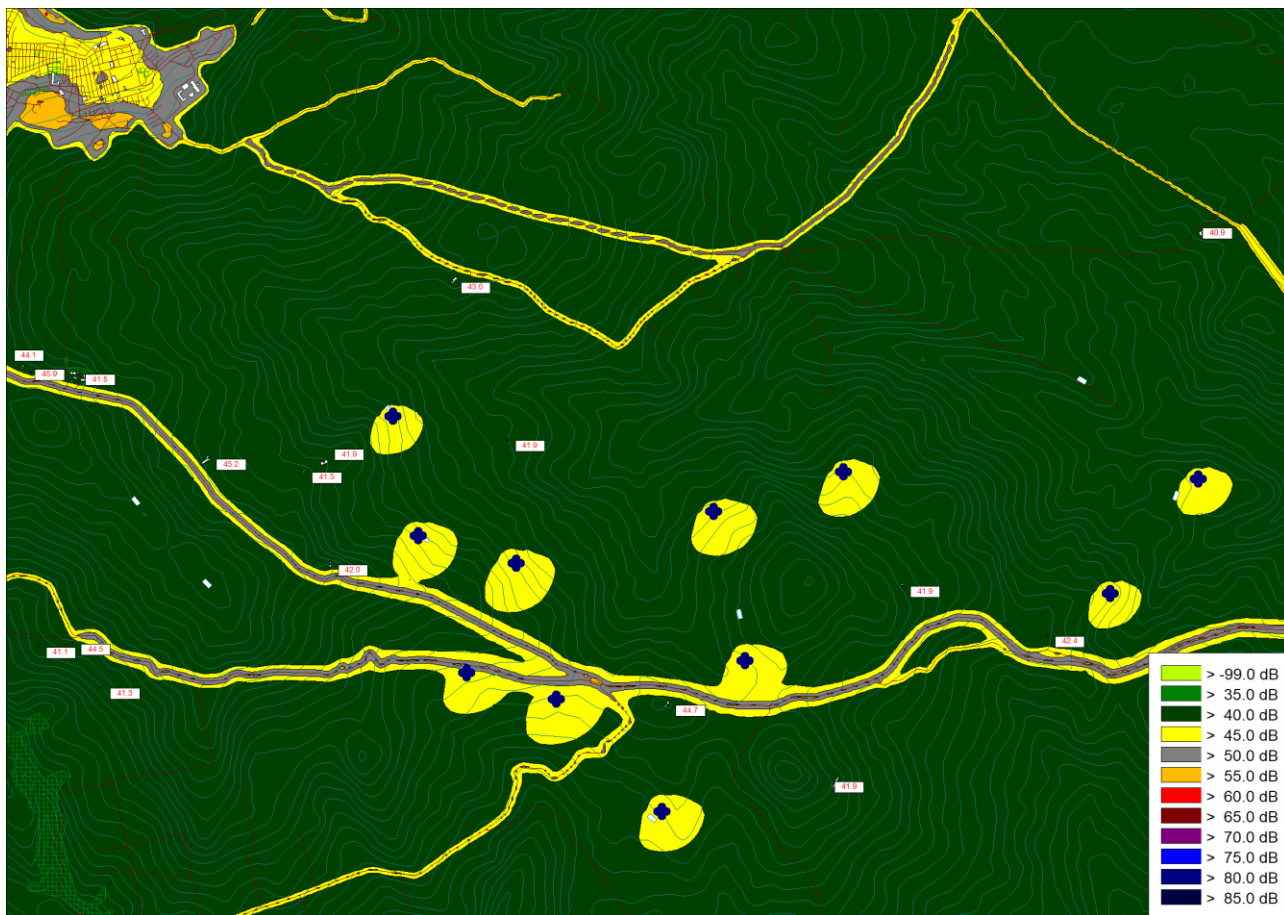


Figura 16 - Simulazione rumorosità parco eolico sommata con livello residuo con vento da NNW (330°) – DIURNO

RELAZIONE PREVISIONALE DI IMPATTO ACUSTICO

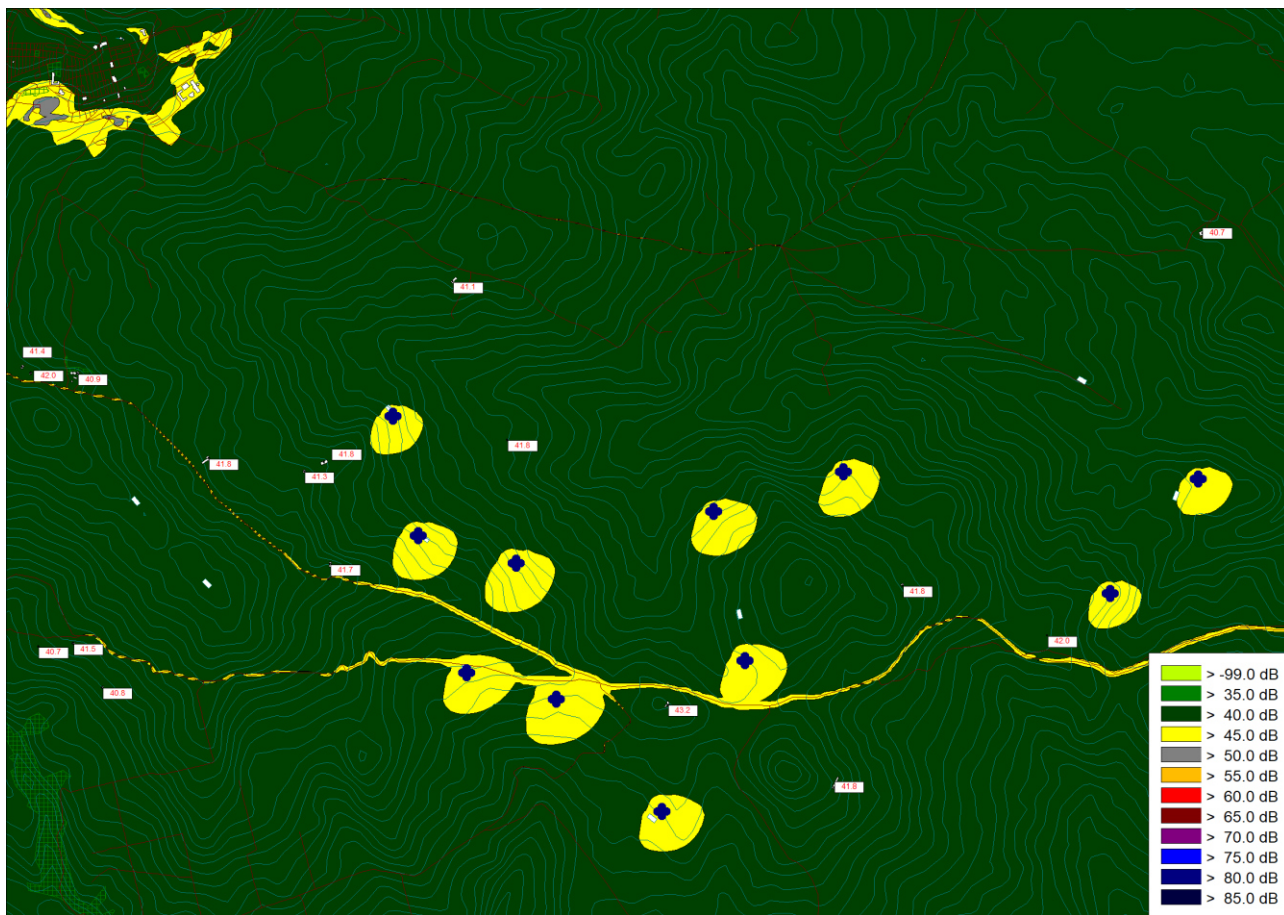


Figura 17 - Simulazione rumorosità parco eolico sommata con livello residuo con vento da NNW (330°) – NOTTURNO

Tabella 15 - Simulazione rumorosità parco eolico sommata con livello residuo con vento da SSW (210°)

| Vento SSW (210°) | | |
|------------------|--------------------|--------------------|
| ID Ricettore | Livello Ambientale | Livello Ambientale |
| | dB (A) | dB (A) |
| | DIURNO | NOTTURNO |
| R01 | 44,0 | 41,3 |
| R02 | 45,9 | 42,0 |
| R03 | 41,5 | 40,8 |
| R04 | 45,1 | 41,7 |
| R05 | 41,4 | 41,2 |
| R06 | 41,8 | 41,7 |

RELAZIONE PREVISIONALE DI IMPATTO ACUSTICO

| | | |
|------------|------|------|
| R07 | 41,6 | 41,1 |
| R08 | 41,3 | 40,8 |
| R09 | 44,5 | 41,5 |
| R10 | 41,1 | 40,7 |
| R11 | 44,0 | 42,8 |
| R12 | 43,0 | 41,8 |
| R13 | 43,1 | 43,1 |
| R14 | 41,1 | 41,0 |
| R15 | 41,9 | 41,1 |
| R16 | 41,0 | 40,9 |
| R17 | 41,1 | 40,9 |

RELAZIONE PREVISIONALE DI IMPATTO ACUSTICO

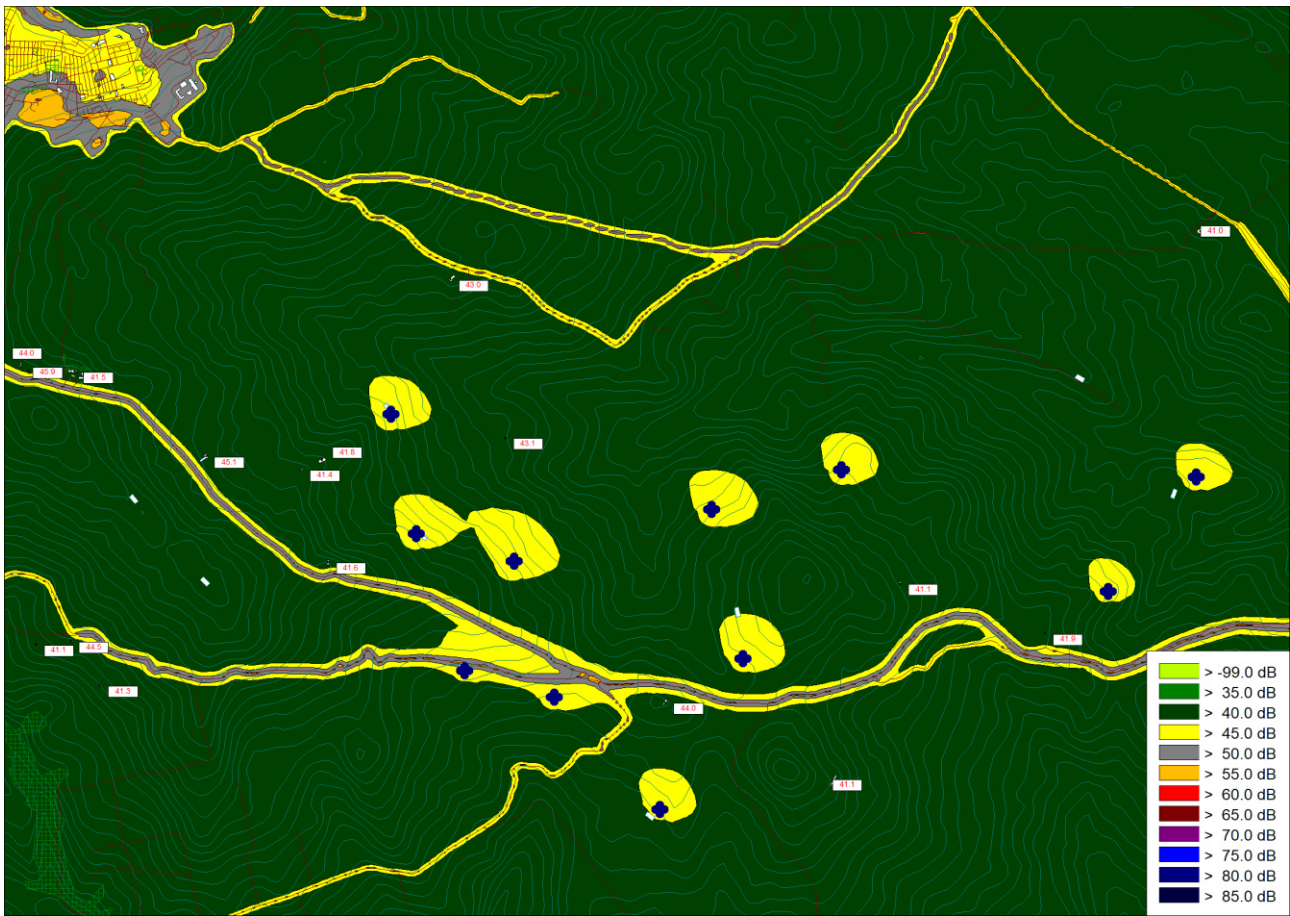


Figura 18 - Simulazione rumorosità parco eolico sommata con livello residuo con vento da SSW (210°) – DIURNO

RELAZIONE PREVISIONALE DI IMPATTO ACUSTICO



Figura 19 - Simulazione rumorosità parco eolico sommata con livello residuo con vento da SSW (210°) – NOTTURNO

13 RISPETTO DEI LIMITI ASSOLUTI DI IMMISSIONE E DEL CRITERIO DIFFERENZIALE

I limiti massimi assoluti di immissione, cui fare riferimento nella valutazione previsionale d’impatto acustico, sono contenuti nell’art. 6 del D.P.C.M. del 01/03/1991 “Limiti massimi di esposizione al rumore negli ambienti abitativi e nell’ambiente esterno”.

Nelle tabelle di seguito sono riportati i livelli ambientali L_A stimati, al fine di valutare l’immissione acustica ai ricettori oggetto delle presenti valutazioni.

Di seguito si riportano i dati provenienti dalla simulazione confrontati ai limiti di immissione di cui all’art. 6 del D.P.C.M. del 01/03/1991, considerando il vento proveniente da NNW (330°):

RELAZIONE PREVISIONALE DI IMPATTO ACUSTICO

Tabella 16 - Risultati Simulazione rumorosità parco eolico vento da NNW (330°) e confronto con limiti normativi

| ID Ricettore | Livello L'A | Livello L'A | Zonizzazione | Limite Diurno dB (A) | Limite Notturno dB (A) | Conformità |
|--------------|------------------|--------------------|---------------------------------|----------------------|------------------------|------------|
| | dB (A) DIURNO | dB (A) NOTTURNO | Zona | | | |
| R01 | 44,1 | 41,4 | “Tutto il territorio Nazionale” | 70 | 60 | ok |
| R02 | 45,9 | 42,0 | “Tutto il territorio Nazionale” | 70 | 60 | ok |
| R03 | 41,8 | 40,9 | “Tutto il territorio Nazionale” | 70 | 60 | ok |
| R04 | 45,2 | 41,8 | “Tutto il territorio Nazionale” | 70 | 60 | ok |
| R05 | 41,5 | 41,3 | “Tutto il territorio Nazionale” | 70 | 60 | ok |
| R06 | 41,9 | 41,8 | “Tutto il territorio Nazionale” | 70 | 60 | ok |
| R07 | 42,0 | 41,7 | “Tutto il territorio Nazionale” | 70 | 60 | ok |
| R08 | 41,3 | 40,8 | “Tutto il territorio Nazionale” | 70 | 60 | ok |
| R09 | 44,5 | 41,5 | “Tutto il territorio Nazionale” | 70 | 60 | ok |
| R10 | 41,1 | 40,7 | “Tutto il territorio Nazionale” | 70 | 60 | ok |

RELAZIONE PREVISIONALE DI IMPATTO ACUSTICO

| ID Ricettore | Livello L'A | Livello L'A | Zonizzazione | Limite Diurno dB (A) | Limite Notturno dB (A) | Conformità |
|--------------|------------------|--------------------|---------------------------------|----------------------|------------------------|------------|
| | dB (A) DIURNO | dB (A) NOTTURNO | Zona | | | |
| R11 | 44,7 | 43,2 | “Tutto il territorio Nazionale” | 70 | 60 | ok |
| R12 | 43,0 | 41,1 | “Tutto il territorio Nazionale” | 70 | 60 | ok |
| R13 | 41,9 | 41,8 | “Tutto il territorio Nazionale” | 70 | 60 | ok |
| R14 | 41,9 | 41,8 | “Tutto il territorio Nazionale” | 70 | 60 | ok |
| R15 | 42,4 | 42,0 | “Tutto il territorio Nazionale” | 70 | 60 | ok |
| R16 | 40,9 | 40,7 | “Tutto il territorio Nazionale” | 70 | 60 | ok |
| R17 | 41,9 | 41,8 | “Tutto il territorio Nazionale” | 70 | 60 | ok |

Allo stesso modo si riportano i dati provenienti dalla simulazione confrontati ai limiti di immissione di cui all'art. 6 del D.P.C.M. del 01/03/1991 , considerando il vento proveniente da SSW (210°):

RELAZIONE PREVISIONALE DI IMPATTO ACUSTICO

Tabella 17 - Risultati Simulazione rumorosità parco eolico vento da SSW (210°) e confronto con limiti normativi

| ID Ricettore | Livello L'A | Livello L'A | Zonizzazione | Limite Diurno dB (A) | Limite Notturno dB (A) | Conformità |
|--------------|------------------|--------------------|---------------------------------|----------------------|------------------------|------------|
| | dB (A) DIURNO | dB (A) NOTTURNO | Zona | | | |
| R01 | 44,0 | 41,3 | “Tutto il territorio Nazionale” | 70 | 60 | ok |
| R02 | 45,9 | 42,0 | “Tutto il territorio Nazionale” | 70 | 60 | ok |
| R03 | 41,5 | 40,8 | “Tutto il territorio Nazionale” | 70 | 60 | ok |
| R04 | 45,1 | 41,7 | “Tutto il territorio Nazionale” | 70 | 60 | ok |
| R05 | 41,4 | 41,2 | “Tutto il territorio Nazionale” | 70 | 60 | ok |
| R06 | 41,8 | 41,7 | “Tutto il territorio Nazionale” | 70 | 60 | ok |
| R07 | 41,6 | 41,1 | “Tutto il territorio Nazionale” | 70 | 60 | ok |
| R08 | 41,3 | 40,8 | “Tutto il territorio Nazionale” | 70 | 60 | ok |
| R09 | 44,5 | 41,5 | “Tutto il territorio Nazionale” | 70 | 60 | ok |
| R10 | 41,1 | 40,7 | “Tutto il territorio Nazionale” | 70 | 60 | ok |

RELAZIONE PREVISIONALE DI IMPATTO ACUSTICO

| ID Ricettore | Livello L'A | Livello L'A | Zonizzazione | Limite Diurno dB (A) | Limite Notturno dB (A) | Conformità |
|--------------|---------------|-----------------|---------------------------------|----------------------|------------------------|------------|
| | dB (A) DIURNO | dB (A) NOTTURNO | Zona | | | |
| R11 | 44,0 | 42,8 | “Tutto il territorio Nazionale” | 70 | 60 | ok |
| R12 | 43,0 | 41,8 | “Tutto il territorio Nazionale” | 70 | 60 | ok |
| R13 | 43,1 | 43,1 | “Tutto il territorio Nazionale” | 70 | 60 | ok |
| R14 | 41,1 | 41,0 | “Tutto il territorio Nazionale” | 70 | 60 | ok |
| R15 | 41,9 | 41,1 | “Tutto il territorio Nazionale” | 70 | 60 | ok |
| R16 | 41,0 | 40,9 | “Tutto il territorio Nazionale” | 70 | 60 | ok |
| R17 | 41,1 | 40,9 | “Tutto il territorio Nazionale” | 70 | 60 | ok |

Com'è possibile notare, i valori stimati dal modello matematico ai ricettori risultano essere sensibilmente bassi tanto da non modificare il livello residuo stimato mediante modello matematico al ricettore più esposto.

Inoltre, occorre ricordare che è stato considerato un unico scenario di funzionamento delle sorgenti, in continuo h24 e funzionanti contemporaneamente che rappresenta la condizione peggiore dal punto di vista dell'emissione di rumore per cui permette di agire a vantaggio di sicurezza. Per tale motivo è ragionevole pensare che i livelli di rumorosità attesi ai ricettori nella realtà

RELAZIONE PREVISIONALE DI IMPATTO ACUSTICO

potrebbero essere ben al di sotto di quelli stimati dal modello e pertanto rientrano al di sotto dei limiti massimi assoluti di immissione, contenuti nell'art. 6 del D.P.C.M. del 01/03/1991.

Per completezza si riporta il valore del differenziale di rumore L_D così calcolato per ogni ricettore, dai valori ottenuti dalla simulazione:

$$L_D = L_A - L_R$$

Dove:

L_A = livello di rumore ambientale

L_R = livello di rumore residuo

Il livello differenziale di rumore non deve superare i seguenti valori limite differenziali di immissione (art. 4, comma 1 del DPCM 14/11/97):

- 5 dB(A) per il periodo diurno (6-22);
- 3 dB(A) per il periodo notturno (22-6).

Di seguito di riportano i risultati ottenuti, nelle due configurazioni di vento:

Tabella 18 - Simulazione rumorosità parco eolico sommata con livello residuo con vento da NNW (330°)

| Vento da NNW (330°) | | | | | | | | |
|---------------------|--------------------|-----------------|---------------|------------|--------------------|-----------------|---------------|------------|
| ID Ricettore | Diurno | | | | Notturno | | | |
| | Livello Ambientale | Livello Residuo | Differenziale | Conformità | Livello Ambientale | Livello Residuo | Differenziale | Conformità |
| R01 | 44,1 | 44,0 | 0,1 | ok | 41,4 | 41,3 | 0,1 | ok |
| R02 | 45,9 | 45,9 | 0,0 | ok | 42,0 | 42,0 | 0,0 | ok |
| R03 | 41,8 | 41,5 | 0,3 | ok | 40,9 | 40,8 | 0,1 | ok |
| R04 | 45,2 | 45,1 | 0,1 | ok | 41,8 | 41,7 | 0,1 | ok |
| R05 | 41,5 | 41,0 | 0,5 | ok | 41,3 | 40,7 | 0,6 | ok |
| R06 | 41,9 | 40,9 | 1,0 | ok | 41,8 | 40,7 | 1,1 | ok |
| R07 | 42,0 | 41,5 | 0,5 | ok | 41,7 | 40,8 | 0,9 | ok |
| R08 | 41,3 | 41,3 | 0,0 | ok | 40,8 | 40,8 | 0,0 | ok |
| R09 | 44,5 | 44,5 | 0,0 | ok | 41,5 | 41,5 | 0,0 | ok |

RELAZIONE PREVISIONALE DI IMPATTO ACUSTICO

| Vento da NNW (330°) | | | | | | | | |
|---------------------|-----------------------|--------------------|---------------|------------|-----------------------|--------------------|---------------|------------|
| ID Ricettore | Diurno | | | | Notturmo | | | |
| | Livello Ambientale | Livello Residuo | Differenziale | Conformità | Livello Ambientale | Livello Residuo | Differenziale | Conformità |
| R10 | 41,1 | 41,1 | 0,0 | ok | 40,7 | 40,7 | 0,0 | ok |
| R11 | 44,7 | 43,5 | 1,2 | ok | 43,2 | 41,3 | 1,9 | ok |
| R12 | 43,0 | 42,9 | 0,1 | ok | 41,1 | 41,1 | 0,0 | ok |
| R13 | 41,9 | 40,7 | 1,2 | ok | 41,8 | 40,6 | 1,2 | ok |
| R14 | 41,9 | 40,8 | 1,1 | ok | 41,8 | 40,6 | 1,2 | ok |
| R15 | 42,4 | 41,8 | 0,6 | ok | 42,0 | 40,9 | 1,1 | ok |
| R16 | 40,9 | 40,9 | 0,0 | ok | 40,7 | 40,7 | 0,0 | ok |
| R17 | 41,9 | 40,9 | 1,0 | ok | 41,8 | 40,7 | 1,1 | ok |

RELAZIONE PREVISIONALE DI IMPATTO ACUSTICO

Tabella 19 - Simulazione rumorosità parco eolico sommata con livello residuo con vento da SSW (210°)

| Vento da SSW (210°) | | | | | | | | |
|---------------------|--------------------|-----------------|---------------|------------|--------------------|-----------------|---------------|------------|
| ID Ricettore | Diurno | | | | Notturno | | | |
| | Livello Ambientale | Livello Residuo | Differenziale | Conformità | Livello Ambientale | Livello Residuo | Differenziale | Conformità |
| R01 | 44,0 | 44,0 | 0,0 | ok | 41,3 | 41,3 | 0,0 | ok |
| R02 | 45,9 | 45,9 | 0,0 | ok | 42,0 | 42,0 | 0,0 | ok |
| R03 | 41,5 | 41,5 | 0,0 | ok | 40,8 | 40,8 | 0,0 | ok |
| R04 | 45,1 | 45,1 | 0,0 | ok | 41,7 | 41,7 | 0,0 | ok |
| R05 | 41,4 | 41,0 | 0,4 | ok | 41,2 | 40,7 | 0,5 | ok |
| R06 | 41,8 | 40,9 | 0,9 | ok | 41,7 | 40,7 | 1,0 | ok |
| R07 | 41,6 | 41,5 | 0,1 | ok | 41,1 | 40,8 | 0,3 | ok |
| R08 | 41,3 | 41,3 | 0,0 | ok | 40,8 | 40,8 | 0,0 | ok |
| R09 | 44,5 | 44,5 | 0,0 | ok | 41,5 | 41,5 | 0,0 | ok |
| R10 | 41,1 | 41,1 | 0,0 | ok | 40,7 | 40,7 | 0,0 | ok |
| R11 | 44,0 | 43,5 | 0,5 | ok | 42,8 | 41,3 | 1,5 | ok |
| R12 | 43,0 | 42,9 | 0,1 | ok | 41,8 | 41,1 | 0,7 | ok |
| R13 | 43,1 | 40,7 | 2,4 | ok | 43,1 | 40,6 | 2,5 | ok |
| R14 | 41,1 | 40,8 | 0,3 | ok | 41,0 | 40,6 | 0,4 | ok |
| R15 | 41,9 | 41,8 | 0,1 | ok | 41,1 | 40,9 | 0,2 | ok |
| R16 | 41,0 | 40,9 | 0,1 | ok | 40,9 | 40,7 | 0,2 | ok |
| R17 | 41,1 | 40,9 | 0,2 | ok | 40,9 | 40,7 | 0,2 | ok |

RELAZIONE PREVISIONALE DI IMPATTO ACUSTICO



Figura 20 - Simulazione 3D, vista Aerogeneratori da ricevitore R07 verso EST

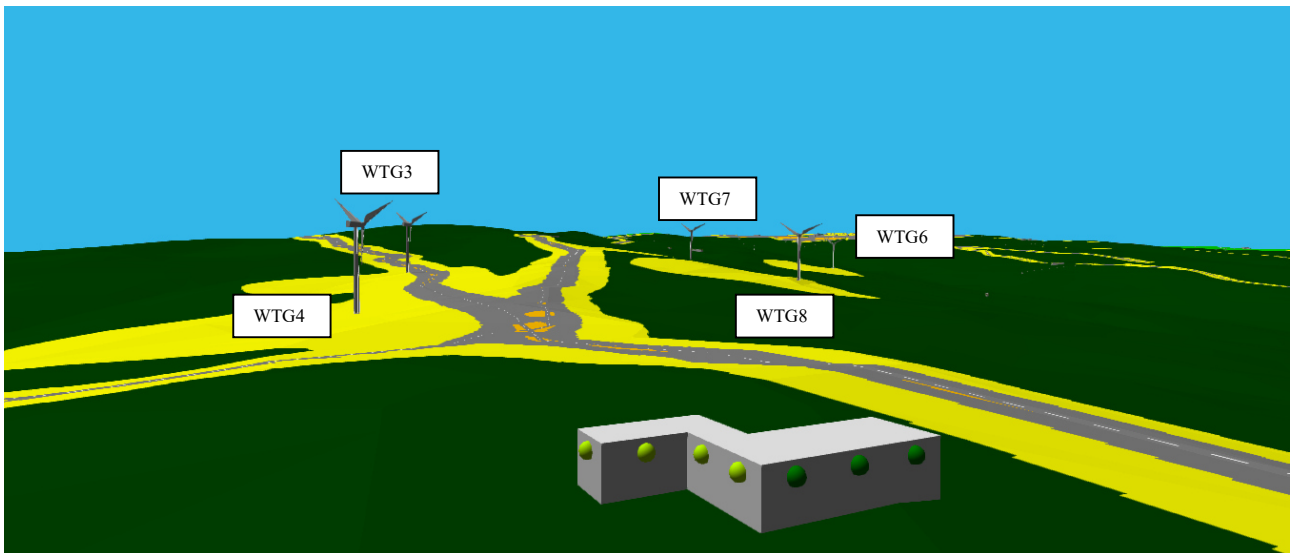


Figura 21 - Simulazione 3D, vista Aerogeneratori da ricevitore R11

RELAZIONE PREVISIONALE DI IMPATTO ACUSTICO

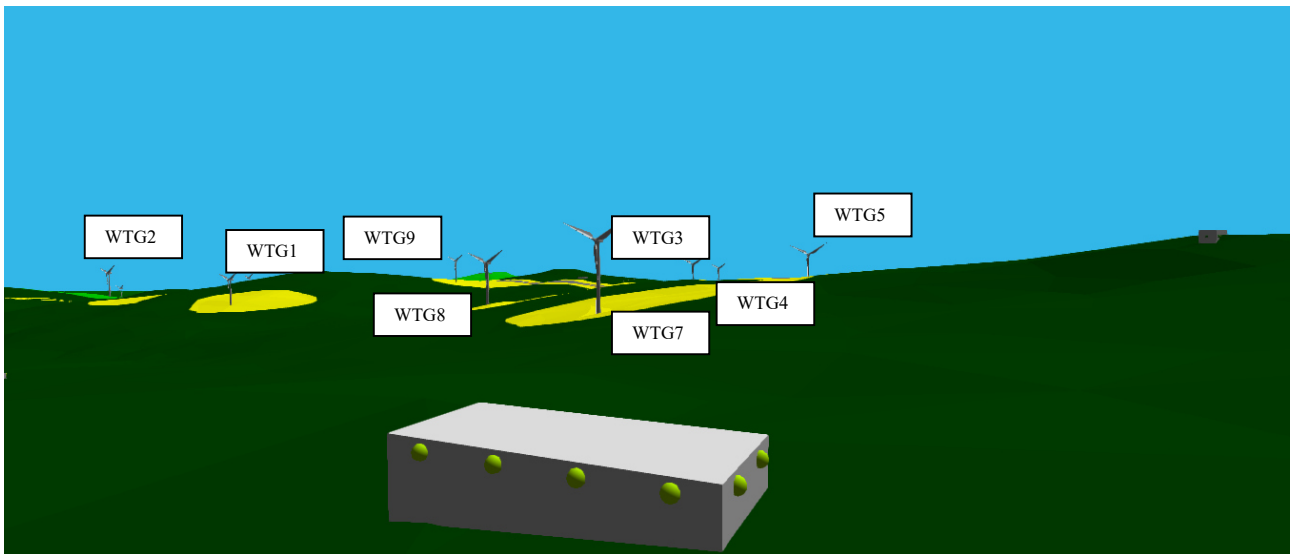


Figura 22 - Simulazione 3D, vista Aerogeneratori da ricettore R06 verso SUD

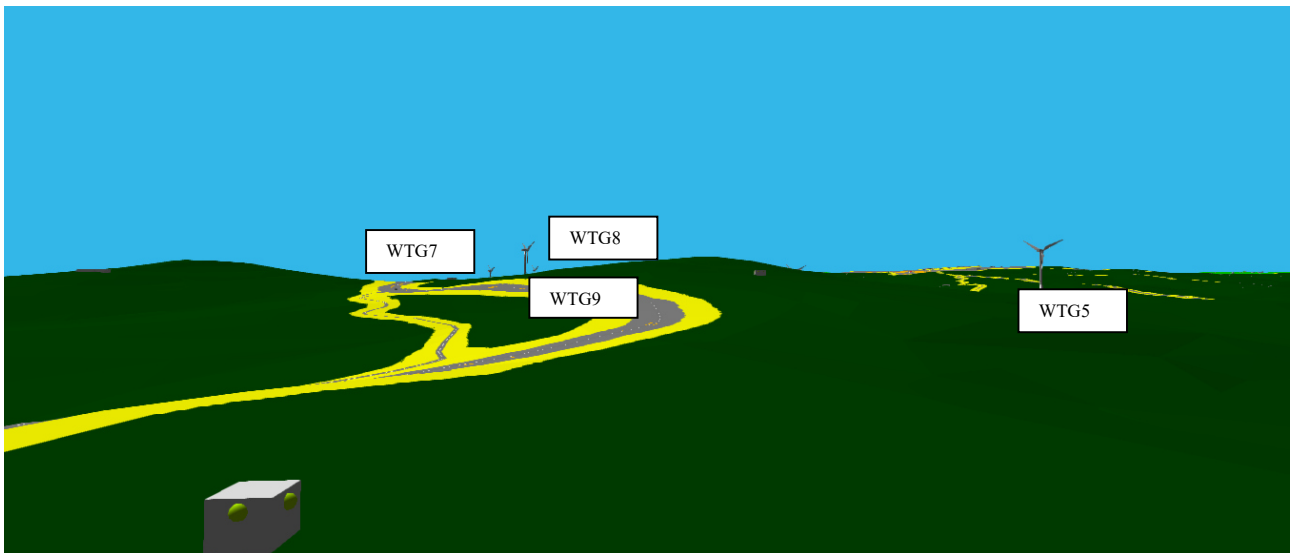


Figura 23 - Simulazione 3D, vista da Ricettore R15 verso EST

14 STIMA DELL'IMPATTO ACUSTICO IN FASE DI CANTIERE

Per una completa analisi dell'impatto acustico e per adempiere appieno alla legge quadro sull'inquinamento acustico 447/95, è necessario valutare la rumorosità prodotta in fase di cantiere e valutare anche in tale circostanza il rispetto dei valori limite.

Dal punto di vista normativo l'attività di cantiere per la realizzazione delle opere oggetto di questo studio può essere inquadrata ed assimilata come attività rumorosa temporanea.

L'art. 6, comma 1, lettera h) della Legge 26 ottobre 1995, n. 447, individua quale competenza dei comuni l'autorizzazione, anche in deroga ai valori limite d'immissione, per lo svolgimento di attività temporanee, nel rispetto delle prescrizioni indicate dal comune stesso.

Nella presente analisi del rumore in fase di cantiere, che risulta attivo solamente durante le normali ore lavorative diurne, si sono considerate le condizioni maggiormente critiche relative alla fase di costruzione delle opere civili ed alla fase di montaggio e realizzazione delle aree attrezzate previste dal progetto.

Dal punto di vista dell'impatto acustico l'attività di cantiere, relativa alla realizzazione dell'impianto oggetto di studio, può essere così sintetizzata:

- ✚ fase 1: scavo per fondazioni aerogeneratori;
- ✚ fase 2: getto fondazioni;
- ✚ fase 3: montaggio aerogeneratori;
- ✚ fase 4: realizzazione linea di connessione;
- ✚ fase 5: sistemazione piazzali.

La valutazione dell'impatto acustico prodotta dall'attività di cantiere oggetto di studio è stata condotta adottando i dati forniti dallo studio del Comitato Paritetico Territoriale per la prevenzione infortuni, l'igiene e l'ambiente di lavoro di Torino e Provincia, "Conoscere per prevenire n° 11". Tale studio si basa su una serie di rilievi fonometrici che hanno consentito di classificare dal punto di vista acustico n°358 macchinari rappresentativi delle attrezzature utilizzate per la realizzazione delle principali attività cantieristiche.

Nella tabella 20, per ogni fase di cantiere sono indicati i macchinari utilizzati e le rispettive potenze sonore. Per le fasi, caratterizzate da utilizzo di più sorgenti di rumore, non contemporanee, è stato considerato esclusivamente il livello di potenza della sorgente (macchinario) più rumorosa.

RELAZIONE PREVISIONALE DI IMPATTO ACUSTICO

Noti i livelli di potenza acustica, associabili ad ogni fase di lavorazione, attraverso l'utilizzo della formula di propagazione sonora in campo aperto relativo alle sorgenti puntiformi, ed in via cautelativa considerando solo il decadimento per divergenza geometrica, sono state calcolate le distanze per le quali il livello di pressione L_p è pari a 70 dB(A):

$$L_p = L_w - 20 \log_{10} r - 11$$

Dove:

L_p = livello di pressione sonora;

d = distanza.

Tabella 20 - risultati della valutazione dell'impatto acustico derivante dalle attività di cantiere

| Macchina | L_w dB (A) | d ($L_p = 70$ dB(A)) [m] |
|--|------------------------------------|---|
| fase 1: scavo per fondazioni aerogeneratori; | | |
| Pala escavatrice | 103,5 | 13,5 |
| fase 2: getto fondazioni; | | |
| Betoniera | 98,3 | 7,3 |
| fase 3: montaggio aerogeneratori; | | |
| Autocarro | 98,8 | 7,8 |
| fase 4: realizzazione linea di connessione; | | |
| Taglio sede stradale (da rilievo in cantieri simili) | 110,0 | 28,0 |
| fase 5: sistemazione piazzali. | | |
| Pala escavatrice | 97,6 | 6,7 |

Le distanze calcolate rappresentano quindi la distanza che intercorre tra la sorgente considerata (luogo nel quale si svolge la i -esima operazione di cantiere) e la relativa isofonica a 70 dB(A) (Limite assoluto di immissione, considerato solo per la fase diurna). Il cantiere relativo alle connessioni si svolgerà esclusivamente su viabilità extraurbana e con progressione tale da incidere in maniera marginale e per tempi ristretti sulle aree interessate. Se considerassimo tutte le fasi contemporanee per il singolo cantiere (condizione improbabile ma più gravosa), la distanza necessaria dall'insieme

RELAZIONE PREVISIONALE DI IMPATTO ACUSTICO

delle n sorgenti dal ricettore i-esimo dovrebbe essere inferiore ai 34 m. Nello schema considerato e dalle analisi effettuate, il ricettore più vicino si trova a non meno di 450 m (Ricettore R07 dalla WTG07). Si riporta di seguito una tabella dei ricettori con le distanze minime dall'aerogeneratore più vicino:

Tabella 21 – distanze ricettori da aerogeneratore più prossimo

| Ricettore | Comune | Classe di destinazione d'uso | Distanza da WTG più vicina | Coordinata X | Coordinata Y |
|------------|-------------------------|------------------------------|----------------------------|--------------|--------------|
| | | | | (m) | (m) |
| R01 | San Giuliano di Puglia | D10 – A4 | 990 m | 498843,947 | 4616208,6 |
| R02 | San Giuliano di Puglia | C6 – A4 | 940 m | 498890,523 | 4616174,449 |
| R03 | San Giuliano di Puglia | D10 – A3 | 800 m | 499146,43 | 4616172,794 |
| R04 | San Giuliano di Puglia | C6 – A4 D10 – A3 | 460 m | 499864,183 | 4615707,43 |
| R05 | San Giuliano di Puglia | C6 – A2 | 580 m | 500380,411 | 4615641,47 |
| R06 | San Giuliano di Puglia | A3 – C2 – C6 | 460 m | 500492,896 | 4615693,163 |
| R07 | San Giuliano di Puglia | A4 – C6 | 455 m | 500521,847 | 4615141,045 |
| R08 | San Giuliano di Puglia | D10 – A4 | 805 m | 499279,416 | 4614463,908 |
| R09 | San Giuliano di Puglia | C3 – A4 | 815 m | 499119,839 | 4614704,449 |
| R10 | San Giuliano di Puglia | C2 – A4 | 940 m | 498931,043 | 4614687,784 |
| R11 | San Giuliano di Puglia | D10 – A4 | 605 m | 502361,142 | 4614369,209 |
| R12 | Santa croce di Magliano | A3 – C1 – D10 | 800 m | 501198,582 | 4616681,241 |
| R13 | San Giuliano di Puglia | A4 – C2 – C6 | 635 m | 501485,747 | 4615810,678 |
| R14 | San Giuliano di Puglia | A4 – C6 | 910 m | 503643,762 | 4615020,193 |

RELAZIONE PREVISIONALE DI IMPATTO ACUSTICO

| | | | | | |
|------------|-------------------------|--------------|--------|------------|-------------|
| R15 | San Giuliano di Puglia | F2 – A4 – C2 | 975 m | 504428,856 | 4614747,485 |
| R16 | Santa croce di Magliano | F2 | 1280 m | 505229,362 | 4616917,611 |
| R17 | San Giuliano di Puglia | C2-C6-F2 | 840 m | 503271,230 | 4613929,037 |

In ogni caso, in via cautelativa, in accordo all'art. 6, comma 1, lettera h) della Legge 26 ottobre 1995, n. 447, prima dell'inizio del cantiere relativo alla connessione, sarà valutata la richiesta autorizzazione in deroga, ai due comuni interessati, per l'eventuale superamento del limite dei 70 dB(A) in facciata, per lo svolgimento di attività temporanee, nel rispetto delle prescrizioni indicate dai comuni stessi.

15 IMPATTO ACUSTICO TRAFFICO INDOTTO

Per la realizzazione del progetto, durante le varie fasi di lavorazioni, è previsto un traffico di mezzi pesanti all'interno dell'area d'intervento e nelle vie di accesso. Generalmente per la realizzazione di tale tipologia di opera, il traffico veicolare previsto si suppone pari a circa 20 veicoli pesanti al giorno, ovvero circa 40 passaggi A/R. Tale transito di mezzi pesanti, determina un flusso medio di 5 veicoli/ora, che risulta acusticamente ininfluenza rispetto al flusso veicolare esistente, valutato in circa 80 veicoli/ora durante le fasi di monitoraggio acustico. Durante la fase di esercizio non sono previsti significativi flussi veicolari.

16 IMPATTI CUMULATIVI CON ALTRI IMPIANTI EOLICI

Dall’anagrafe FER del SIT Puglia (<http://webapps.sit.puglia.it/freewebapps/ImpiantiFERDGR2122/index.html>), per gli impianti ricadenti nel territorio pugliese e dai sopralluoghi e dalle consultazioni nelle banche dati dei progetti autorizzati e/o in fase di autorizzazione, nel buffer di 10 km dagli aerogeneratori oggetto di studio (Cfr. fig.24), sono stati censiti 52 aerogeneratori “potenzialmente realizzabili” (71 quelli costituenti i parchi oltre i limiti dei 10 km di buffer). Come anticipato nel par. 12.2– Fase di esercizio, gli effetti dei parchi eolici sopraelencati sono stati inseriti nella modellazione ed hanno concorso alla valutazione del rumore residuo e del conseguenziale rumore ambientale.

Pertanto, visionando i risultati riportati nel paragrafo 13 – “Rispetto dei limiti assoluti di immissione e del criterio differenziale”, si può asserire che gli effetti cumulativi degli altri parchi eolici presenti e/o in fase di realizzazione sul presente progetto e sulle aree oggetto di studio, per quanto concerne i limiti assoluti di immissione ed i limiti differenziali, rientrano nei limiti disposti dal DPCM 14/11/97, art. 4, comma 2.

Di seguito se ne riporta l’elenco con le caratteristiche principali e la relativa localizzazione, poste alla base delle simulazioni e delle valutazioni effettuate:

- Progetto dell’impianto eolico denominato “Potenziamento Parco eolico di Macchia Valfortore – Monacilioni – Pietracatella – S. Elia a Pianisi ” della potenza complessiva di 72 MW da realizzare nei comuni di Monacilioni (CB), Pietracatella (CB) e Macchia Valfortore (CB), costituito da n. 16 aerogeneratori della potenza di 4,5 MW cad. con altezza al mozzo di 80 m;

Tabella 22 - Posizionamento aerogeneratori “ Parco eolico di Macchia Valfortore – Monacilioni – Pietracatella – S. Elia a Pianisi”

| Aerogeneratore | Est | Nord |
|----------------|------------|------------|
| R-MN01 | 484263,00 | 4610597,00 |
| R-MN02 | 484559,00 | 4610280,00 |
| R-MN03 | 484652 ,00 | 4609440,00 |
| R-MN04 | 484932,00 | 4609109,00 |
| R-MN05 | 485166,00 | 4608403,00 |
| R-PC01 | 487339,00 | 4605733,00 |

RELAZIONE PREVISIONALE DI IMPATTO ACUSTICO

| | | |
|--------|-----------|------------|
| R-PC02 | 487705,00 | 4605237,00 |
| R-PC03 | 488159,00 | 4604994,00 |
| R-PC04 | 488446,00 | 4604607,00 |
| R-PC05 | 488695,00 | 4604355,00 |
| R-MC01 | 487806,00 | 4606447,00 |
| R-MC02 | 488198,00 | 4606318,00 |
| R-MC03 | 488598,00 | 4606150,00 |
| R-MC04 | 488928,00 | 4605944,00 |
| R-MC05 | 489321,00 | 4605787,00 |
| R-MC06 | 489843,00 | 4605714,00 |

- Progetto dell'impianto eolico da realizzare in località "Masseria Ricci e Masseria del Principe" della potenza complessiva di 50 MW da realizzare rispettivamente nei comuni di Serracapriola (FG) e Torremaggiore (FG), costituito da n. 9 aerogeneratori della potenza di 5,6 MW cad. con altezza al mozzo di 115 m;

Tabella 23 - Posizionamento aerogeneratori " Parco eolico Masseria Ricci e Masseria del Principe "

| Aerogeneratore | Est | Nord |
|-----------------------|------------|-------------|
| WTG01 | 509711,00 | 4620569,00 |
| WTG02 | 509865,00 | 4621691,00 |
| WTG03 | 509492,00 | 4622707,00 |
| WTG04 | 509534,00 | 4623568,00 |
| WTG05 | 510608,00 | 4623146,00 |
| WTG06 | 510550,00 | 4623953,00 |
| WTG07 | 510949,00 | 4624617,00 |
| WTG08 | 509056,00 | 4624619,00 |
| WTG09 | 511045,00 | 4626633,00 |

RELAZIONE PREVISIONALE DI IMPATTO ACUSTICO

- Progetto dell'impianto eolico denominato "*Progetto per la realizzazione di un impianto di produzione di energia elettrica da fonte eolica di potenza pari a 42 MW*" della potenza complessiva di 42 MW appunto da realizzare nel comune di Rotello (CB), costituito da n. 10 aerogeneratori della potenza di 4,2 MW cad. con altezza al mozzo di 155 m;

Tabella 24 - Posizionamento aerogeneratori " Parco eolico comune di Rotello "

| Aerogeneratore | Est | Nord |
|-----------------------|------------|-------------|
| ROT01 | 508868,00 | 4626769,00 |
| ROT02 | 508486,00 | 4626238,00 |
| ROT03 | 507988,00 | 4625747,00 |
| ROT04 | 506538,00 | 4623906,00 |
| ROT05 | 506435,00 | 4623336,00 |
| ROT06 | 508413,00 | 4622785,00 |
| ROT07 | 509145,00 | 4622043,00 |
| ROT08 | 504405,00 | 4620387,00 |
| ROT09 | 505420,00 | 4620263,00 |
| ROT10 | 506061,00 | 4619441,00 |

- Progetto dell'impianto eolico denominato "*Impianto eolico CASALVECCHIO DI PUGLIA*" della potenza complessiva di 33,6 MW appunto da realizzare nel comune di Casalvecchio di Puglia (FG), costituito da n. 8 aerogeneratori della potenza di 4,2 MW cad. con altezza al mozzo di 166 m;

Tabella 25 - Posizionamento aerogeneratori " Parco eolico comune di Casalvecchio di Puglia "

| Aerogeneratore | Est | Nord |
|-----------------------|------------|-------------|
| A1 | 511159,00 | 4606174,00 |
| A2 | 511030,00 | 4607269,00 |
| A3 | 511219,00 | 4608133,00 |
| A4 | 510600,00 | 4608699,00 |
| A5 | 511574,00 | 4608588,00 |
| A6 | 512125,00 | 4609669,00 |

RELAZIONE PREVISIONALE DI IMPATTO ACUSTICO

| | | |
|----|-----------|------------|
| A7 | 511029,00 | 4610027,00 |
| A8 | 511485,00 | 4611085,00 |

- Progetto dell'impianto eolico denominato "*Progetto per la realizzazione di un impianto di produzione di energia elettrica da fonte eolica nel Comune di Rotello (CB)*" della potenza complessiva di 46,22 MW appunto da realizzare nel comune di Rotello (CB), costituito da n. 12 aerogeneratori della potenza di 3,85 MW cad. con altezza al mozzo di 121 m;

Tabella 26 - Posizionamento aerogeneratori " Parco eolico comune di Rotello – Wind Energy"

| Aerogeneratore | Est | Nord |
|-----------------------|------------|-------------|
| A01 | 500965,00 | 4624128,00 |
| A02 | 501628,00 | 4625087,00 |
| A03 | 502623,00 | 4625354,00 |
| A04 | 503654,00 | 4625809,00 |
| A05 | 504805,00 | 4625501,00 |
| A06 | 501725,00 | 4623520,00 |
| A07 | 502274,00 | 4624060,00 |
| A08 | 503119,00 | 4623986,00 |
| A09 | 503790,00 | 4623745,00 |
| A10 | 504489,00 | 4624225,00 |
| A11 | 505309,00 | 4624446,00 |
| A12 | 506126,00 | 4624418,00 |

- Progetto dell'impianto eolico denominato "*Progetto per realizzazione di un impianto eolico composto da 10 aerogeneratori per una potenza complessiva di 48 MW, nel Comune di Santa Croce di Magliano (CB)*" della potenza complessiva di 48 MW appunto da realizzare nel comune di Santa Croce di Magliano e Rotello (CB), costituito da n. 10 aerogeneratori della potenza di 4,8 MW cad. con altezza al mozzo di 112 m;

Tabella 27 - Posizionamento aerogeneratori " Parco eolico comune di Santa Croce di Magliano e Rotello – Wind Energy"

| Aerogeneratore | Est | Nord |
|-----------------------|------------|-------------|
|-----------------------|------------|-------------|

RELAZIONE PREVISIONALE DI IMPATTO ACUSTICO

| | | |
|-------|-----------|------------|
| WTG01 | 502406,00 | 4617938,00 |
| WTG02 | 502994,00 | 4618725,00 |
| WTG03 | 504936,00 | 4618802,00 |
| WTG04 | 505576,00 | 4618585,00 |
| WTG05 | 506933,00 | 4618050,00 |
| WTG06 | 507617,00 | 4617880,00 |
| WTG07 | 508204,00 | 4617558,00 |
| WTG08 | 507253,00 | 4617008,00 |
| WTG09 | 503894,00 | 4616570,00 |
| WTG10 | 503283,00 | 4616764,00 |

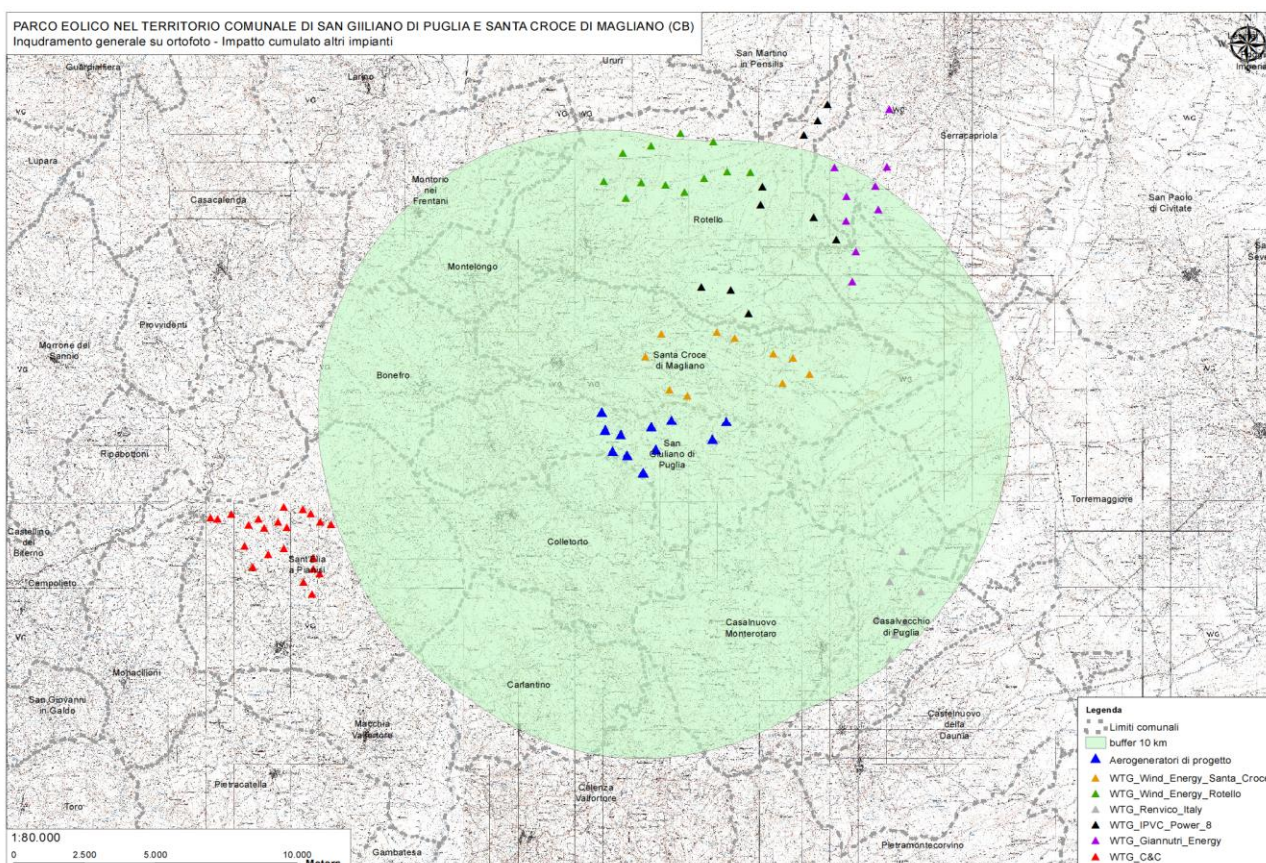


Figura 24 - Buffer 10 km area di intervento

RELAZIONE PREVISIONALE DI IMPATTO ACUSTICO

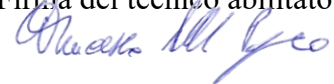
17 CONCLUSIONI

Dallo studio acustico previsionale legato alla messa in esercizio del parco eolico, sulla base dei rilievi eseguiti e dalle simulazioni effettuate

SI CONCLUDE CHE

- ✓ **Il rilievo del clima acustico eseguito fotografa in modo appropriato il clima sonoro della generalità dei ricettori presenti nel territorio agricolo interessato dal progetto del parco eolico.**
- ✓ **l'impatto acustico generato dagli aerogeneratori sarà tale da rispettare i limiti imposti dalla normativa, per il periodo diurno e notturno, sia per i livelli di emissione sia per quelli di immissione;**
- ✓ **relativamente al criterio differenziale, le immissioni di rumore, che saranno generate dagli aerogeneratori in progetto, rientrano nei limiti disposti dall'art. 6 del D.P.C.M. del 1° marzo 1991;**
- ✓ **relativamente alle fasi di cantiere, in accordo all'art. 6, comma 1, lettera h) della Legge 26 ottobre 1995, n. 447, che individua quale competenza dei comuni l'autorizzazione, anche in deroga ai valori limite d'immissione, per lo svolgimento di attività temporanee, pur avendo verificato, nella situazione più gravosa, il non superamento dei 70 dB(A) in facciata ad eventuali edifici, si valuterà prima dell'avvio dei lavori se richiedere cautelativamente autorizzazione in deroga, ai comuni interessati, per l'eventuale superamento del limite di immissione;**
- ✓ **il traffico indotto dalla fase di cantiere, e ancor meno da quella di esercizio, non risulta tale da determinare incrementi di rumorosità sul clima sonoro attualmente presente.**

Firma del tecnico abilitato



18 ALLEGATI

- All. I - Iscrizione elenco tecnici competenti in acustica;
- All. II - Certificati di taratura della catena fonometrica.

RELAZIONE PREVISIONALE DI IMPATTO ACUSTICO

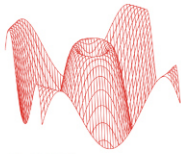
18.1 ALLEGATO I: CERTIFICATO TECNICO COMPETENTE IN ACUSTICA

[↑](#) / [Tecnici Competenti in Acustica](#) / [Vista](#)

| | |
|---|---|
| Numero Iscrizione Elenco Nazionale | 6680 |
| Regione | Puglia |
| Numero Iscrizione Elenco Regionale | BT030 |
| Cognome | Papeo |
| Nome | Francesco Pellegrino |
| Titolo studio | Laurea specialistica in ingegneria per la tutela del territorio |
| Estremi provvedimento | D.D. n. 105 del 25.10.2012 - Provincia BAT |
| Luogo nascita | Barletta |
| Data nascita | 02/07/1986 |
| Codice fiscale | PPAFNC86I02a669S |
| Regione | Puglia |
| Provincia | BT |
| Comune | Trani |
| Via | 69 strada da denominarsi |
| Cap | 76125 |
| Civico | 12/B |
| Nazionalità | Italiana |
| Email | ing.francescopapeo@gmail.com |
| Pec | francescopellegrimo.papep@ingpec.eu |
| Telefono | |
| Cellulare | 320 448 0934 |
| Data pubblicazione in elenco | 10/12/2018 |

RELAZIONE PREVISIONALE DI IMPATTO ACUSTICO

18.2 ALLEGATO II: CERTIFICATI DI TARATURA CALIBRATORE



L.C.E. S.r.l. a Socio Unico
Via dei Platani, 7/9 Opera (MI)
T. 02 57602858 - www.lce.it - info@lce.it

Centro di Taratura LAT N° 068
Calibration Centre
Laboratorio Accreditato di
Taratura



LAT N° 068

Pagina 1 di 4
Page 1 of 4

CERTIFICATO DI TARATURA LAT 068 46079-A
Certificate of Calibration LAT 068 46079-A

| | |
|--|--|
| - data di emissione date of issue | 2020-11-13 |
| - cliente customer | AESSE AMBIENTE SRL 20090 - TREZZANO S/NAVIGLIO (MI) |
| - destinatario receiver | AESSE AMBIENTE SRL 20090 - TREZZANO S/NAVIGLIO (MI) |
| - richiesta application | 20-00003-T |
| - in data date | 2020-01-02 |
| Si riferisce a Referring to | |
| - oggetto item | Calibratore |
| - costruttore manufacturer | 01-dB |
| - modello model | CAL21 |
| - matricola serial number | 34924048 |
| - data di ricevimento oggetto date of receipt of item | 2020-11-11 |
| - data delle misure date of measurements | 2020-11-13 |
| - registro di laboratorio laboratory reference | Reg. 03 |

Il presente certificato di taratura è emesso in base all'accREDITAMENTO LAT N° 068 rilasciato in accordo ai decreti attuativi della legge n. 273/1991 che ha istituito il Sistema Nazionale di Taratura (SNT). ACCREDIA attesta le capacità di misura e di taratura, le competenze metrologiche del Centro e la riferibilità delle tarature eseguite ai campioni nazionali e internazionali delle unità di misura del Sistema Internazionale delle Unità (SI). Questo certificato non può essere riprodotto in modo parziale, salvo espressa autorizzazione scritta da parte del Centro.

This certificate of calibration is issued in compliance with the accreditation LAT N° 068 granted according to decrees connected with Italian law No. 273/1991 which has established the National Calibration System. ACCREDIA attests the calibration and measurement capability, the metrological competence of the Centre and the traceability of calibration results to the national and international standards of the International System of Units (SI). This certificate may not be partially reproduced, except with the prior written permission of the issuing Centre.

I risultati di misura riportati nel presente Certificato sono stati ottenuti applicando le procedure di taratura citate alla pagina seguente, dove sono specificati anche i campioni o gli strumenti che garantiscono la catena di riferibilità del Centro e i rispettivi certificati di taratura in corso di validità. Essi si riferiscono esclusivamente all'oggetto in taratura e sono validi nel momento e nelle condizioni di taratura, salvo diversamente specificato.

The measurement results reported in this Certificate were obtained following the calibration procedures given in the following page, where the reference standards or instruments are indicated which guarantee the traceability chain of the laboratory, and the related calibration certificates in the course of validity are indicated as well. They relate only to the calibrated item and they are valid for the time and conditions of calibration, unless otherwise specified.

Le incertezze di misura dichiarate in questo documento sono state determinate conformemente alla Guida ISO/IEC 98 e al documento EA-4/02. Solitamente sono espresse come incertezza estesa ottenuta moltiplicando l'incertezza tipo per il fattore di copertura k corrispondente ad un livello di fiducia di circa il 95 %. Normalmente tale fattore k vale 2.

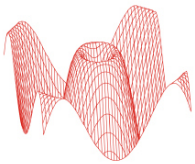
The measurement uncertainties stated in this document have been determined according to the ISO/IEC Guide 98 and to EA-4/02. Usually, they have been estimated as expanded uncertainty obtained multiplying the standard uncertainty by the coverage factor k corresponding to a confidence level of about 95%. Normally, this factor k is 2.

Il Responsabile del Centro
Head of the Centre



SERGENTI MARCO
13.11.2020
10:46:00 UTC

RELAZIONE PREVISIONALE DI IMPATTO ACUSTICO



L.C.E. S.r.l. a Socio Unico
Via dei Platani, 7/9 Opera (MI)
T. 02 57602858 - www.lce.it - info@lce.it

Centro di Taratura LAT N° 068
Calibration Centre
Laboratorio Accreditato di
Taratura



LAT N° 068

Pagina 2 di 4
Page 2 of 4

CERTIFICATO DI TARATURA LAT 068 46079-A
Certificate of Calibration LAT 068 46079-A

Di seguito vengono riportate le seguenti informazioni:

- la descrizione dell'oggetto in taratura (se necessaria);
- l'identificazione delle procedure in base alle quali sono state eseguite le tarature;
- gli strumenti/campioni che garantiscono la riferibilità del Centro;
- gli estremi dei certificati di taratura di tali campioni e l'Ente che li ha emessi;
- il luogo di taratura (se effettuata fuori dal Laboratorio);
- le condizioni ambientali e di taratura;
- i risultati delle tarature e la loro incertezza estesa.

In the following, information is reported about:

- description of the item to be calibrated (if necessary);
- technical procedures used for calibration performed;
- instruments or measurement standards which guarantee the traceability chain of the Centre;
- relevant calibration certificates of those standards with the issuing Body;
- site of calibration (if different from Laboratory);
- calibration and environmental conditions;
- calibration results and their expanded uncertainty.

Strumenti sottoposti a verifica
Instrumentation under test

| Strumento | Costruttore | Modello | Matricola |
|-------------|-------------|---------|-----------|
| Calibratore | 01-dB | CAL21 | 34924048 |

Procedure tecniche, norme e campioni di riferimento
Technical procedures, Standards and Traceability

I risultati di misura riportati nel presente Certificato sono stati ottenuti applicando la procedura di taratura N. PTL 07 Rev. 5.3.

Le verifiche effettuate sull'oggetto della taratura sono in accordo con quanto previsto dalla norma CEI EN 60942:2004.

Le tolleranze riportate sono relative alla classe di appartenenza dello strumento come definito nella norma CEI EN 60942:2004.

Nella tabella sottostante vengono riportati gli estremi dei campioni di riferimento dai quali ha inizio la catena della riferibilità del Centro.

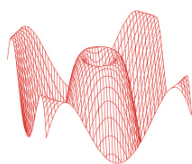
| Strumento | Matricola | Certificato | Data taratura | Data scadenza |
|---|--------------------|----------------------|---------------|---------------|
| Microfono Brüel & Kjaer 4180 | 1627793 | I.N.RI.M. 20-0076-01 | 2020-01-30 | 2021-01-30 |
| Multimetro Hewlett Packard 3458A | 2823A07910 | LAT 046 366633 | 2020-11-12 | 2021-11-12 |
| Stazione meteo Ahlborn Almemo 2590+FHAD46-C2L00 | H17121184+17110098 | LAT N.128U-121/20 | 2020-02-27 | 2021-02-27 |
| Barometro digitale DRUCK DPI 150 | 3268333 | LAT 128P-897/19 | 2019-12-10 | 2020-12-10 |

Condizioni ambientali durante le misure
Environmental parameters during measurements

| Parametro | Di riferimento | All'inizio delle misure | Alla fine delle misure |
|------------------|----------------|-------------------------|------------------------|
| Temperatura / °C | 23,0 | 25,0 | 25,0 |
| Umidità / % | 50,0 | 49,6 | 49,5 |
| Pressione / hPa | 1013,3 | 1014,0 | 1014,0 |

Nella determinazione dell'incertezza non è stata presa in considerazione la stabilità nel tempo dell'oggetto in taratura.

RELAZIONE PREVISIONALE DI IMPATTO ACUSTICO



L.C.E. S.r.l. a Socio Unico
Via dei Platani, 7/9 Opera (MI)
T. 02 57602858 - www.lce.it - info@lce.it

Centro di Taratura LAT N° 068
Calibration Centre
Laboratorio Accreditato di
Taratura



LAT N° 068

Pagina 3 di 4
Page 3 of 4

CERTIFICATO DI TARATURA LAT 068 46079-A
Certificate of Calibration LAT 068 46079-A

Capacità metrologiche del Centro
Metrological capabilities of the Laboratory

Nella tabella vengono riportate le capacità metrologiche del Centro per le grandezze acustiche e le relative incertezze ad esse associate.

| Grandezza | Strumento in taratura | Campo di misura | Condizioni di misura | Incertezza (*) | |
|---|---|---|--|----------------------|---------|
| Livello di pressione acustica | Pistonofoni | 124 dB | 250 Hz | 0,10 dB | |
| | Calibratori acustici | da 90 dB a 125 dB | da 250 Hz a 1000 Hz | 0,12 dB | |
| | Calibratori multifrequenza Livello di pressione acustica | da 94 dB a 114 dB | 31,5 Hz, 63 Hz e 125 Hz 250 Hz, 500 Hz e 1 kHz 2 kHz e 4 kHz 8 kHz 12,5 kHz e 16 kHz | 0,19 dB | |
| | | | | 0,12 dB | |
| | | | | 0,18 dB | |
| | | | | 0,26 dB | |
| | | | | 0,31 dB | |
| | Ponderazione "inversa A" Correzioni pressione/campo libero microfoni | da 94 dB a 114 dB | da 31,5 Hz a 16 kHz | 0,07 dB | |
| | | da 94 dB a 114 dB | da 31,5 Hz a 16 kHz | 0,08 dB | |
| | Fonometri (*, †) | da 20 dB a 155 dB | da 31,5 Hz a 16 kHz | da 0,13 dB a 0,81 dB | |
| | | Fonometri (‡) | da 94 dB a 114 dB | 125 Hz e 1 kHz | 0,32 dB |
| | | | | 8 kHz | 0,45 dB |
| | | Ponderazioni di frequenza con segnali acustici | da 25 dB a 140 dB | da 63 Hz a 16 kHz | 0,14 dB |
| | | Ponderazioni di frequenza con segnali elettrici | da 94 dB a 114 dB | 1 kHz | 0,14 dB |
| | | Ponderazioni di frequenza e temporali a 1 kHz | da 94 dB a 114 dB | 1 kHz | 0,14 dB |
| Linearità di livello nel campo di riferimento | | da 20 dB a 155 dB | 8 kHz | 0,14 dB | |
| Linearità di livello con selettore di fondo scala | | 94 dB | 1 kHz | 0,14 dB | |
| Risposta ai treni d'onda | | da 25 dB a 140 dB | 4 kHz | 0,21 dB | |
| Rivelatore di picco C | da 110 dB a 140 dB | 500 Hz e 8 kHz | 0,21 dB | | |
| Indicatore di sovraccarico | da 110 dB a 140 dB | 4 kHz | 0,21 dB | | |
| Verifica filtri a bande di 1/3 ottava (*) | | 20 Hz < fc < 20 kHz | da 0,15 dB a 1,0 dB | | |
| Verifica filtri a bande di ottava (*) | | 31,5 Hz < fc < 8 kHz | da 0,15 dB a 1,0 dB | | |
| Sensibilità alla pressione acustica | Microfoni campione | 124 dB | 250 Hz | 0,11 dB | |
| | Microfoni campione da 1/2" (†) | 94 dB | da 31,5 Hz a 16 kHz | da 0,11 dB a 0,30 dB | |
| | Microfoni WS2 (†) | 94 dB | da 31,5 Hz a 16 kHz | da 0,15 dB a 0,30 dB | |
| | Microfoni WS2 (risposta di frequenza corretta per campo libero) | 94 dB | da 31,5 Hz a 16 kHz | da 0,22 dB a 0,76 dB | |
| | Microfoni con griglia non rimuovibile | 124 dB | 250 Hz | 0,15 dB | |

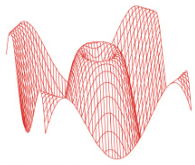
(*) L'incertezza di misura è dichiarata come incertezza estesa corrispondente al livello di fiducia al 95% ed è ottenuta moltiplicando l'incertezza tipo per il fattore di copertura k specificato.

(†) L'incertezza dipende dalla frequenza.

(‡) Fonometri conformi solamente alle norme CEI EN 60651 e CEI EN 60804.

(§) Fonometri conformi alla norma CEI EN 61672-3.

RELAZIONE PREVISIONALE DI IMPATTO ACUSTICO



L.C.E. S.r.l. a Socio Unico
Via dei Platani, 7/9 Opera (MI)
T. 02 57602858 - www.lce.it - info@lce.it

Centro di Taratura LAT N° 068
Calibration Centre
Laboratorio Accreditato di
Taratura



LAT N° 068

Pagina 4 di 4
Page 4 of 4

CERTIFICATO DI TARATURA LAT 068 46079-A
Certificate of Calibration LAT 068 46079-A

1. Ispezione preliminare

In questa fase vengono eseguiti i controlli preliminari sulla strumentazione in taratura e i risultati vengono riportati nella tabella sottostante.

| Controllo | Esito |
|---------------------------|-------|
| Ispezione visiva iniziale | OK |
| Integrità meccanica | OK |
| Integrità funzionale | OK |
| Equilibrio termico | OK |
| Alimentazione | OK |

2. Misurando, modalità e condizioni di misura

Il misurando è il livello di pressione acustica generato, la sua stabilità, frequenza e distorsione totale. Il livello di pressione acustica è calcolato tramite il metodo della tensione di inserzione. I valori riportati sono calcolati alle condizioni di riferimento.

3. Livello sonoro emesso

La misura del livello sonoro emesso dal calibratore acustico viene eseguita attraverso il metodo della tensione di inserzione.

| Frequenza specificata | SPL specificato | SPL medio misurato | Incertezza estesa effettiva di misura | Valore assoluto della differenza tra l'SPL misurato e l'SPL specificato, aumentato dall'incertezza estesa effettiva di misura | Limiti di tolleranza Tipo 1 | Massima incertezza estesa permessa di misura |
|-----------------------|-----------------|--------------------|---------------------------------------|---|-----------------------------|--|
| Hz | dB re20 uPa | dB re20 uPa | dB | dB | dB | dB |
| 1000,0 | 94,00 | 94,07 | 0,12 | 0,19 | 0,40 | 0,15 |

4. Stabilità del livello sonoro emesso

In questa prova viene verificata la stabilità del livello generato dallo strumento.

| Frequenza specificata | SPL specificato | Incertezza estesa effettiva di misura | Metà della differenza tra il massimo e il minimo SPL misurato, aumentata dall'incertezza estesa effettiva di misura | Limiti di tolleranza Tipo 1 | Massima incertezza estesa permessa di misura |
|-----------------------|-----------------|---------------------------------------|---|-----------------------------|--|
| Hz | dB re20 uPa | dB | dB | dB | dB |
| 1000,0 | 94,00 | 0,03 | 0,03 | 0,10 | 0,03 |

5. Frequenza del livello generato

In questa prova viene verificata la frequenza del segnale generato.

| Frequenza specificata | SPL specificato | Frequenza misurata | Incertezza estesa effettiva di misura | Valore assoluto della differenza percentuale tra la frequenza misurata e la frequenza specificata, aumentato dall'incertezza estesa effettiva di misura | Limiti di tolleranza Tipo 1 | Massima incertezza estesa permessa di misura |
|-----------------------|-----------------|--------------------|---------------------------------------|---|-----------------------------|--|
| Hz | dB re20 uPa | Hz | % | % | % | % |
| 1000,0 | 94,00 | 1002,52 | 0,05 | 0,30 | 1,00 | 0,30 |

6. Distorsione totale del livello generato

In questa prova viene misurata la distorsione totale del segnale generato dal calibratore.

| Frequenza specificata | SPL specificato | Distorsione misurata | Incertezza estesa effettiva di misura | Distorsione misurata aumentata dall'incertezza estesa di misura | Massima distorsione totale permessa | Massima incertezza estesa permessa di misura |
|-----------------------|-----------------|----------------------|---------------------------------------|---|-------------------------------------|--|
| Hz | dB re20 uPa | % | % | % | % | % |
| 1000,0 | 94,00 | 1,47 | 0,20 | 1,67 | 3,00 | 0,50 |

RELAZIONE PREVISIONALE DI IMPATTO ACUSTICO

18.3 ALLEGATO II: CERTIFICATI DI TARATURA ANALIZZATORE E FILTRI 1/3 DI OTTAVA

Chapitre 1.
CONSTAT DE VERIFICATION
VERIFICATION CERTIFICATE

CV-MET-20-80978

DELIVRE PAR : **ACOEM**
ISSUED BY : **Service Métrologie**

85 route de Marcilly
69380 LISSIEU
France

INSTRUMENT VERIFIE
INSTRUMENT CHECKED

Désignation : **Sonomètre Intégrateur-Moyenneur**
Designation : **Integrating-Averaging Sound Level Meter**

Constructeur : **01dB**
Manufacturer :

Type : **FUSION** N° de serie : **12829**
Type : *Serial number :*

N° d'identification :
Identification number

Date d'émission : **04/12/2020**
Date of issue :

Ce constat comprend **5** pages
This certificate includes **pages**

LE RESPONSABLE METROLOGIQUE
DU LABORATOIRE
HEAD OF THE METROLOGY LAB
François MAGAND


MET-20-80978

LA REPRODUCTION DE CE CONSTAT N'EST AUTORISEE
QUE SOUS LA FORME DE FAC-SIMILE PHOTOGRAPHIQUE INTEGRAL

THIS CERTIFICATE REPORT MAY NOT BE REPRODUCED OTHER
THAN IN FULL BY PHOTOGRAPHIC PROCESS

CE DOCUMENT NE PEUT PAS ETRE UTILISE EN LIEU
ET PLACE D'UN CERTIFICAT D'ETALONNAGE. CE DOCUMENT
EST REALISE SUIVANT LES RECOMMANDATIONS DU
FASCICULE DE DOCUMENTATION X 07-011.

THIS DOCUMENT CAN'T BE USED AS CALIBRATION
CERTIFICATE. IT IS COMPLIANT WITH THE X 07-011 STANDARD
RECOMMENDATIONS.

RELAZIONE PREVISIONALE DI IMPATTO ACUSTICO

CV-MET-20-80978

6

IDENTIFICATION :

IDENTIFICATION:

| | Sonomètre Sound level meter | Préamplificateur Preamplifier | Microphone Microphone |
|------------------------------------|--------------------------------|----------------------------------|--------------------------|
| Constructeur : Manufacturer | 01dB | | GRAS |
| Type : Type | FUSION | Interne - Internal | 40CE |
| Numéro de série : Serial number | 12829 | | 331508 |

PROGRAMME DE VERIFICATION :

VERIFICATION PROGRAM:

Ce sonomètre a été vérifié sur les caractéristiques suivantes:

- Réponse en fréquence du sonomètre
- Linéarité
- Pondérations fréquentielles A-B-C-Z
- Bruit de fond
- Filtre 1/1 et 1/3 octave

This sound level meter has been verified on its following characteristics:

- Frequency response of the sound level meter
- Linearity
- A-B-C-Z Weighting
- Background noise
- 1/1 and 1/3 Octave filter

METHODE DE VERIFICATION :

VERIFICATION METHOD:

L'appareil est vérifié dans une salle climatisée. Les caractéristiques sont vérifiées étalonnées avec un multimètre et un générateur étalonnés en amplitude et en fréquence. Des corrections constructeurs sont appliquées pour prendre en compte les effets des accessoires et du boîtier selon la norme IEC 61672-3

The instrument is controlled in an air conditioned room. The other characteristics are verified with multimeter and generator calibrated in amplitude and in frequency. Some manufacturer's corrections have been applied to account the acoustical effect from the case of the sound level meter and his accessories (IEC 61672-3).

CONDITIONS DE VERIFICATION :

VERIFICATION CONDITIONS:

Date de l'étalonnage : 4 - 12 - 2020.

Date of Calibration (french format)

Nom de l'opérateur : Patrick Rondreux

Operator Name

Instruction d'étalonnage : P118-NOT-01

Calibration instruction

Pression atmosphérique : 96,35 kPa

Static pressure

Température : 22,8 °C

Temperature

Taux d'humidité relative : 31,3 %HR

Relative humidity

RELAZIONE PREVISIONALE DI IMPATTO ACUSTICO

CV-MET-20-80978

MOYENS DE MESURE UTILISES POUR LA VERIFICATION :

INSTRUMENTS USED FOR VERIFICATION:

| Désignation | Constructeur | Type | N° de série | N° d'identification |
|---|----------------|------------|---------------|-----------------------|
| Designation | Manufacturer | Type | Serial number | Identification number |
| Générateur de fonction / Waveform generator | Helwet-Packard | HP 33120 A | US36028745 | APM 1163 |
| Boite à décades / Decade box | 01dB-Metravib | OUT1694 | 1605202 | APM 5541 |
| Calibreur acoustique / Calibrator | 01dB-Metravib | CAL31 | 84095 | APM 5957 |

Tous les moyens de mesure utilisés sont raccordés aux étalons de référence de la société ACOEM. Les étalons de référence de la société ACOEM sont raccordés aux étalons nationaux par un étalonnage COFRAC. La liste de ces étalons est disponible sur simple demande auprès du responsable métrologique du laboratoire.

All the measuring instruments are calibrated using the ACOEM reference standards. ACOEM reference standards are calibrated with COFRAC certificate of calibration. The reference standard list is available on simple request to the head of the Metrology Lab.

RESULTATS :

RESULTS:

Le jugement de conformité de chaque test IEC 61260
est établi suivant les tolérances données IEC 61672-1 classe 1
dans les normes suivantes :

Conformity decision has been taken with the ANSI S1.11 class 1
tolerance descriptions in the following standards: ANSI S1.4 class

CV-MET-20-80978

8

Linéarité
Linearity

| Description <i>Description</i> | Résultat <i>Result</i> |
|-----------------------------------|------------------------------|
| Linéarité <i>Linearity</i> | Conforme <i>Compliant</i> |

Pondérations fréquentielles A-B-C-Z
A-B-C-Z Weightings

| Description <i>Description</i> | Résultat <i>Result</i> |
|---|------------------------------|
| Pondération fréquentielle <i>Frequency weighting</i> | Conforme <i>Compliant</i> |

Bruit de fond
Background noise

| Description <i>Description</i> | Résultat <i>Result</i> |
|-------------------------------------|------------------------------|
| Bruit de fond <i>Noise level</i> | Conforme <i>Compliant</i> |

RELAZIONE PREVISIONALE DI IMPATTO ACUSTICO

9

CV-MET-20-80978

Filtre d'octave
1/1 Octave filter

| Description <i>Description</i> | Résultat <i>Result</i> |
|--|------------------------------|
| Fréquence centrale filtre 1/1 octave <i>1/1 Octave filter central frequency attenuation</i> | Conforme <i>Compliant</i> |

Filtre de 1/3 d'octave
1/3 Octave filter

| Description <i>Description</i> | Résultat <i>Result</i> |
|--|------------------------------|
| Fréquence centrale filtre 1/3 octave <i>1/3 Octave filter central frequency attenuation</i> | Conforme <i>Compliant</i> |

Les données liées au DMK01 sont issues de la réponse en fréquence du microphone associé à l'influence typique du DMK01.

The DMK01's results describes the association of the microphone acoustical response with the typical DMK01 influence.

Fin du constat de vérification End of verification certificate

Chapitre 2.

CERTIFICAT D'ETALONNAGE

CALIBRATION CERTIFICATE

CE-MET-20-80978

DELIVRE PAR : ACOEM
ISSUED BY : Service Métrologie

85 route de Marcilly
69380 LISSIEU
France

INSTRUMENT ETALONNE
CALIBRATED INSTRUMENT

Désignation : **Sonomètre Intégrateur-Moyenneur**
Designation : **Integrating-Averaging Sound Level Meter**

Constructeur : **01dB**
Manufacturer :

Type : **FUSION**
Type :

N° de serie : **12829**
Serial number :

N° d'identification :
Identification number

Date d'émission : **04/12/2020**
Date of issue :

Ce certificat comprend **10** Pages
This certificate includes Pages

LE RESPONSABLE METROLOGIQUE
DU LABORATOIRE
HEAD OF THE METROLOGY LAB
François MAGAND



LA REPRODUCTION DE CE CERTIFICAT N'EST AUTORISEE QUE
SOUS LA FORME DE FAC-SIMILE PHOTOGRAPHIQUE INTEGRAL.
THIS CERTIFICATE MAY NOT BE REPRODUCED OTHER THAN IN FULL
BY PHOTOGRAPHIC PROCESS

CE CERTIFICAT EST CONFORME AU FASCICULE DE
DOCUMENTATION FD X 07-012.
THIS CERTIFICATE IS COMPLIANT WITH THE FD X 07-012
STANDARD DOCUMENTATION

RELAZIONE PREVISIONALE DI IMPATTO ACUSTICO

CE-MET-20-80978

12

IDENTIFICATION :

IDENTIFICATION:

| | Sonomètre <i>Sound level meter</i> | Préamplificateur <i>Preamplifier</i> | Microphone <i>Microphone</i> |
|---|---------------------------------------|---|---------------------------------|
| Constructeur : <i>Manufacturer</i> | 01dB | | GRAS |
| Type : <i>Type</i> | FUSION | Interne - Internal | 40CE |
| Numéro de série : <i>Serial number</i> | 12829 | | 331508 |

PROGRAMME D'ETALONNAGE :

CALIBRATION PROGRAM:

Ce Sonomètre a été étalonné sur les caractéristiques suivantes :

- Réponse en fréquence du sonomètre en champ libre
- Linéarité
- Pondérations fréquentielles A-B-C-Z

The Sound level meter has been calibrated on the following characteristics:

- *Free field frequency response of the sound level meter*
- *Linearity*
- *A-B-C-Z frequency weightings*

METHODE D'ETALONNAGE :

CALIBRATION METHOD:

L'appareil est étalonné dans une salle climatisée. Les caractéristiques sont étalonnées avec un multimètre et un générateur étalonnés en amplitude et en fréquence. Des corrections constructeurs sont appliquées pour prendre en compte les effets des accessoires et du boîtier selon la norme IEC 61672-3

The instrument is calibrated in an air conditioned room.. The other characteristics are verified with multimeter and generator calibrated in amplitude and in frequency. Some manufacturer's corrections have been applied to account the acoustical effect from the case of the sound level meter and his accessories (IEC 61672-3).

CONDITIONS D'ETALONNAGE :

CALIBRATION CONDITIONS:

Date de l'étalonnage : 4 - 12 - 2020.
Date of Calibration (french format)

Nom de l'opérateur : Patrick Rondreux
Operator Name

Instruction d'étalonnage : P118-NOT-01
Calibration instruction

Pression atmosphérique : 96,35 kPa
Static pressure

Température : 22,8 °C
Temperature

Taux d'humidité relative : 31,3 %HR
Relative humidity

RELAZIONE PREVISIONALE DI IMPATTO ACUSTICO

CE-MET-20-80978

13

MOYENS DE MESURES UTILISES POUR L'ETALONNAGE :

INSTRUMENTS USED FOR CALIBRATION:

| Désignation | Constructeur | Type | N° de série | N° d'identification |
|---|----------------|------------|---------------|-----------------------|
| Designation | Manufacturer | Type | Serial number | Identification number |
| Générateur de fonction / Waveform generator | Helwet-Packard | HP 33120 A | US36028745 | APM 1163 |
| Boite à décades / Decade box | 01dB-Metravib | OUT1694 | 1605202 | APM 5541 |
| Calibreur acoustique / Calibrator | 01dB-Metravib | CAL31 | 84095 | APM 5957 |

Tous les moyens de mesure utilisés sont raccordés aux étalons de référence de la société ACOEM. Les étalons de référence de la société ACOEM sont raccordés aux étalons nationaux par un étalonnage COFRAC. La liste de ces étalons est disponible sur simple demande auprès du responsable métrologique du laboratoire.

All the measuring instruments are calibrated using the ACOEM reference standards. ACOEM reference standards are calibrated to national standard with COFRAC certificate of calibration. The reference standards list is available on simple request to the head of the Metrology lab.

RESULTATS :

RESULTS:

Les incertitudes élargies mentionnées sont celles correspondant à deux incertitudes types (k=2). Les incertitudes types sont calculées en tenant compte des différentes composantes d'incertitudes, étalons de référence, moyens d'étalonnage, conditions d'environnement, contribution de l'instrument étalonné, répétabilité ...

Mentioned expanded uncertainties correspond to two standard uncertainty types (k=2). Standard uncertainties are calculated including different uncertainty components, reference standards, instruments used, environmental conditions, calibrated instrument contribution, repeatability...

CE-MET-20-80978

14

Pondération fréquentielle

Frequency Weighting

| Pondération fréquentielle (voie interne) - Frequency weighting (primary) | | | | | |
|--|------|-------|-------|-------|------------------------------------|
| 0° Short • windscreen | Z | A | B | C | Incertitude uncertainty (dB) |
| 63 Hz | -0,7 | -27,0 | -10,1 | -1,5 | 0,45 |
| 125 Hz | -0,6 | -16,9 | -4,9 | -0,8 | 0,45 |
| 250 Hz | -0,6 | -9,3 | -2,0 | -0,6 | 0,29 |
| 500 Hz | -0,4 | -3,6 | -0,7 | -0,4 | 0,29 |
| 1000 Hz | -0,3 | -0,3 | -0,3 | -0,3 | 0,29 |
| 2000 Hz | 0,4 | 1,6 | 0,3 | 0,2 | 0,29 |
| 4000 Hz | -0,4 | 0,6 | -1,1 | -1,2 | 0,39 |
| 8000 Hz | -1,1 | -2,7 | -4,5 | -4,6 | 0,61 |
| 16000 Hz | -1,2 | -13,2 | -15,0 | -15,1 | 0,61 |

RELAZIONE PREVISIONALE DI IMPATTO ACUSTICO

CE-MET-20-80978

15

Linéarité
Linearity

| Linéarité (voie principale) <i>Linearity (Primary channel)</i> | Valeur nominale <i>Nominal value</i> (dB) | Valeur affichée <i>Displayed value</i> (dB) | Incertitudes <i>Uncertainty</i> (dB) |
|---|---|---|--|
| Leq 35 dBZ / 8000 Hz | 35,0 | 34,8 | 0,23 |
| Leq 40 dBZ / 8000 Hz | 40,0 | 40,0 | 0,23 |
| Leq 50 dBZ / 8000 Hz | 50,0 | 50,0 | 0,20 |
| Leq 60 dBZ / 8000 Hz | 60,0 | 60,0 | 0,20 |
| Leq 70 dBZ / 8000 Hz | 70,0 | 70,0 | 0,20 |
| Leq 80 dBZ / 8000 Hz | 80,0 | 80,0 | 0,20 |
| Leq 90 dBZ / 8000 Hz | 90,0 | 90,0 | 0,20 |
| Leq 100 dBZ / 8000 Hz | 100,0 | 100,0 | 0,20 |
| Leq 110 dBZ / 8000 Hz | 110,0 | 109,8 | 0,20 |
| Leq 120 dBZ / 8000 Hz | 120,0 | 119,7 | 0,20 |
| Leq 130 dBZ / 8000 Hz | 130,0 | 129,7 | 0,20 |
| Leq 134 dBZ / 8000 Hz | 134,0 | 133,7 | 0,20 |
| Leq 134 dBA / 8000 Hz | 134,0 | 133,8 | 0,20 |
| Leq 130 dBA / 8000 Hz | 130,0 | 129,7 | 0,20 |
| Leq 120 dBA / 8000 Hz | 120,0 | 119,7 | 0,20 |
| Leq 110 dBA / 8000 Hz | 110,0 | 109,9 | 0,20 |
| Leq 100 dBA / 8000 Hz | 100,0 | 100,0 | 0,20 |
| Leq 90 dBA / 8000 Hz | 90,0 | 90,0 | 0,20 |
| Leq 80 dBA / 8000 Hz | 80,0 | 80,0 | 0,20 |
| Leq 70 dBA / 8000 Hz | 70,0 | 70,0 | 0,20 |
| Leq 60 dBA / 8000 Hz | 60,0 | 60,0 | 0,20 |
| Leq 50 dBA / 8000 Hz | 50,0 | 50,0 | 0,20 |
| Leq 40 dBA / 8000 Hz | 40,0 | 40,0 | 0,23 |
| Leq 30 dBA / 8000 Hz | 30,0 | 30,0 | 0,23 |
| Leq 26 dBA / 8000 Hz | 26,0 | 26,1 | 0,23 |

RELAZIONE PREVISIONALE DI IMPATTO ACUSTICO

CE-MET-20-80978

16

Filtre
Filter

| Filtre par bande d'octave (Voie principale) <i>Octave filter (primary channel)</i> | Valeur nominale <i>Nominal value</i> (dB) | Valeur affichée <i>Displayed value</i> (dB) | Incertitudes <i>Uncertainty</i> (dB) |
|---|---|---|--|
| Leq 110 dB / 1/1 Octave / 31,5 Hz | 110,0 | 109,9 | 0,5 |
| Leq 110 dB / 1/1 Octave / 63 Hz | 110,0 | 109,9 | 0,5 |
| Leq 110 dB / 1/1 Octave / 125 Hz | 110,0 | 110,0 | 0,5 |
| Leq 110 dB / 1/1 Octave / 250 Hz | 110,0 | 110,0 | 0,3 |
| Leq 110 dB / 1/1 Octave / 500 Hz | 110,0 | 110,0 | 0,3 |
| Leq 110 dB / 1/1 Octave / 1000 Hz | 110,0 | 110,0 | 0,3 |
| Leq 110 dB / 1/1 Octave / 2000 Hz | 110,0 | 110,0 | 0,4 |
| Leq 110 dB / 1/1 Octave / 4000 Hz | 110,0 | 110,0 | 0,4 |
| Leq 110 dB / 1/1 Octave / 8000 Hz | 110,0 | 110,0 | 0,4 |

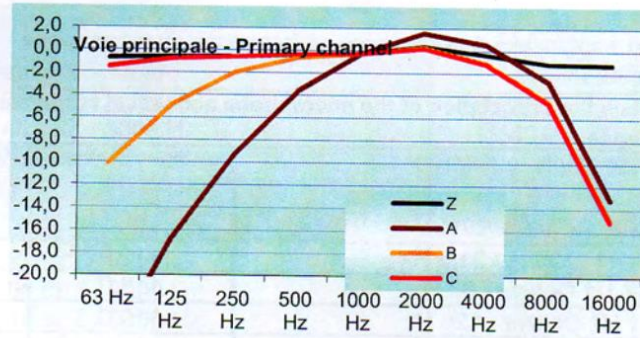
| Filtre tiers d'octave (Voie principale) <i>Third octave filter (Primary channel)</i> | Valeur nominale <i>Nominal value</i> (dB) | Valeur affichée <i>Displayed value</i> (dB) | Incertitudes <i>Uncertainty</i> (dB) |
|---|---|---|--|
| Leq 110 dB / 1/3 Octave / 25 Hz | 110,0 | 109,9 | 0,5 |
| Leq 110 dB / 1/3 Octave / 31,5 Hz | 110,0 | 109,9 | 0,5 |
| Leq 110 dB / 1/3 Octave / 40 Hz | 110,0 | 109,9 | 0,5 |
| Leq 110 dB / 1/3 Octave / 50 Hz | 110,0 | 109,9 | 0,5 |
| Leq 110 dB / 1/3 Octave / 63 Hz | 110,0 | 109,9 | 0,5 |
| Leq 110 dB / 1/3 Octave / 80 Hz | 110,0 | 110,0 | 0,5 |
| Leq 110 dB / 1/3 Octave / 100 Hz | 110,0 | 110,0 | 0,5 |
| Leq 110 dB / 1/3 Octave / 125 Hz | 110,0 | 110,0 | 0,5 |
| Leq 110 dB / 1/3 Octave / 160 Hz | 110,0 | 110,0 | 0,5 |
| Leq 110 dB / 1/3 Octave / 200 Hz | 110,0 | 110,0 | 0,3 |
| Leq 110 dB / 1/3 Octave / 250 Hz | 110,0 | 110,0 | 0,3 |
| Leq 110 dB / 1/3 Octave / 315 Hz | 110,0 | 110,0 | 0,3 |
| Leq 110 dB / 1/3 Octave / 400 Hz | 110,0 | 110,0 | 0,3 |
| Leq 110 dB / 1/3 Octave / 500 Hz | 110,0 | 110,0 | 0,3 |
| Leq 110 dB / 1/3 Octave / 630 Hz | 110,0 | 110,0 | 0,3 |
| Leq 110 dB / 1/3 Octave / 800 Hz | 110,0 | 110,0 | 0,3 |
| Leq 110 dB / 1/3 Octave / 1000 Hz | 110,0 | 110,0 | 0,3 |
| Leq 110 dB / 1/3 Octave / 1250 Hz | 110,0 | 110,0 | 0,4 |
| Leq 110 dB / 1/3 Octave / 1600 Hz | 110,0 | 110,1 | 0,4 |
| Leq 110 dB / 1/3 Octave / 2000 Hz | 110,0 | 110,0 | 0,4 |
| Leq 110 dB / 1/3 Octave / 2500 Hz | 110,0 | 110,0 | 0,4 |
| Leq 110 dB / 1/3 Octave / 3150 Hz | 110,0 | 110,0 | 0,4 |
| Leq 110 dB / 1/3 Octave / 4000 Hz | 110,0 | 110,0 | 0,4 |
| Leq 110 dB / 1/3 Octave / 5000 Hz | 110,0 | 110,0 | 0,4 |
| Leq 110 dB / 1/3 Octave / 6300 Hz | 110,0 | 110,0 | 0,4 |
| Leq 110 dB / 1/3 Octave / 8000 Hz | 110,0 | 110,0 | 0,4 |
| Leq 110 dB / 1/3 Octave / 10000 Hz | 110,0 | 109,9 | 0,6 |

RELAZIONE PREVISIONALE DI IMPATTO ACUSTICO

CE-MET-20-80978

17

Réponse acoustique
Acoustic response



RELAZIONE PREVISIONALE DI IMPATTO ACUSTICO

CE-MET-20-80978

18

OPTION DMK 01 (1/3)

Les données liées au DMK01 sont issues de la réponse en fréquence du microphone associé à l'influence typique du DMK01.

The DMK01's results describes the association of the microphone acoustical response with the typical DMK01 influence.

| Filtre par bande d'octave (DMK 01) <i>Octave filter (with DMK01)</i> | Valeur nominale <i>Nominal value</i> (dB) | Valeur affichée <i>Displayed value</i> (dB) | Incertitudes <i>Uncertainty</i> (dB) |
|---|---|---|--|
| Leq 110 dB / 1/1 Octave / 31,5 Hz | 110,0 | 109,9 | 0,5 |
| Leq 110 dB / 1/1 Octave / 63 Hz | 110,0 | 109,9 | 0,5 |
| Leq 110 dB / 1/1 Octave / 125 Hz | 110,0 | 110,0 | 0,5 |
| Leq 110 dB / 1/1 Octave / 250 Hz | 110,0 | 110,0 | 0,3 |
| Leq 110 dB / 1/1 Octave / 500 Hz | 110,0 | 110,0 | 0,3 |
| Leq 110 dB / 1/1 Octave / 1000 Hz | 110,0 | 110,0 | 0,3 |
| Leq 110 dB / 1/1 Octave / 2000 Hz | 110,0 | 110,0 | 0,4 |
| Leq 110 dB / 1/1 Octave / 4000 Hz | 110,0 | 110,0 | 0,4 |
| Leq 110 dB / 1/1 Octave / 8000 Hz | 110,0 | 110,0 | 0,4 |

| Filtre tiers d'octave (DMK 01) <i>Third octave filter (with DMK01)</i> | Valeur nominale <i>Nominal value</i> (dB) | Valeur affichée <i>Displayed value</i> (dB) | Incertitudes <i>Uncertainty</i> (dB) |
|---|---|---|--|
| Leq 110 dB / 1/3 Octave / 25 Hz | 110,0 | 109,9 | 0,5 |
| Leq 110 dB / 1/3 Octave / 31,5 Hz | 110,0 | 109,9 | 0,5 |
| Leq 110 dB / 1/3 Octave / 40 Hz | 110,0 | 109,9 | 0,5 |
| Leq 110 dB / 1/3 Octave / 50 Hz | 110,0 | 109,9 | 0,5 |
| Leq 110 dB / 1/3 Octave / 63 Hz | 110,0 | 109,9 | 0,5 |
| Leq 110 dB / 1/3 Octave / 80 Hz | 110,0 | 110,0 | 0,5 |
| Leq 110 dB / 1/3 Octave / 100 Hz | 110,0 | 110,0 | 0,5 |
| Leq 110 dB / 1/3 Octave / 125 Hz | 110,0 | 110,0 | 0,5 |
| Leq 110 dB / 1/3 Octave / 160 Hz | 110,0 | 110,0 | 0,5 |
| Leq 110 dB / 1/3 Octave / 200 Hz | 110,0 | 110,0 | 0,3 |
| Leq 110 dB / 1/3 Octave / 250 Hz | 110,0 | 110,0 | 0,3 |
| Leq 110 dB / 1/3 Octave / 315 Hz | 110,0 | 110,0 | 0,3 |
| Leq 110 dB / 1/3 Octave / 400 Hz | 110,0 | 110,0 | 0,3 |
| Leq 110 dB / 1/3 Octave / 500 Hz | 110,0 | 110,0 | 0,3 |
| Leq 110 dB / 1/3 Octave / 630 Hz | 110,0 | 110,0 | 0,3 |
| Leq 110 dB / 1/3 Octave / 800 Hz | 110,0 | 110,0 | 0,3 |
| Leq 110 dB / 1/3 Octave / 1000 Hz | 110,0 | 110,0 | 0,3 |
| Leq 110 dB / 1/3 Octave / 1250 Hz | 110,0 | 110,0 | 0,4 |
| Leq 110 dB / 1/3 Octave / 1600 Hz | 110,0 | 110,1 | 0,4 |
| Leq 110 dB / 1/3 Octave / 2000 Hz | 110,0 | 110,0 | 0,4 |
| Leq 110 dB / 1/3 Octave / 2500 Hz | 110,0 | 110,0 | 0,4 |
| Leq 110 dB / 1/3 Octave / 3150 Hz | 110,0 | 110,0 | 0,4 |
| Leq 110 dB / 1/3 Octave / 4000 Hz | 110,0 | 110,0 | 0,4 |
| Leq 110 dB / 1/3 Octave / 5000 Hz | 110,0 | 110,0 | 0,4 |
| Leq 110 dB / 1/3 Octave / 6300 Hz | 110,0 | 110,0 | 0,4 |
| Leq 110 dB / 1/3 Octave / 8000 Hz | 110,0 | 110,0 | 0,4 |
| Leq 110 dB / 1/3 Octave / 10000 Hz | 110,0 | 109,9 | 0,6 |

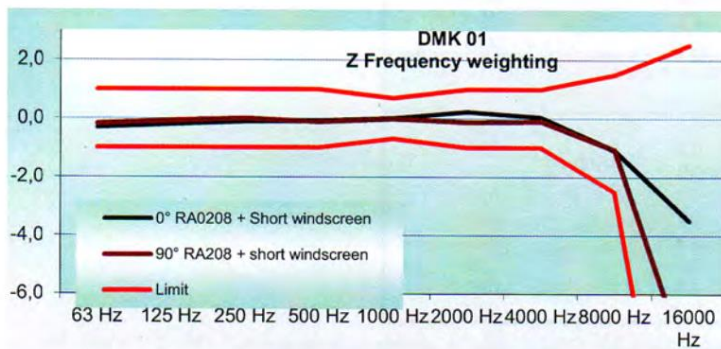
RELAZIONE PREVISIONALE DI IMPATTO ACUSTICO

CE-MET-20-80978

19

OPTION DMK 01 (2/3)

| Linéarité (avec DMK01) <i>Linearity (with DMK01)</i> | Valeur nominale <i>Nominal value</i> (dB) | Valeur affichée <i>Displayed value</i> (dB) | Incertitudes <i>Uncertainty</i> (dB) |
|---|---|---|--|
| Leq 35 dBZ / 8000 Hz | 35,0 | 34,9 | 0,23 |
| Leq 40 dBZ / 8000 Hz | 40,0 | 40,0 | 0,23 |
| Leq 50 dBZ / 8000 Hz | 50,0 | 50,0 | 0,20 |
| Leq 60 dBZ / 8000 Hz | 60,0 | 60,0 | 0,20 |
| Leq 70 dBZ / 8000 Hz | 70,0 | 70,0 | 0,20 |
| Leq 80 dBZ / 8000 Hz | 80,0 | 80,0 | 0,20 |
| Leq 90 dBZ / 8000 Hz | 90,0 | 90,0 | 0,20 |
| Leq 100 dBZ / 8000 Hz | 100,0 | 100,0 | 0,20 |
| Leq 110 dBZ / 8000 Hz | 110,0 | 109,9 | 0,20 |
| Leq 120 dBZ / 8000 Hz | 120,0 | 119,7 | 0,20 |
| Leq 130 dBZ / 8000 Hz | 130,0 | 129,7 | 0,20 |
| Leq 134 dBZ / 8000 Hz | 134,0 | 133,7 | 0,20 |
| Leq 134 dBA / 8000 Hz | 134,0 | 133,7 | 0,20 |
| Leq 130 dBA / 8000 Hz | 130,0 | 129,7 | 0,20 |
| Leq 120 dBA / 8000 Hz | 120,0 | 119,7 | 0,20 |
| Leq 110 dBA / 8000 Hz | 110,0 | 109,8 | 0,20 |
| Leq 100 dBA / 8000 Hz | 100,0 | 100,0 | 0,20 |
| Leq 90 dBA / 8000 Hz | 90,0 | 90,0 | 0,20 |
| Leq 80 dBA / 8000 Hz | 80,0 | 80,0 | 0,20 |
| Leq 70 dBA / 8000 Hz | 70,0 | 70,0 | 0,20 |
| Leq 60 dBA / 8000 Hz | 60,0 | 60,0 | 0,20 |
| Leq 50 dBA / 8000 Hz | 50,0 | 50,0 | 0,20 |
| Leq 40 dBA / 8000 Hz | 40,0 | 39,9 | 0,23 |
| Leq 30 dBA / 8000 Hz | 30,0 | 30,1 | 0,23 |
| Leq 26 dBA / 8000 Hz | 26,0 | 26,1 | 0,23 |



RELAZIONE PREVISIONALE DI IMPATTO ACUSTICO

CE-MET-20-80978

20

OPTION DMK 01 (3/3)

| Pondération fréquentielle (avec DMK01) Frequency weighting (with DMK01) | | | |
|--|---------------------------------|---------------------------------|----------------------------|
| Z | 0° RA0208 + Short windscreen | 90° RA208 + short windscreen | Incertitude uncertainty |
| 63 Hz | -0,3 | -0,2 | 0,45 |
| 125 Hz | -0,2 | -0,1 | 0,45 |
| 250 Hz | -0,1 | 0,0 | 0,29 |
| 500 Hz | -0,1 | -0,1 | 0,29 |
| 1000 Hz | 0,0 | 0,0 | 0,29 |
| 2000 Hz | 0,2 | -0,1 | 0,29 |
| 4000 Hz | 0,0 | -0,1 | 0,29 |
| 8000 Hz | -1,1 | -1,1 | 0,39 |
| 16000 Hz | -3,5 | -8,5 | 0,61 |
| | | | 0,61 |
| A | 0° RA0208 + Short windscreen | 90° RA208 + short windscreen | Incertitude uncertainty |
| 63 Hz | -26,6 | -26,4 | 0,45 |
| 125 Hz | -16,4 | -16,3 | 0,45 |
| 250 Hz | -8,8 | -8,7 | 0,29 |
| 500 Hz | -3,3 | -3,4 | 0,29 |
| 1000 Hz | 0,0 | 0,0 | 0,29 |
| 2000 Hz | 1,4 | 1,1 | 0,29 |
| 4000 Hz | 0,9 | 0,8 | 0,29 |
| 8000 Hz | -2,7 | -2,7 | 0,39 |
| 16000 Hz | -15,5 | -20,4 | 0,61 |
| | | | 0,61 |
| B | 0° RA0208 + Short windscreen | 90° RA208 + short windscreen | Incertitude uncertainty |
| 63 Hz | -9,7 | -9,6 | 0,45 |
| 125 Hz | -4,5 | -4,3 | 0,45 |
| 250 Hz | -1,5 | -1,4 | 0,29 |
| 500 Hz | -0,4 | -0,4 | 0,29 |
| 1000 Hz | 0,0 | 0,0 | 0,29 |
| 2000 Hz | 0,1 | -0,2 | 0,29 |
| 4000 Hz | -0,7 | -0,9 | 0,29 |
| 8000 Hz | -4,5 | -4,5 | 0,39 |
| 16000 Hz | -17,3 | -22,3 | 0,61 |
| | | | 0,61 |
| C | 0° RA0208 + Short windscreen | 90° RA208 + short windscreen | Incertitude uncertainty |
| 63 Hz | -1,1 | -1,0 | 0,45 |
| 125 Hz | -0,4 | -0,3 | 0,45 |
| 250 Hz | -0,1 | 0,0 | 0,29 |
| 500 Hz | -0,1 | -0,1 | 0,29 |
| 1000 Hz | 0,0 | 0,0 | 0,29 |
| 2000 Hz | 0,0 | -0,3 | 0,29 |
| 4000 Hz | -0,8 | -0,9 | 0,29 |
| 8000 Hz | -4,6 | -4,6 | 0,39 |
| 16000 Hz | -17,4 | -22,4 | 0,61 |
| | | | 0,61 |

Fin du certificat d'étalonnage End of calibration certificate

Chapitre 3.

CERTIFICAT DE CONFORMITE

CONFORMITY CERTIFICATE

CC-MET-20-80978

Nous, fabricant
We, manufacturer

Acoem
200, Chemin des Ormeaux
F 69578 LIMONEST Cedex- FRANCE

déclarons sous notre seule responsabilité que le produit suivant :
declare under our own responsibility that the following equipment:

Désignation : **Sonomètre Intégrateur Moyenneur**
Designation: **Integrating-Averaging Sound level meter**

Référence : **FUSION**
Reference:

Numéro de série : **12820**
Serial Number:

est conforme aux dispositions des normes suivantes :
complies with the requirements of the following standards:

| | Norme Standard | Classe Class | Edition du Edition of |
|----------------------------|-------------------|-----------------|--------------------------|
| Sonomètre : | IEC 60651 | 1 | 10-2000 |
| Sound level meter : | IEC 60804 | 1 | 10-2000 |
| | IEC 61672-1 | 1 | 09-2013 |
| | IEC 61260 | 1 | 07-1995-2011 |
| | ANSI S1.11 | 1 | 2004 |
| | ANSI S1.4 | 1 | 1983-1985 |

et répond en tout point, après vérification et essais, aux exigences spécifiées, aux normes et règlements applicables, sauf exceptions, réserves ou dérogations énumérées dans la présente déclaration de conformité.

After testing and verification, this device satisfies all specified requirements and applicable standards and regulations apart from exceptions, reservations, or exemptions listed in this conformance certificate.

Date

LE REFERENT METROLOGIE ACOUSTIQUE
THE REFERENT ACOUSTIC METROLOGY
François Magand

Date

01/12/2020

RELAZIONE PREVISIONALE DI IMPATTO ACUSTICO

Calibration Chart

GRAS 40CE 1/2" Pre-polarized Free-field Microphone

Serial No: 331508

Operator: BST

Calibration Date: 07. Aug 2020

Open Circuit Sensitivity

The calibration is performed by comparison with a Reference Microphone Cartridge GRAS 40AG and is traceable to the Danish National Metrology Institute, DFM A/S.

The stated sensitivity for the microphone cartridge is the open circuit sensitivity. When used with a typical preamplifier, like the GRAS 26AH, the sensitivity will be 0.2 dB lower.

| Test Freq. [Hz] | Measured Level [mV/Pa] | Measured Level [dB re. 1 V/Pa] | Uncertainty [dB] |
|-----------------|------------------------|--------------------------------|------------------|
| 250 | 42.59 | -27.41 | ±0.08 |

Reference conditions:

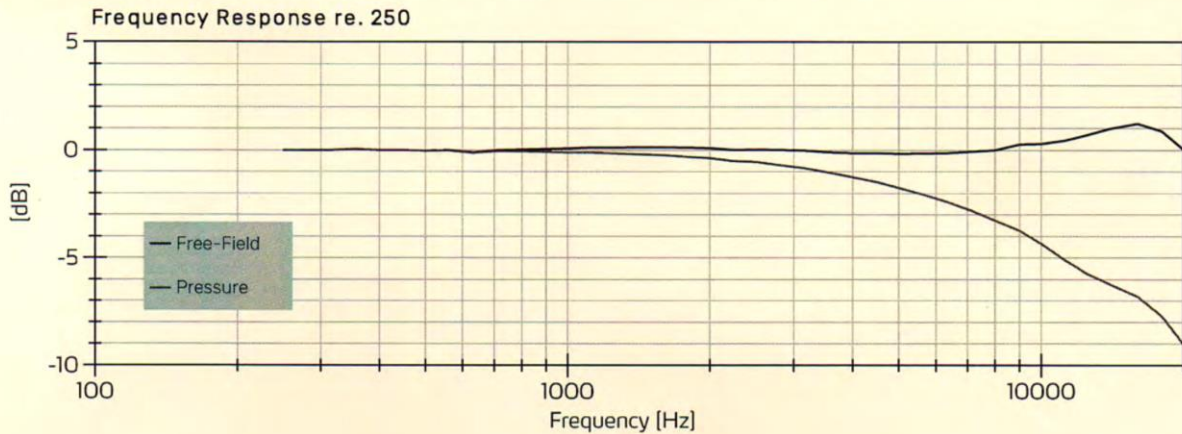
Temperature: 22 °C

Relative humidity: 45 %

Barometric pressure: 1019 hPa

Frequency response

The table shows the frequency response and free-field correction for the microphone and preamplifier combination. The free-field correction is with the protection grid mounted on the microphone and 0° incidence. The frequency response is recorded by electrostatic actuator and is measured relative to the response at 250 Hz.



GRAS 40CE 1/2" Pre-polarized Free-field Microphone

Serial No. 331508



Intertek

Certificate number 48982

GRAS Sound & Vibration

GRAS Sound & Vibration A/S
Skovlytoften 33, 2840 Hoite, Denmark
Email support@gras.dk · gras.dk

RELAZIONE PREVISIONALE DI IMPATTO ACUSTICO

Calibration Chart

GRAS 40CE 1/2" Prepolarized Free-field Microphone

The 40CE Free Field Microphone complies with the requirements in IEC Standard 61094-4. The free-field microphone is designed to essentially measure the sound pressure, as it existed before the microphone was introduced into the sound field. At higher frequencies the presence of the microphone itself in the sound field will change the sound pressure. In general the sound pressure around the microphone cartridge will increase due to reflections and diffraction. The free-field microphone is designed so that the frequency characteristics compensates for this pressure increase.

The resulting output of the free-field microphone is a signal proportional to the sound pressure, as it existed before the microphone was introduced into the sound field. The free-field microphone should always be pointed towards the sound source ('0° incidence'). In this situation the presence of the microphone diaphragm in the sound field will result in a pressure increase in front of the diaphragm. The microphone is then designed so that the sensitivity of the microphone decreases with the same amount as the acoustical pressure increases in front of the diaphragm. This is obtained by increasing the internal acoustical damping in the microphone cartridge. The result is an output from the microphone, which is proportional to the sound pressure as it existed before the microphone was introduced into the sound field.

Frequency Response Raw Data

| Frequency [Hz] | Pressure [dB] | Free-Field [dB] | Frequency [Hz] | Pressure [dB] | Free-Field [dB] |
|----------------|---------------|-----------------|----------------|---------------|-----------------|
| 250 | 0.00 | 0.00 | 2500 | -0.56 | 0.02 |
| 280 | 0.00 | 0.00 | 2800 | -0.69 | 0.01 |
| 315 | -0.01 | -0.01 | 3150 | -0.84 | -0.02 |
| 355 | 0.04 | 0.04 | 3550 | -1.03 | -0.09 |
| 400 | -0.01 | -0.01 | 4000 | -1.24 | -0.14 |
| 450 | -0.00 | -0.00 | 4500 | -1.49 | -0.15 |
| 500 | -0.04 | -0.04 | 5000 | -1.75 | -0.17 |
| 560 | -0.03 | -0.01 | 5600 | -2.05 | -0.16 |
| 630 | -0.13 | -0.11 | 6300 | -2.39 | -0.14 |
| 710 | -0.05 | -0.00 | 7100 | -2.79 | -0.08 |
| 800 | -0.07 | 0.02 | 8000 | -3.27 | -0.00 |
| 900 | -0.08 | 0.04 | 9000 | -3.74 | 0.25 |
| 1000 | -0.11 | 0.08 | 10000 | -4.35 | 0.29 |
| 1120 | -0.13 | 0.12 | 11200 | -5.10 | 0.44 |
| 1250 | -0.16 | 0.12 | 12500 | -5.73 | 0.69 |
| 1400 | -0.20 | 0.13 | 14000 | -6.23 | 0.99 |
| 1600 | -0.24 | 0.12 | 16000 | -6.80 | 1.22 |
| 1800 | -0.31 | 0.12 | 18000 | -7.71 | 0.88 |
| 2000 | -0.37 | 0.08 | 20000 | -9.02 | 0.02 |
| 2240 | -0.51 | 0.01 | | | |

Traceability Table

| Instrument | Model | Serial Number | Traceable To | Calibration Date |
|-------------------------------------|----------|---------------|--------------|------------------|
| NI data-acquisition signal analyzer | PCI-4461 | 27999948 | DFM | 27-11-2019 |
| Pistonphone | 42AP | 82060 | DFM | 20-08-2019 |